



عالم الذرة

مجلة هيئة الطاقة الذرية السورية

مجلة عالم الذرة

مجلة دورية تصدر ست مرات في السنة عن هيئة الطاقة الذرية في الجمهورية العربية السورية. وتهدف إلى الإسهام في نشر المعرفة العلمية باللغة العربية في الميدانين الذري والنووي، وفي كل ما يتعلق بهما من تطبيقات.

المدير المسؤول

الدكتور إبراهيم عثمان

المدير العام لهيئة الطاقة الذرية

هيئة التحرير

الدكتور عادل حرفوش

الدكتور زياد قطب

NO. 101

العدد 101 (كانون الثاني / شباط) 2006



المقالات

5 نبذ فكري تقلص الأطوال وتمدد الزمن

إن تفسير لاتغير سرعة الضوء يمكن ألا يعتمد على خصائص الزمكان كما هو معروف في النسبية الخاصة.

د. فزار حسان

11 الطريق إلى التنمية

وصف التحديات التي تواجه صناعة أنصاف النواقل اليوم.

د. إيوي. د. وانغ

17 علم القياس على مستوى السلم النانوي

إن التقدم في التقنية النانوية يستند إلى قياسات أكثر دقة لمقادير كالمسافة والقوة والتيار.

ب. شيريدان، ب. كاميسون، م. بيلي

22 أحداث غريبة في البروتون

توحي القياسات الدقيقة للقوة الضعيفة أن للكواركات الغريبة تأثيراً على العزم المغنطيسي للبروتون.

د. كومانر

25 وليم روان هاملتون، عبقر في الرياضيات

تحتفل أيرلندا هذه السنة بالذكرى المئوية الثانية

لعالم الرياضيات وليم روان هاملتون، الذي يُذكر بشكل رئيسي لأجل الكواترنيونات ولأجل عمله الرائد في مجالي علم الضوء وعلم التحريك (الديناميك).

د. أرويكينز

30 التدوير الكيميائي الحيوي لنظائر الحديد

يعرض هذا المقال استثمار الأوساط البيئية والعمليات الداخلة في دورة هندسة أكسدة وإرجاع نظائر الحديد.

د. جوتسون، ب. بيرد

الأخبار العلمية

35 ■ إنفلونزا الطيور

من المحتمل أن يكون ثمة ضُرب Variant من الفيروس H5N1 أكثر فتكاً يصيب الطيور المهاجرة في الصين.

36 ■ كيف يعمل القرص المدمج القابل لإعادة التسجيل عليه؟

لم يكن بالإمكان التسجيل ثم محو التسجيل على القرص المدمج CD البسيط الحامل للموسيقى والمعلومات، كما هو الحال بالنسبة إلى شريط مغنطيسي، وقد احتاج الأمر إلى تغيير عملية تسجيل المعطيات تغييراً جذرياً لكي تصبح الأقراص CD قابلة لإعادة التسجيل عليها.

39 ■ الولايات المتحدة تبدأ بإقرار اختبار مبيدات الهوام على البشر



64 ■ نمذجة المعالجة الأولية للمياه الداخلة إلى محطات التحلية

65 ■ العوامل المؤثرة على العلاقة التي تربط النسبة $^{90}\text{Nb}/^{90}\text{Zr}$ والنسبة $^{140}\text{La}/^{140}\text{Zr}$ بزمن التبريد

65 ■ دراسة التأثير التعاوني للمركبات الكحولية على استخلاص حمض الفسفور من حمض الفسفور السوري بواسطة الـ TBP

66 ■ تأثير معدلات مختلفة من السماد البوتاسي على كفاءة استخدام النتروجين وإنتاج محصول القطن باستخدام تقانة التخفيف النظيري بالنتروجين-15

66 ■ تعيين مستويات الفلوريد المنطلق من معمل السماد الفسفاتي في مكونات النظام البيئي

67 ■ تأثير درجة الحرارة على مميزات كثافة التيار-الجهد في الخلايا الشمسية $\text{ZnO}/\text{CdS}/\text{CuGaSe}_2$ المبنية على أساس CuGaSe_2 وحيد البلورة

كتب حديثة

68 ■ أسرار الكائن الحي - ضد الفكر الأوحدي في البيولوجيا

تأليف: ميشيل مورايخ

عرض وغيليل: لوك مونتابيه

69 ■ مستقبل الكهرباء المولدة نووياً

تأليف: وليام نونال

عرض وغيليل: جيم سكيبا

77 ■ ملخصات باللغة الإنكليزية عن الموضوعات المنشورة في هذا العدد

41 ■ الإشعاع خطيراً حتى بجرعات متدنية

42 ■ ما بعد الأسلحة النووية

43 ■ التقنيات التي لا تستخدم الأجنة تكتسب زخماً

هناك هواجس أخلاقية فيما يخص البحوث التي تتضمن أجنة تدفع للسعي وراء طرائق أخرى لاشتقاق الخلايا الجذعية، وربما تلوح في الأفق قريباً نتائج تلك المساعي.

45 ■ نتائج الهدروجين تثير الخلاف

46 ■ أوروبا تخطط لمنشأة اندماج ليزري

48 ■ فيلسوف الكم

49 ■ الكلور

ورقات البحوث

53 ■ تقييم سلالات شعير مضاعفة مختزلة الصيغة الصيفية وأخرى طافرة لخصائصها الزراعية ولقاومتها لمرض السضحة

58 ■ إنتاج الضماد الطبي الرطب باستخدام إشعاع غاما

تقارير

63 ■ تحديد الاندخال الإشعاعي والجرعة الإشعاعية الداخلية للعاملين المعرضين للبيود-131

64 ■ برنامج حاسوبي لإجراء عمليات الملائمة غير الخطية لعطيات إحصائية باستخدام خوارزميات احتمالية عشوائية

- 1- تُرسل نسختان من مادة النشر باللغة العربية مطبوعتان بالآلة أو مكتوبتان بالحرر بخط واضح على وجه واحد من الورقة، وبفراغ مضاعف بين السطور.
- 2- يُكتب على ورقة مستقلة عنوان مادة النشر واسم الكاتب وصفته العلمية وعنوانه مع ملخصين لها احدهما بالعربية والآخر باللغة الإنكليزية حصراً، في حدود عشرة أسطر لكل منهما، ويطلب من كل من المؤلف أو المترجم كتابة اسمه كاملاً، باللغتين العربية والأجنبية، ولقبه العلمي وعنوان مراسلته.
- 3- يُقدم المؤلف (أو المترجم) في ورقة مستقلة قائمة بالعبارات التي تشكل الكلمات المفتاحية "Key Words" (والتي توضح أهم ما تضمنته المادة من حيث موضوعاتها وغايتها ونتائجها والطرق المستخدمة فيها) وبما لا يتجاوز خمس عبارات باللغة الإنكليزية وترجمتها بالعربية.
- 4- إذا سبق نشر هذا المقال أو البحث في مجلة أجنبية، ترسل الترجمة مع صورة واضحة عن هذه المادة المنشورة ويستحسن إرسال نسخة الأصل المطبوع والأشكال (الرسوم) الأصلية إن وجدت، ولو على سبيل الإعارة.
- 5- إذا كانت المادة مؤلفة أو مجمعة من مصادر عدة، يذكر الكاتب ذلك تحت العنوان مباشرة كان يقول "تأليف، جمع، إعداد، مراجعة" وترفق المادة بقائمة مرقمة للمراجع التي استقاها منها.
- 6- إذا تضمنت المادة صوراً أو أشكالاً، ترسل الصورة الأصلية وكذلك الأشكال مخططة بالحرر الأسود على أوراق مستقلة، إلا إذا كانت موجودة في المادة للطبوعة المطبوعة بلغة أجنبية (كما جاء في الفقرة "4") مرقمة حسب أماكن ورودها.
- 7- يُرسل مع المادة قائمة بالمصطلحات العلمية العربية المستخدمة فيها مع مقابلاتها الأجنبية إذا لم تكن واردة في معجم الهيئة للمصطلحات العلمية والتقنية في الطاقة الذرية الذي تم نشره في أعداد المجلة (2-18).
- 8- تكتب للمصطلحات وكذلك أسماء الأعلام باللغتين العربية والأجنبية عند ورودها في النص أول مرة ومن ثم يكتفى بإيراد المقابل العربي وحده سواء أكان هذا المقابل كاملاً أو غير كامل وتستعمل في النص للمؤلف أو المترجم الأرقام العربية (1، 2، 3) أينما وردت مع مراعاة كتابتها بالترتيب العربي من اليمين إلى اليسار وإذا وردت في نص معادلة أو قانون أحرف أجنبية وأرقام تكتب للعادلة أو القانون كما هي في الأصل الأجنبي.
- 9- يُشار إلى الحواشي، إن وجدت، بإشارات دالة (* ، + ، X ، ...) في الصفحة ذاتها، كما يشار في المتن إلى أرقام المصادر والمراجع للدرجة في الصفحة الأخيرة، وذلك بوضعها ضمن قوسين متوسطين [] .
- 10- ترقم مقاطع النص الأجنبي والنص العربي بترتيب واحد في حالة الترجمة.
- 11- يرحى من السادة المترجمين مراعاة الأمانة التامة في الترجمة.
- 12- تخضع مادة النشر للتقييم ولا ترد إلى أصحابها نشرت أم لم تنشر.
- 13- يمنح كل من الكاتب أو المترجم أو المراجع مكافأة مالية وفق القواعد المقررة في الهيئة.

جميع المراسلات توجه إلى العنوان التالي:

الجمهورية العربية السورية- هيئة الطاقة الذرية - مكتب الترجمة والتأليف والنشر - دمشق ، ص.ب : 6091

هاتف 11-6111926 (963+) فاكس 11-6112289 (963+)

E-mail: tapo@aec.org.sy

رسوم الاشتراك السنوي

يمكن للمشاركين تسليم رسم الاشتراك في مكتب الترجمة والتأليف والنشر في الهيئة

(دمشق ، شارع 17 نيسان) أو بحوالة على العنوان التالي ،

المصرف التجاري السوري - فرع رقم 13، مزة جبل - دمشق

ص.ب : 16005 ، رقم الحساب 2/3012

– الاشتراك من داخل القطر : للطلاب (200) ل.س ، للأفراد (300) ل.س ،

للمؤسسات (1000) ل.س .

– الاشتراك من خارج القطر : للأفراد (30) دولاراً أمريكياً ، للمؤسسات (60) دولاراً أمريكياً .

سعر العدد الواحد

سوريا : 50 ل.س مصر : 3 جنيهات لبنان : 3000 ل.ل الجزائر : 100 دينار

الأردن : 2 دينار السعودية : 10 ريالاً وفي البلدان الأخرى : 6 دولارات

الإعلانات

تود مجلة عالم الذرة إعلام الشركات والمؤسسات العاملة في قطاع التجهيزات العلمية والخبرية كافة والصناعات المتعلقة بها عن فتح باب الإعلان التجاري فيها، للمزيد من الاستفسار حول رغبتكم بنشر إعلاناتكم التجارية يرجى الكتابة إلينا أو الاتصال بنا وفق العنوان الوارد أعلاه.

تبين هذه الورقة انه بإضافة قانون لورنتز الى النسبية الخاصة فإن هذه الآلية تسمح لنا بإعادة اشتقاق جميع علاقات النسبية الخاصة المتعلقة بجسيم مشحون يتحرك في حقل كهرومغناطيسي خارجي، ويتم ذلك بدون استخدام تحويلات لورنتز وبالتالي بدون استخدام الأفعال الكينماتيكية (تقلص الأطوال وتمدد الزمن).

وكنتيجة لهذه الطريقة فإن لاتغير سرعة الضوء يعاد تفسيره بحيث لا يعتمد على خصائص الزمكان كما هو معروف في النسبية الخاصة.

الكلمات المفتاحية

قانون لورنتز، النسبية الخاصة، فكرتنا تقلص الأطوال وتمدد الزمن.

نبذ فكرتي تقلص الأطوال وتمدد الزمن

د. نزار حمدان

قسم الفيزياء
جامعة حلب

مقدمة:

إن تحويلات لورنتز التي كانت نقطة الأساس لبناء النسبية الخاصة لدى أينشتاين [1] كان أول من اشتقها هو لورنتز [2] في نظريته التي تسمى بنظرية الإلكترون، مع العلم أن اشتقاق لورنتز لهذه التحويلات آنذاك تم باستخدام "مفهوم الأثير" وفق الطريقة الآتية: عند الانتقال من الجملة العطالية (S)، وهي جملة ساكنة مطلقة وتدعى جملة الأثير، إلى جملة عطالية أخرى (S') تتحرك حركة مستقيمة منتظمة بسرعة \vec{u} موازية للمحور ox ، ox' بالنسبة لجملة الأثير، فإن معادلات ماكسويل في الخلاء تصبح متغيرة تحت تحويلات غاليليه وذلك نتيجة لظهور حدود إضافية من المرتبة الأولى والثانية للنسبة $\frac{u}{c}$. فقد تبين له أن حدود المرتبة الأولى من الممكن حذفها إذا عدلنا الجزء الزمني من تحويلات غاليليه بالشكل:

$$t' = t \rightarrow t' = \gamma(t - \frac{u}{c^2}x)$$

حيث $\gamma = 1/\sqrt{1 - \frac{u^2}{c^2}}$ هي معامل النسبية الشهير.

لإزالة الحدود من المرتبة الثانية في النسبة $\frac{u}{c}$ اقترح لورنتز تعديلاً جديداً لتحويلات غاليليه وهو "أن الأجسام المتحركة في الأثير تخضع لتقلص باتجاه حركتها بالمقدار $(1 - \frac{u^2}{c^2})^{-1/2}$ ".

هذه الفرضية عرفت فيما بعد بتقلص لورنتز-فترجرالد. لأن فترجرالد اقترح هذا التعديل في الوقت نفسه من أجل تفسير النتيجة السلبية لتجارب مايكلسون - مورلي (عدم اكتشاف الأثير تجريبياً).

هكذا حصل لورنتز على تحويلاته عند دمج التعديل الأول مع فرضية تقلص لورنتز - فترجرالد.

$$t' = \gamma(t - \frac{u}{c^2}x) , x' = \gamma(x - ut) , y' = y , z' = z$$

اشتقاق علاقات التحويل النسبية للقوة والسرعة والحقل:

هذه الفقرة تتضمن اشتقاق علاقات تحويل القوة النسبوية وعلاقات تحويل السرعة بالإضافة إلى علاقات تحويل الحقول الكهرطيسية النسبوية في الصياغة الثلاثية.

من أجل ذلك نفرض أنه لدينا جسيم مشحون q كتلته m يتحرك بسرعة v في الجملة العطالية (S) حيث يخضع هذا الجسيم لحقل كهربائي خارجي E وحقل مغناطيسي خارجي B . في هذه الحالة يخضع الجسيم إلى قوة لورنتز التي يعبر عنها في الإحداثيات الديكارتية في الجملة (S) بالشكل:

$$F_x = q(E_x + v_y B_z - v_z B_y) \quad (2a)$$

$$F_y = q(E_y + v_z B_x - v_x B_z) \quad (2b)$$

$$F_z = q(E_z + v_x B_y - v_y B_x) \quad (2c)$$

في الجملة العطالية (S') فإن العلاقات (2) يعبر عنها كما يلي:

$$F'_x = q(E'_x + v'_y B'_z - v'_z B'_y) \quad (3a)$$

$$F'_y = q(E'_y + v'_z B'_x - v'_x B'_z) \quad (3b)$$

$$F'_z = q(E'_z + v'_x B'_y - v'_y B'_x) \quad (3c)$$

الآن بضرب العلاقة (1) المكتوبة في الجملة (S) سلمياً بـ v فإننا نجد:

$$F \cdot v = qE \cdot v \quad (4)$$

ومن ثم ضرب المعادلة (4) بـ $\frac{u}{c^2}$ - وإضافة الناتج إلى (2a) وبعد الإصلاح نحصل على:

$$F_x \left(1 - \frac{uv_x}{c^2}\right) - \frac{u}{c^2} F_y v_y - \frac{u}{c^2} F_z v_z = q \left[E_x \left(1 - \frac{uv_x}{c^2}\right) + v_y \left(B_z - \frac{u}{c^2} E_y \right) - v_z \left(B_y + \frac{u}{c^2} E_z \right) \right]$$

بتقسيم هذه العلاقة على $\left(1 - \frac{uv_x}{c^2}\right)$ وبالوقت نفسه نضرب ونقسم الحدين الأخيرين من الطرف الأيسر بالمعامل السلمي γ نجد إذن:

$$F_x - \frac{\frac{u}{c^2} F_y v_y}{\left(1 - \frac{uv_x}{c^2}\right)} - \frac{\frac{u}{c^2} F_z v_z}{\left(1 - \frac{uv_x}{c^2}\right)} = q \left[E_x + \frac{v_y \gamma \left(B_z - \frac{u}{c^2} E_y \right)}{\gamma \left(1 - \frac{uv_x}{c^2}\right)} - \frac{v_z \gamma \left(B_y + \frac{u}{c^2} E_z \right)}{\gamma \left(1 - \frac{uv_x}{c^2}\right)} \right]$$

وبمقارنة المعادلة الأخيرة مع (3a)، ولكي يبقى قانون لورنتز صالحاً في الجملة (S')، يجب أن يكون:

$$F'_x = F_x - \frac{\frac{u}{c^2} F_y v_y}{\left(1 - \frac{uv_x}{c^2}\right)} - \frac{\frac{u}{c^2} F_z v_z}{\left(1 - \frac{uv_x}{c^2}\right)} \quad (5a)$$

$$v'_y = \frac{v_y}{\gamma \left(1 - \frac{uv_x}{c^2}\right)} \quad (6a)$$

$$v'_z = \frac{v_z}{\gamma \left(1 - \frac{uv_x}{c^2}\right)} \quad (6b)$$

وبالتالي استطاع لورنتز أن يبرهن أن معادلات ماكسويل لامتغيرة، تحت تحويلات لورنتز؛ عند الانتقال من جملة عطالية إلى أخرى.

تمكن أينشتاين انطلاقاً من فرضيتين شهيرتين [1] أن يشتق تحويلات لورنتز بطريقة مختلفة عن لورنتز وأن يتجنب فكرة الأثير، وذلك بفرضية تكافؤ الجمل العطالية، مبيناً أهمية تحويلات لورنتز على أنها كميات فيزيائية مخالفاً بذلك كلا من لورنتز وبوانكاريه.

وهكذا تم لأينشتاين بناء النسبية الخاصة معتمداً على مفهومه الجديد للزمكان واستطاع بذلك بناء ديناميك الجسيم النسبي (أو الفوتون)، بحيث يتوافق هذا الديناميك مع تحويلات لورنتز.

وفق طريقة أينشتاين في بناء النسبية الخاصة ظهرت ثلاثة متناقضات أساسية [3]:

- 1- تفسير لاتغير سرعة الضوء باستخدام تحويلات لورنتز.
- 2- تقلص الأطوال كفعل كينماتيكي.
- 3- تمدد الزمن كفعل كينماتيكي.

وللتغلب على العيوب المذكورة أعلاه، اقترحت نظريات بديلة للنسبية الخاصة وكمثال على ذلك فقد انطلق ويلهلم (H.E. Wilhelm) مرة أخرى من نظرية الأثير وفق الأعمال القديمة لكل من فترجيرالد ولارمور ولورنتز، حيث اعتبر تقلص الأطوال و تمدد الزمن أفعالاً ديناميكية بدلاً من كونها كينماتيكية لدى النسبية الخاصة.

كذلك اقترح جيفمنكو (O.D. Jefimenko) [8.7.6] نظرية بديلة أخرى حيث يتم اشتقاق الإلكتروديناميك النسبوي والميكانيك النسبوي دون العودة إلى فرضيتي النسبية الخاصة ومستبعداً استخدام تقلص الأطوال وتمدد الزمن.

وبهذه النظرية استطاع جيفمنكو أن يعطي تفسيراً جديداً لتجارب تقلص الأطوال وتمدد الزمن وذلك بواسطة قوى ديناميكية تخص الجسيم المتحرك [9].

العلاقة بين النسبية الخاصة والإلكتروديناميك قوية جداً تاريخياً وتزداد هذه العلاقة أكثر بإدخال قانون لورنتز إلى صياغة النسبية الخاصة:

$$F = q(E + v \times B) \quad (1)$$

واستخدام مبدأ النسبية على قانون لورنتز، بدلاً من مبدأ النسبية الخاص.

وهدف هذا العمل تطوير هذه الطريقة لكي نوضح كيفية اشتقاق جميع العلاقات النسبوية وعلاقات التحويل النسبوية وذلك بدون استخدام تحويلات لورنتز. وهذا يعني عدم استخدام الأفعال الكينماتيكية (المتناقضات 2 و3) أما بالنسبة للمتناقضة الأولى فهذه الآلية الرياضية تسمح لنا بإعادة تفسير لاتغير سرعة الضوء بطريقة لا تعتمد على خصائص الزمكان.

كذلك نجد:

$$E'_x = E_x \quad (7a)$$

$$B'_y = \gamma \left(B_y + \frac{u}{c^2} E_z \right) \quad (7b), \quad B'_z = \gamma \left(B_z - \frac{u}{c^2} E_y \right) \quad (7c)$$

بمقارنة العلاقة الأخيرة مع العلاقة (3b) نحصل على:

$$v'_x = \frac{v_x - u}{1 - \frac{uv_x}{c^2}} \quad (6c), \quad F'_y = \frac{F_y}{\gamma \left(1 - \frac{uv_x}{c^2} \right)} \quad (5b)$$

$$E'_y = \gamma (E_y - uB_z), \quad B'_x = B_x \quad (7d)$$

وبشكل مشابه إذا انطلقنا من العلاقة (2c) واتباع الخطوات نفسها التي أجريناها من أجل الحصول على العلاقات (8c) و(6d) نجد:

$$F'_z = \frac{F_z}{\gamma \left(1 - \frac{uv_x}{c^2} \right)} \quad (5c), \quad E'_z = \gamma (E_z + uB_y) \quad (7e)$$

التحويلات (5a)، (5b)، (5c) التي تم اشتقاقها من قانون لورنتز هي نفسها علاقات التحويل لقانون نيوتن الثاني:

$$F = \frac{dP}{dt} \quad (12)$$

هذا يعني أن علاقات تحويل قوة لورنتز تتم بحيث تتوافق مع علاقات تحويل القوة للمعادلة (12) وهذا يعني أن هذه العلاقة تعكس الحقيقة التالية:

$$\frac{dP}{dt} = q(E + v \times B) \quad (13)$$

أي أن العلاقة (13) هي قانون الحركة لجسيم مشحون يتحرك بسرعة نسبية.

بالنسبة إلى تحويلات السرعة النسبية (6a) و(6b) و(6c) تم اشتقاقها نتيجة لاعتبارات رياضية فقط دون الأخذ بالحسبان تعريف السرعة على أنها قسمة مسافة على الزمن، بينما تم لدى أينشتاين اشتقاق هذه التحويلات بالإضافة إلى الحقول الكهروستاتيكية النسبية نتيجة لاستخدام تحويلات لورنتز. ومن أجل ذلك اتبعنا آلية رياضية لاشتقاق العلاقات المذكورة بحيث لا نستخدم تحويلات لورنتز. وكان الهدف من هذه الفقرة إظهار أهمية قانون لورنتز في النسبية الخاصة إضافة إلى ذلك توضيح أن هناك طريقة بديلة لاشتقاق جميع علاقات النسبية الخاصة التي تخص الجسيم المشحون دون استخدام تحويلات لورنتز.

اشتقاق علاقات تحويل الإندفاع والطاقة وعلاقة الكتلة النسبية:

في هذه الفقرة سنقوم باشتقاق علاقات تحويل الإندفاع والطاقة وعلاقة الكتلة النسبية للجسيم المشحون. نعلم من الالكتروديناميك النسبي ما هي الكميات الديناميكية النسبية الصحيحة التي تتعلق بالجسيم المشحون، ولكي نجد هذه الكميات في هذا العمل ينبغي أن نطلق من الكميات الديناميكية التقليدية بطريقة تجعلها متوافقة مع العلاقات النسبية في الفقرة (2).

لذلك يجب علينا أن نطلق من التعريف التقليدي لاندفاع الجسيم في الجملتين (S) و(S') والتي تعرف كحاصل جداء الكتلة بالسرعة، أي:

$$P = m \cdot v, \quad P' = m' \cdot v' \quad (14a,b)$$

بتطبيق مبدأ النسبية على العلاقات (6a,6b) والتي تعني استبدال كل u ب -u وتبديل الكميات التي عليها فتحة بكميات ليس عليها فتحة فإننا نحصل على:

$$v_y = \frac{v'_y}{\gamma \left(1 + \frac{uv'_x}{c^2} \right)}, \quad v_z = \frac{v'_z}{\gamma \left(1 + \frac{uv'_x}{c^2} \right)} \quad (8a,b)$$

وبتعويض (6a) في (8a) نحصل على:

$$v_y = \frac{v_y}{\gamma^2 \left(1 + \frac{uv'_x}{c^2} \right) \left(1 - \frac{uv_x}{c^2} \right)}$$

هذه المعادلة عبارة عن مطابقة صالحة من أجل كل السرعة v_y ، أي:

$$\gamma^2 \left(1 + \frac{uv'_x}{c^2} \right) \left(1 - \frac{uv_x}{c^2} \right) = 1 \quad (9)$$

المعادلة (9) تساعدنا على تحديد المعامل السلمي γ . وللتبسيط نأخذ الحالة الخاصة حيث الجسيم المشحون q ساكن في الجملة (S') إذن لدينا:

$$v'_x = 0 \quad \text{i.e.} \quad v_x = u$$

هذه النتيجة، عندما تعوض في (9) تقودنا إلى تعيين المعامل السلمي γ بالشكل الآتي:

$$\gamma^2 \left(1 - \frac{u^2}{c^2} \right) = 1 \quad (10)$$

أو

$$\gamma = 1 / \sqrt{1 - \frac{u^2}{c^2}} \quad (11)$$

من أجل اشتقاق علاقات التحويل المتبقية نطلق الآن من العلاقة (2b) ونستخدم العلاقة (10) فنجد:

$$F_y = q \left[\gamma^2 \left(1 - \frac{u^2}{c^2} \right) E_y + v_z B_x - \gamma^2 \left(1 - \frac{u^2}{c^2} \right) v_x B_z \right]$$

بجمع وطرح الحدين الآتين $\gamma^2 u B_z$ ، $\gamma^2 \frac{uv_x}{c^2} E_y$ إلى الطرف الأيمن من العلاقة الأخيرة نكتب:

$$F_y = q \left[\gamma^2 \left(1 - \frac{u^2}{c^2} \right) (E_y - uB_z) + v_z B_x - \gamma^2 (v_x - u) (B_z - \frac{u}{c^2} E_y) \right]$$

بقسمة العلاقة الأخيرة على المقدار $\gamma \left(1 - \frac{uv_x}{c^2} \right)$ نجد:

$$\frac{F_y}{\gamma \left(1 - \frac{uv_x}{c^2} \right)} = q \left[\gamma (E_y - uB_z) + \frac{v_z}{\gamma \left(1 - \frac{uv_x}{c^2} \right)} B_x - \frac{(v_x - u)}{\gamma \left(1 - \frac{uv_x}{c^2} \right)} \gamma (B_z - \frac{u}{c^2} E_y) \right]$$

بضرب المعادلة (19) بـ dt واستخدام المعادلة (18) ومن ثم الكاملة نجد:

$$\int qE dx = \int v d(mv) = \int v \frac{m_0 v}{\left(1 - \frac{v^2}{c^2}\right)^{3/2}} - \int dv \frac{m_0 v}{\left(1 - \frac{v^2}{c^2}\right)^{3/2}} = mc^2 \quad (20)$$

ويتمسمة الطاقة الكلية بـ (ϵ) فإننا نكتب العلاقة (20) بالشكل:

$$\epsilon = mc^2 \quad (21)$$

المعادلة (21) تعبر عن علاقة الطاقة الكلية النسبوية في الجملة (S). باستخدام العلاقة (21) في المعادلات (16a, 16d) نحصل على:

$$\epsilon' = \gamma(\epsilon - uP_x), \quad P'_x = \gamma\left(P_x - \frac{u}{c^2}\epsilon\right) \quad (22a, b)$$

$$P'_y = P_y, \quad P'_z = P_z \quad (22c, d)$$

حيث:

$$\epsilon' = m'c^2 \quad (23)$$

هي الطاقة الكلية النسبوية في الجملة (S'). المعادلات (22) ليست إلا علاقات التحويل النسبوية لكل من الاندفاع والطاقة. الآن بتربيع علاقات الكتلة النسبوية نحصل على:

$$m^2 = \frac{m_0^2}{\left(1 - \frac{v^2}{c^2}\right)}, \quad m'^2 = \frac{m_0^2}{\left(1 - \frac{v'^2}{c^2}\right)} \quad (24a, b)$$

المعادلة (24) يمكن أن نكتب كالتالي:

$$m'^2 \left(1 - \frac{v'^2}{c^2}\right) = m^2 \left(1 - \frac{v^2}{c^2}\right) \quad (25)$$

وبالمقارنة مع العلاقات (14)، (21)، (23) فإن المعادلة (25) تكتب بالشكل الآتي:

$$\epsilon'^2 - c^2 P'^2 = \epsilon^2 - c^2 P^2 \quad (26)$$

الآن بضرب العلاقة (24) بـ c^4 وإعادة الترتيب نجد كما هو متوقع العلاقات الآتية:

$$\epsilon^2 = c^2 P^2 + m_0^2 c^4 \quad (27)$$

$$\epsilon'^2 = c^2 P'^2 + m_0^2 c^4 \quad (28)$$

الكتلة السكونية m_0 ثابتة لا تعتمد على السرعة ولذا يمكن أن يعبر عنها بدلالة الكميات اللامتغيرة (الاندفاع والطاقة) كما بينا ذلك في المعادلة (26). عمل القوى الكهربائية الخارجية يؤدي إلى إعطاء طاقة للجسيم المشحون المتحرك والذي يظهر نفسه مرة أخرى كزيادة في الكتلة (المعادلة 18). الآن يمكن أن يعاد تعريف السرعة بدلالة الاندفاع - الطاقة بدلاً من التعريف المعهود قسمة مسافة على زمن.

فمن المعادلتين (14) و(21) لدينا:

$$v = \frac{c^2 P}{\epsilon} \quad (29)$$

وهذه العلاقات مع العلاقات (8) ستؤدي إلى الكميات الديناميكية النسبوية الصحيحة المتعلقة بالجسيم المشحون.

من العلاقة (14a) يمكننا أن نعبر عن سرعة الجسيم على أنه نسبة الاندفاع إلى الكتلة، أي:

$$v_x = \frac{P_x}{m}, \quad v_y = \frac{P_y}{m}, \quad v_z = \frac{P_z}{m} \quad (15a-c)$$

ولنبين الآن أن توافق العلاقات (15a-c) مع علاقات جمع السرعة (8) بحيث نحصل على علاقات تحويل الاندفاع والطاقة النسبوية.

فلو انطلقنا من العلاقات (15a) و(15b) و(15c) وعوضنا في العلاقة (8b)، نجد أن:

$$v'_y = \frac{P_y/m}{\gamma(1 - uP_x/c^2 m)} = \frac{P_y}{\gamma(m - uP_x/c^2)}$$

ولكي تتوافق هذه العلاقة مع العلاقة (17) يجب أن يكون

$$m' = \gamma(m - uP_x/c^2), \quad P'_y = P_y \quad (16a, b)$$

وبشكل مشابه إذا عوضنا العلاقات (15a, 15c) في العلاقة (8b) وبيجراء الآلية السابقة نفسها نجد:

$$P'_z = P_z \quad (16c)$$

الآن بأخذ العلاقات (15) وتعويضها في (6c) نجد:

$$v'_x = \frac{P_x/m - u}{1 - uP_x/c^2 m} = \frac{\gamma(P_x - um)}{\gamma(m - uP_x/c^2)}$$

وباستخدام العلاقة (16a) في العلاقة الأخيرة، ولكي يبقى تعريف السرعة وفق العلاقة (15) صحيحاً في الجملة (S)، يجب أن يكون:

$$P'_x = \gamma(P_x - um) \quad (16d)$$

من جهة أخرى فإن العلاقات (6a, 6b, 6c) تحقق المطابقات الآتية:

$$\left(1 - \frac{v'^2}{c^2}\right)^{-1/2} = \gamma \left(1 - \frac{uv}{c^2}\right) \left(1 - \frac{v^2}{c^2}\right)^{-1/2} \quad (17a)$$

$$v'_y \left(1 - \frac{v'^2}{c^2}\right)^{-1/2} = v_y \left(1 - \frac{v^2}{c^2}\right)^{-1/2}, \quad v'_z \left(1 - \frac{v'^2}{c^2}\right)^{-1/2} = v_z \left(1 - \frac{v^2}{c^2}\right)^{-1/2} \quad (17b, c)$$

$$v'_x \left(1 - \frac{v'^2}{c^2}\right)^{-1/2} = \gamma(v_x - u) \left(1 - \frac{v^2}{c^2}\right)^{-1/2} \quad (17d)$$

الآن نستطيع بسهولة أن نشق علاقة الكتلة النسبوية وذلك بضرب العلاقات (17) بـ m_0 والمقارنة مع العلاقات (16). لنجد أن:

$$m = \frac{m_0}{\left(1 - \frac{v^2}{c^2}\right)^{1/2}}, \quad m' = \frac{m_0}{\left(1 - \frac{v'^2}{c^2}\right)^{1/2}} \quad (18a, b)$$

العلاقات (18) هي علاقات الكتلة النسبوية في كلتا الجملتين (S) و(S') لجسيم مشحون q يتحرك بسرعة v في حقل كهربائي خارجي، وحيث m_0 هي كتلة الجسيم وهو ساكن.

الخطوة الثانية هي استنتاج الطاقة الكلية النسبوية. نبدأ من المعادلة (4) وباستخدام العلاقة (12) نجد:

$$qEv = Fv = v \frac{d(mv)}{dt} \quad (19)$$

إعادة تفسير ثبات سرعة الضوء:

من المعلوم أن الحقل الكهرومغناطيسي يمتلك كثافة اندفاع P والتي ترتبط بكثافة الطاقة للحقل E وفق العلاقة (E=cP). سنبين في هذا العمل أننا نستطيع أن نشق هذه العلاقة الكلاسيكية أيضاً وذلك إذا فرضنا (كما فرض أينشتاين)، أن الحقل الكهرومغناطيسي مؤلف من فوتونات كتلتها السكونية معدومة $m_0 = 0$.

إذا انطلقنا من العلاقة (27) مع اعتبارها صحيحة من أجل الفوتون يكون لدينا:

$$e^2 - c^2 p^2 = 0 \quad \text{أو} \quad \varepsilon = cP \quad (31)$$

وهي العلاقة الكلاسيكية. الآن بتعويض (31) في (26) نجد:

$$e'^2 - c^2 p'^2 = 0 \quad \text{أو:} \quad e' = cP' \quad (32)$$

من المعادلتين (32.31) نرى أن:

$$c = \frac{\varepsilon}{P} = \frac{\varepsilon'}{P'} \quad (33)$$

من الواضح وفق العلاقة (33) أن لاتغير سرعة الضوء وعلاقات تحويل الطاقة-الاندفاع وجهان لعملة واحدة، حيث تحقق أحدهما يقود إلى تحقق الآخر. المعادلة (33) تقودنا أيضاً لإيجاد تفسير جديد من أجل لاتغير سرعة الضوء وذلك باستخدام الخواص المادية للفوتون (طاقة-اندفاع) بدلاً من الاعتماد على خصائص الزمكان. ولنبين الآن أن المعادلة (31) بالإضافة للمعادلات (6) تقود إلى هذا التفسير الجديد.

بفرض أن الفوتون ينتقل على طول المحور x باندفاع مقداره $P_x = \frac{\varepsilon}{c}$ فإن لاتغير سرعة الضوء يمكن تحقيقه بتعويض العلاقة (29) في العلاقة (6a):

$$v'_x = \frac{\frac{c^2 p_x}{\varepsilon} - u}{1 - \frac{u p_x}{\varepsilon}}$$

باستخدام المعادلة (31) في المعادلة الأخيرة نحصل:

$$v'_x = \frac{c(1 - \frac{u}{c})}{1 - \frac{u}{c}} = c, \quad c_x \equiv c$$

بشكل مشابه نستطيع أن نحصل على النتيجة نفسها إذا افترضنا أن الفوتون ينتقل على طول المحور y. في هذه الحالة $v'_y = -u$ وبالتالي من المعادلة (6b) نجد:

$$v'_y = \frac{\frac{c^2 p_y}{\varepsilon}}{\gamma} = \frac{c}{\gamma}, \quad c_y \equiv c$$

وهذا يعني:

$$v'^2 = v_x'^2 + v_y'^2 = u^2 + \frac{c^2}{\gamma^2} = c^2$$

أي أن مقدار سرعة الضوء مرة أخرى هو c.

هذا التعريف يأخذ بالحسبان الكميات الديناميكية للجسيم، وبالتالي يسمح لنا أن نفهم كيف يستجيب الجسيم للحركة النسبوية عبر تغيير في الكميات الديناميكية (اندفاع-طاقة) وفقاً للمعادلات (22) والتي بدورها تؤدي إلى الكميات اللامتغيرة وفق العلاقة (26).

إن هذا التشابه بين التحويلات النسبوية مكان/اندفاع وزمن/كتلة ليس صدفة كما نجد ذلك في الجدول الآتي:

$$\begin{aligned} x' &= \gamma(x - ut) & P'_x &= \gamma\left(P_x - \frac{u}{c^2} \varepsilon\right) \\ y' &= y & P'_y &= P_y \\ z' &= z & P'_z &= P_z \\ t' &= \gamma\left(t - \frac{u}{c^2} x\right) & m' &= \gamma\left(m - \frac{u}{c^2} P_x\right) \end{aligned}$$

هذا التشابه يبين لنا ما هي الكميات التي يجب أن تستخدم من أجل تعريف سرعة جسيم مشحون.

المعنى الفيزيائي للعلاقة: $F.v = qE.v$

المعادلة (4) تؤدي إلى القانون الفيزيائي المعروف

$$\frac{d\varepsilon}{dt} = qE.v \quad (30)$$

وهذا يمكن توضيحه كالتالي:

الطرف الأيسر من العلاقة (4) مع المعادلتين (12) و(29) يدل على:

$$F.v = \frac{dP}{dt} \frac{c^2 P}{\varepsilon}$$

والمعادلة الأخيرة تكتب كالتالي:

$$F.v = \frac{1}{2} \frac{d(c^2 P^2)}{\varepsilon dt}$$

باستخدام (27) في المعادلة الأخيرة نجد:

$$F.v = \frac{1}{2} \frac{d(\varepsilon^2)}{\varepsilon dt}$$

أو

$$F.v = \frac{d\varepsilon}{dt}$$

وبمقارنة المعادلة الأخيرة مع المعادلة (4) نحصل على المعادلة (30).

في الميكانيك النسبوي العلاقة المشابهة ($F.v = \frac{d\varepsilon}{dt}$) اشتقت بالاعتماد على فرضية أن الزمكان يملك حقلاً مشابهاً لخواص الحقل الكهرومغناطيسي. بينما في هذا العمل فإن عمل القوى الكهربائية الخارجية وفق العلاقة (4) هو الذي يؤدي إلى تغيير الطاقة الكلية للجسيم المشحون لكي نحصل على المعادلة (30). في الصياغة التنسورية تمثل العلاقة (30) المركبة الرابعة للقوة الرباعية مع العلم أن العلاقة (13) تمثل المركبات الأخرى وقد فضلنا أن نعمل في الصياغة الثلاثية لكي نبين أنه وفق هذه الآلية أيضاً نتمكن من اشتقاق العلاقة (30).

الخاتمة:

في السنوات الأخيرة ظهرت نظريات بديلة للنسبية الخاصة وكان من أهمها نظريتا ويلهلم وجيفمنكو. تعتمد نظرية ويلهلم على قبول مفهوم الأثير مرة أخرى كحامل للموجات الكهرومغناطيسية، وفق هذه النظرية فإن الأفعال الكينماتيكية لدى أينشتاين تصبح أفعالاً ديناميكية، كذلك تعتمد نظرية جيفمنكو على الانطلاق من الكمونات الكهرومغناطيسية المتأخرة وبالتالي استنتاج جميع علاقات النسبية الخاصة وفق هذه النظرية بحيث تصبح أيضاً الأفعال الكينماتيكية لدى أينشتاين أفعالاً ديناميكية. من الممكن أن نبين أن هناك طريقاً آخر غير الطريق الذي اتبعه كل من ويلهلم وجيفمنكو وذلك بالانطلاق من قانون لورنتز واستخدام مبدأ النسبية. وما لاحظناه في هذا العمل أن قابلية قانون لورنتز ومبدأ النسبية في إيجاد جميع علاقات النسبية يشجع على الانطلاق من القوانين الأساسية للفيزياء واعتبارها حجر الأساس لبناء النظرية النسبية. مع العلم أن أينشتاين استخدم في بناء النسبية تحويلات لورنتز والأفعال الكينماتيكية مثل تقلص الأطوال وتمدد الزمن ولم ينطلق من القوانين الأساسية للفيزياء. وعلى الرغم من أن أينشتاين بين أن أثر دوبلر العرضي هو نتيجة لتمدد الزمن فإننا سنبين في عمل لاحق إمكانية اشتقاق أثر دوبلر العرضي بدون استخدام تمدد الزمن، وذلك تأكيداً لصحة الطريق الذي اتبعناه في هذا العمل.

References

- [1] A. Einstein, "On the Electrodynamics of Moving Bodies", Ann. Phys. 17, 891-921 (1905).
- [2] H.A. Lorentz, The Theory of Electrons (Leipzig, 1916).
- [3] H.E. Wilhelm, "Physical Problematics of Einstein's Relativity Theories", Hadronic J. 19, 1-39 (1996), and numerous articles quoted there concerning his theory "Galilei Covariant Electrodynamics"; see also Refs. [4] & [5].
- [4] H.E. Wilhelm, Z. Naturforsch, 45a, 736-748 (1990).
- [5] H.E. Wilhelm, "Fitzgerald Contraction, Larmor Dilation, Lorentz Force, Particle Mass and Energy as Invariants of Galilean Electrodynamics", Apeiron, Nr. 18, 9-19 (1994).
- [6] O.D. Jefimenko, "Derivation of Relativistic Force Transformation Equations from Lorentz Force Law", Am. J. Phys. 64, 618-620 (1996).
- [7] O.D. Jefimenko, "Retardation and Relativity: Derivation of Lorentz-Einstein Transformations from Retarded Integrals for Electric and Magnetic Fields", Am. J. Phys. 63, 267-272 (1995).
- [8] O.D. Jefimenko, Electromagnetic Retardation and Theory of Relativity (Electret Scientific, Star City, 1997).
- [9] O.D. Jefimenko, "On the Experimental Proofs of Relativistic Length Contraction and Time Dilation", Z. Naturforsch. 53a, 977-982 (1998).
- [10] A. Sommerfeld, Electrodynamics (Academic Press, New York, 1952).

نشر هذا المقال في مجلة Galilean Electrodynamics, 2003, ترجمة د. نزار حمدان

التعريف (29) يتوافق مع علاقات تحويل السرعة (6) عندما تستخدم في حالة حقول كهرومغناطيسية (فوتونات)، حيث لا تغير سرعة الضوء يمكن أن يفسر اعتماداً على المقادير الكهرومغناطيسية الديناميكية للفوتونات (الطاقة-الاندفاع). وليس على الأفعال الكينماتيكية لتحويلات لورنتز كما في النسبية الخاصة. وفي النهاية هذا اللاتغير نتيجة لاستجابة الطاقة-الاندفاع للحركة النسبوية عبر تغيير في الطاقة-الاندفاع وفق العلاقات (22) وبحيث تتحقق دوماً العلاقات (26).

اشتقاق لاغرانجيان الجملة جسيم - حقل كهرومغناطيسي:

لنفرض الآن أن لاغرانجيان الجملة مكون من مجموع دالة تتعلق بالسرعة $f(v, m)$ إضافة إلى دالة الحقل التي تصف الحقل الكهرومغناطيسي الخارجي. مع العلم أن الحد $f(v, m)$ يتم الحصول عليه عادة من الميكانيك النسبوي فقط. ولنبين أننا نستطيع أن نشتق اللاغرانجيان وفق صياغتنا، وفق هذا الفرض لدينا:

$$L = f(v, m) + qv \cdot A(r, t) - q\Phi(r, t) \quad (34)$$

وحيث Φ الكمون السلمي و A الكمون الشعاعي. من أجل تحديد الدالة $f(v, m)$ نستخدم معادلة أولر أي:

$$\frac{d}{dt} \left(\frac{\partial L}{\partial v} \right) - \frac{\partial L}{\partial r} = 0 \quad (35)$$

وبتعويض (34) في (35) وحساب الحد الأول والثاني وفق الآتي:

$$\frac{\partial L}{\partial v} = \frac{\partial f}{\partial v} + qA = \frac{d}{dt} \left(\frac{\partial f}{\partial v} \right)$$

$$+ q\nabla(A \cdot v) - qv \times (\nabla \times A) + q \frac{\partial A}{\partial t} \frac{d}{dt} \left(\frac{\partial f}{\partial v} \right) \quad (36)$$

أما الحد الثاني فيصبح:

$$\frac{\partial L}{\partial r} = -q\nabla\Phi + q\nabla(A \cdot v) \quad (37)$$

وبتعويض العلاقاتين (36) و (37) في (35) نجد:

$$\frac{d}{dt} \left(\frac{\partial f}{\partial v} \right) + q\nabla(A \cdot v) - qv \times (\nabla \times A) + q \frac{\partial A}{\partial t} + q\nabla\Phi - q\nabla(A \cdot v) = 0$$

أو:

$$\frac{d}{dt} \left(\frac{\partial f}{\partial v} \right) = q(E + v \times B)$$

باستخدام العلاقة (13) في العلاقة الأخيرة نجد:

$$\frac{d}{dt} \left(\frac{\partial f}{\partial v} \right) = \frac{d(m \cdot v)}{dt}$$

ومنه نجد أن:

$$f = \int_0^v mv \, dv$$

وبتعويض العلاقة (25a) في العلاقة الأخيرة والمكاملة نجد:

$$f = -m_0 c^2 \sqrt{1 - \frac{v^2}{c^2}}$$

وهكذا نحصل على لاغرانجيان الجسيم المشحون وفق صياغتنا:

$$L = -m_0 c^2 \sqrt{1 - \frac{v^2}{c^2}} + qv \cdot A - q\Phi$$

الطريقا إلى النمنمة

ملخص

لقد أحدثت الإلكترونيات المكروية السليكونية ثورة في أسلوب الحياة التي نعيشها، ولكن إلى متى يمكن أن يستمر هذا التصغير الذي لا هوادة فيه للنبائط؟

في هذا المقال، يصف هي وونغ وهيروشي إيوي H. Wong, H. Iwai التحديات التي تواجه صناعة أنصاف النواقل اليوم.

الكلمات المفتاحية:

قانون مور، نمنمة، ترانزستور معدن-أكسيد نصف ناقل، دائرة متكاملة، الإلكترونيات المكروية.

غالباً ما يتوصّف تقدم الإلكترونيات المكروية بالبعد الأصغر في الترانزستور MOS: وهذا يمثل المسافة بين تماسّي "المنبع source" و"المصرف drain"، وهو ما يُعرف باسم طول البوابة gate length. واليوم، صارت الترانزستورات التي أطوال بواباتها أقل من 50 nm قيد الإنتاج، وأخذت النبائط ذات المقياس 5 nm طريقها إلى التصنيع. وفي أثناء ذلك، يدمج أحدث معالج مكروي تصنعه إنتل Intel ما يزيد على نصف بليون ترانزستور فوق شريحة واحدة، ويستطيع أن يعالج مئات الملايين من التعليمات في الثانية.

إننا نتوقع أن تواصل التقنية التي تعتمد على السليكون اتّباع قانون مور لعقدين من الزمن على الأقل، ولكن سيأتي يوم تكون فيه تقانات تصنيع السليكون الراهنة غير قادرة على الاستمرار في مساندة هذا المنحى. وزيادة على ذلك، مادامت الأبعاد أخذة في التناقص، فسنبداً بمواجهة الحدود الأساسية التي يفرضها ميكانيك الكم وخواص المواد. وعلى أية حال، فإن التحدي الرئيسي اليوم يتمثل في إيجاد طرق للوصل بين ترانزستورات فائقة الصغر بحيث تصنع دارات جيجاوية المقياس giga-scale circuits.

لقد كانت النمنمة التي دخلت على الشريحة المكروية microchip خلال العقود الأربعة الماضية بمثابة القوة الدافعة وراء التطوير في كل أصناف التقنية، بدءاً من التسلية المنزلية وانتهاءً باستكشاف الفضاء. ويقع في قلب هذه الثورة الترانزستور المكون من معدن-أكسيد-نصف ناقل metal-oxide-semiconductor يُعرف اختصاراً بالرمز MOS، والذي تحقّق تطويره بأسلوبين. في الأسلوب الأول، أصبح الترانزستور أصغر حجماً، فصارت مقاسات أحدث نبائطه أصغر بألاف المرات من حجمها الأصلي. وفي الثاني، ارتفع عدد الترانزستورات التي يمكن تحميلها وتوصيلها على شريحة واحدة من بضع عشرات إلى مئات الملايين.

لقد اتّبع كثافة الشببات المكروية منحىً أسياً كان قد تعرّفه غوردن مور Gordon Moore من شركة إنتل Intel في العام 1965. فقد تنبأ مور بأن عدد المكونات التي يمكن أن تحشر في دائرة متكاملة سيتضاعف كل سنتين في المستقبل المنظور. وفي الحقيقة، ابتخس مور هذا المنحى، إذ إن العدد المتوسط قد تضاعف بالفعل كل 18 شهراً. والسؤال الذي يورّق صانعي الشببات في العام 2005 يتمثل في مدى استمرار هذا النموّ الأسّي.

أول ترانزستور من السليكون
قدمت شركة تكساس للجهيزات أول
ترانزستور من السليكون عام 1954.



حديث قصب
حجم الترانزستورات في المعالج
بنينوم 4 من شركة إنتل كان
45 μm

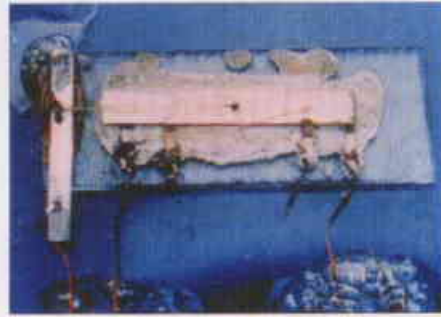


إلى أي حد من الهبوط يمكن أن نذهب
إن الريادة في تخفيض الحجم قد لا تثبت
أنها قابلة للاستمرار اقتصادياً.

قصبها الحجم
الترانزستورات في أول معالج
مكروي (إنتل 4004) كان
مقاسها 10 μm.

الأنبوب الختلي
كان الأنبوب الختلي أول نبهطة إلكترونية
فعالة جرى اختراعها

أول دائرة متكاملة
طور جاك كليي أول دائرة متكاملة في
عام 1958.



التوازن
النبائط الأصغر تعانى من
تيارات تسرب أكبر

2020 2010 2000 1990 1980 1970 1960 1950 1900

لقد خُفّض حجم النبائط الإلكترونية، المقيس بدلالة "طول بوابة" الترانزستور، بعامل يبلغ المليون في الخمسين سنة الماضية، متبعاً منحراً أسياً يُعرف باسم قانون مور. كان هذا نتيجة لتوريتين: ثورة دخول نبائط أنصاف النواقل في حوالي عام 1950، وثورة دخول الدارة المتكاملة في حوالي عام 1960. إن أصغر ترانزستور يمكن تصنيعه بكلفة فعالة هو بطول 9 nm (الخط الأحمر)، في حين يبلغ حد تقنيات التصنيع الحالي حوالي 5 nm (الأخضر). الحد الفيزيائي الأساسي هو دون 1 nm (الأزرق). سنحتاج إلى تقانات جديدة كي ننزل إلى ما دون هذه الحدود (الأرجواني).

في عدة وجوه، ولكن العامل الأساسي في نجاحه تمثل في أكسيدته: فتنائي أكسيد السليكون يتمتع بخصائص عزل جيدة، كما يمكن إزالته بسهولة، الأمر الذي يبسط إلى حد كبير تصنيع الدارات المتكاملة. وهناك أنصاف نواقل مركبة عديدة غريبة أخرى مثل زرنبيخيد الغاليوم، وفسفيد الإنديوم ونتريد الغاليوم التي تبين أنها أكثر ملائمة للتطبيقات العالية السرعة كتلك التي في الدارات الفوتونية ودارات التواترات الراديوية، ولكن السليكون يسرّع الخطى الآن في هذا المجال.

جاءت الثورة الثانية في الإلكترونيات المكونة في العام 1958، حين اخترع جاك كليي J.Kilby من شركة Texas Instruments الدارة المتكاملة. وفي السنة التالية، طور روبرت نويس R.Noyce من شركة Fairchild Semiconductors تقانة السليكون المستوي، التي دلت على

تفرد السليكون

بدأت الثورة الأولى في الإلكترونيات المكونة لأنصاف النواقل باخترع الترانزستور الوصلي ثنائي القطب bipolar junction transistor الذي حققه باحثون يعملون في مختبرات بل Bell Labs في العام 1947. هذه الترانزستورات التي كانت تُصنع من الجرمانيوم، كانت أصغر بمائة مرة من أنابيب الخلاء التي كانت تؤدي المهمة سابقاً، كما كانت أسرع منها أداءً، وأرخص ثمناً وأكثر وثوقاً.

لقد جرى في الخمسينيات من القرن الماضي تطوير معظم المفاهيم والتقانات الهامة المستخدمة اليوم في الإلكترونيات المكونة، وذلك بعد أن برز السليكون أحادي البلورة باعتباره المادة المختارة للترانزستور الحديث. وتفوق السليكون على أنصاف النواقل الأخرى

2- قانون مور الثاني: كثافة الشببة



إن عدد الترانزستورات التي يمكن دمجها (استكمالها) على شبيبة سليكون وحيدة في الأربعين سنة الأخيرة قد تبع قانون مور أيضاً، ومن المتوقع أن يستمر كذلك لعقدين من الزمن على الأقل. ولكن على عكس الاعتقاد الشائع، فإن مزيداً من الزيادات في كثافة الشببة قد لا يعود لتصغير حجم الترانزستور الفرد، وبدلاً من ذلك، إن مستوى الاستكمال سيعتمد على قدرتنا على توصيل الترانزستورات على المقياس الجزيئي. قد يكون هذا نتيجة البناء الهندسي الأفضل، كتصميم الشببة ثلاثي البعد بدلاً من ثنائي البعد، وكذلك باستعمال وحدات من شببات متعددة وربما تتم فيها التوصيلات بصورة ضوئية.

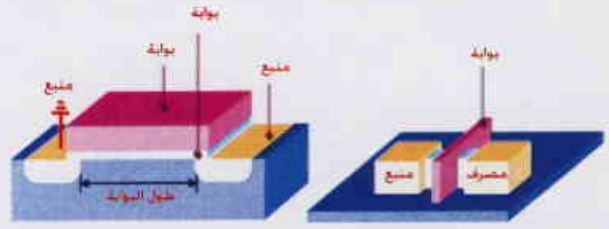
MOS بسعة 1kb MOS static random access memory (وهي نبات ذكرة لها معمار هندسي أبسط من شببات المعالج، الأمر الذي يعني أنها تستطيع امتلاك كثافات مكثفات عالية). وبالفعل بدأت ثورة التقانة التي تمخضت عن الحاسوب الميكروي microcomputer الحديث في العام 1971، حينما صنعت شركة إنتل أول معالج ميكروي وحيد الشببة مؤسس على الترانزستورات (المعروف باسم four-bit "Intel 4004" أي إنتل 4004 ذو البتات الأربع). ومع الزمن، بلغ حجم الترانزستور MOS النموذجي حوالي 10 μm وبلغ عدد الترانزستورات على شبيبة إنتل 2300.

إن التخفيض في حجم الترانزستور MOS أدى إلى إنقاص القدرة المستهلكة، كما دل على أن الدارات المتكاملة تستطيع العمل

أن الترانزستورات يمكن إنتاجها بالجملة وأن أعداداً ضخمة منها يمكن الوصل فيما بينها على سطح السليكون باستخدام الطباعة الحجرية الضوئية photolithography.

وأخيراً، وفي العام 1960، تم تصنيع أول ترانزستور MOS على يد داوون كاهنغ D.Kahng وجون عطا الله J. Atalla من مختبرات بل. لقد بدأ عصر إلكترونيات السليكون الميكروية.

لقد كان عقد الخمسينيات من القرن الماضي عقد الاختراعات، وكان عقد الستينيات عقد التكامل integration، ومع حلول عام 1969 كان العديد من الشركات يصنع دارات متكاملة بسيطة من السليكون، مثل ذاكرة الوصول العشوائي السكونية لأنصاف النواقل



يتألف ترانزستور MOS (يساراً) من ثلاثة إلكترونات (المنبع والمصرف والبوابة) يفصلها عن الركيزة السليكونية أكسيد البوابة. ويجري التحكم في تدفق الإلكترونات بين المنبع والمصرف عبر تغيير فولتية البوابة، مما يسمح للترانزستور بأن يثبط أو يضخم التيار الكهربائي. ولما كان إدخال ترانزستورات MOS جرى في ستينيات القرن الفائت فإن حجم الترانزستور (مقيساً بوحدات طول بوابته) انخفض من 10,000 إلى 50 نانومتراً. ولأجل المزيد من تخفيض الحجم تطور الباحثون الآن ترانزستورات مزدوجة (يعنيًا) ذات تماسات بوابية تحيط بالقنوية. ولذلك تقدم تحكما أفضل بفولتية البوابة.

ووفقاً لأحدث خارطة طريق، سيُخفَض طول بوابة الترانزستور MOS إلى النصف كل ست سنوات (من 37 nm في العام 2004 إلى 18 nm في العام 2010 و 9 nm بحلول العام 2016). لن يكون الوصول إلى هذا الهدف سهلاً – فستكون هناك، على سبيل المثال، مشاكل في النمذجة وفي تيارات التسرب – ولكن سيتحقق إنجاز طول بوابة يقدر بحوالي 10 nm (الشكلان 1 و2).

يتمثل أحد العوائق الرئيسية في بناء ترانزستور ذي طول بوابة يقل عن 10 nm في أن أكسيد البوابة يجب أن يكون ذا سعة كبيرة بما يكفي للتمكين من ضبط التيار كما ينبغي. ونشير إلى أن تخانات الأكسيد في شبيات السليكون التي هي قيد الإنتاج حالياً تبلغ 1.2 nm، بيد أن هذا سيتحتم تخفيضه إلى 0.7 nm لتحقيق طول بوابة مقداره 30 nm. إن هذا التخن يقابل طبقتين نرّيتين فقط وبالتالي فهو يمثل حد التصنيع النهائي لثخانة أكسيد السليكون. ولعل إحدى الطرق الواعدة للالتفاف على هذا الحدّ يتمثل في استعمال مواد ذات ثابت عزل أكبر من أكسيد السليكون. وعلى سبيل المثال، يمكن لفلم من أكسيد الهافنيوم أن يعطي السعة نفسها التي يعطيها أكسيد السليكون بالرغم من كونه أثنى منه بخمس مرات.

العقبة الأخرى أمام تصنيع ترانزستورات فائقة الصغر هي ظاهرة تُدعى مفعول القنوية القصيرة short-channel effect. ففي ترانزستور ما حَسَن الأداء يتم التحكم في انتقال الإلكترونات من المصدر إلى المصرف بواسطة الفولتية البوابية التي تحوّر عمق القناة، فلا يتدفق أي تيار حينما يكون الترانزستور مطفأً. أما في القنويات الفائقة القصر، فإن الإلكترونات تستطيع العبور نفقياً من المصدر إلى المصرف، وكذلك من المصرف إلى جسم الترانزستور، حتى عندما تكون النبيطة مُطفأةً switched off. ويسبب هذا الأمر تسرباً كبيراً للتيار يوقف عادة بزيادة تركيز التطعيم في منطقة القناة. لكن هذه الطريقة تغدو إشكاليةً في نبات ما دون 100 nm، لأن التطعيم الكثيف يخفض بصورة ملحوظة حركية القناة، فإرضاءً توازناً تبادلياً بين حجم النبيطة والتيار تسربها.

بسرعة أكبر. في أثناء ذلك، وبينما أصبحت الدارات تدخل بشكل مناسب في مكونات أصغر حجماً، تفتَح المزيد من التطبيقات وبدأت تكلفة الترانزستور بالانخفاض. فأحدثُ معالج "Itanium2" من شركة إنتل يحتوي على 410 ملايين ترانزستور لا يتعدى حجم كل ترانزستور فيه 45 nm وكلها مقحمة في مساحة 3 cm².

لا بد أن يأتي يوم يصل عنده هذا النمو الآسي في كثافة الشبيبة إلى نهايته، وعندها تتوقف صلاحية قانون مور. لكننا من الناحية التاريخية غالباً ما كنا متشائمين جداً في توقعاتنا. لقد تمّ التغلب على العديد من الحواجز التقانية التي كانت في يوم من الأيام حدوداً لقانون مور، مثل الميَز resolution في الطباعة الحجرية، ولا يوجد اليوم أي مؤشر يدل على أن المنحى الآسي لمور وشيك النهاية.

إن حجم ترانزستور MOS سينزل إلى النصف كل ست سنوات، حسب أحدث خارطة للطريق

الطريق مفتوحة

إن مهمة استقراء قانون مور من أجل التنبؤ بالتطورات المستقبلية لإلكترونيات السليكون المكونية هي مسؤولية اتحاد صناعات أنصاف النواقل، وهو جمعية مؤلفة من حوالي 1000 شخص من كبريات شركات أنصاف النواقل. ويتم رسم النتائج على شكل "خارطة طريق" roadmap، يتبّعها المصنعون كي يحافظوا على موقعهم في السوق ويحسنوه.

نظرة سريعة : إلكترونيات السليكون المكونية

- في عام 1965 تنبأ غوردن مور بأن عدد الترانزستورات على شبيبة واحدة سيتضاعف كل سنتين .
- يحتوي المعالج " إيتانيوم 2 " الذي تنتجه شركة إنتل حوالي نصف بليون ترانزستور .
- إن حجم الترانزستور الفرد محدود بميكانيك الكم ، لكن تقنيات التصنيع لم تصل بعد إلى هذا الحد .
- الصعوبة في توصيل بلاييك المكونات مما قد تمنى نهاية قانون مور .
- ثورة الإلكترونيات المكونية التالية قد تأتي من ضم إلكترونيات السليكون إلى الفوتونيات .

سلوك الأمواج بدلاً من سلوك الجسيمات وتتوقف النبيلة عن العمل كترانزستور. كذلك، يحدّ مبدأ الارتياح uncertainty principle من بارامترات النبيلة مثل التيار والفولطية، وعليه، فإنّ الطول الأصغري للبوابة يكون محدوداً بالمسافة الفاصلة بين ذرات السليكون المستقلة (0.27 nm).

هذه الحدود الفيزيائية هي أصغر بكثير مما يمكن تحقيقه باستخدام تقنيات التصنيع الراهنة من حيث إن منحى تصغير الحجم بالنسبة للترانزستورات المفردة يحتمل أن يتبع قانون مور لعدة عقود قادمة. بيد أن اكتشاف طرق تصنيع ووصف وتوصيل بني لبنائت بأبعاد تحت 1nm بالمقياس الجيغايي giga scale هو أمر خارج تصوراتنا في الوقت الحاضر، على الرغم من عدم وجود حدود فيزيائية أساسية تلوح في الأفق. إن ما يبدو مؤكداً هو أن تمر عدة عقود قبل أن تبدأ أي تقنية جديدة بمحاولة منافسة تقانة MOS السليكونية.

ففي العام 2003، على سبيل المثال، بين باحثون من NEC إمكانية تصنيع ترانزستور MOS بطول بوابة يبلغ 5 nm. لكن خصائص مثل هذا الترانزستور الدقيق ستكون بالغة الحساسية للتغيرات الطفيفة في أبعاده. إن تغييراً قدره طبقة ذرية واحدة (0.27 nm) في أبعاد ترانزستور ذي بوابة بطول 5 nm يمثل تبديلاً قدره 5.3% في طول البوابة، الأمر الذي قد يتجاوز هامش الضجيج المسموح به لدارة جيغايوية المقياس (يقدر هذا عادة بحوالي 5%). فإذا كان طول البوابة صغيراً (ويبلغ 3 nm)، ستزداد التقلبات لتصل إلى 9%. إنه ليس من الواضح كذلك ما إذا كان من الممكن أو من غير الممكن بناء بنائت تبلغ الدقة فيها ذرة واحدة؛ بل إنه ليس من الواضح ما إذا كانت تكلفة الوصول إلى مثل هذه الدقة ستكون غير مقبولة في حال إمكان تحقيقها.

إن التصنيع بالجملة للبنائت الصغيرة يعرّض التقانات الأخرى إلى عقبات أيضاً، بما في ذلك مفعول القنوية القصيرة وتقلبات الطعوم الموصوفة أعلاه. إن تصغير حجم بنائت MOS في الدارات الكبيرة المقياس circuits larger-scale قد يتوقف بناءً على ذلك لأننا غير قادرين على التحكم بتيار التسرب والمحافظة على فوطية التغذية المنخفضة اللازمة. وفوق ذلك، فإنّ الزيادة التي تصاحب تكاليف التصنيع، والإنتاج الذي يزداد سوءاً والأداء المتردي للبنائت كل ذلك قد يصل إلى النقطة التي تقلل العائد الاقتصادي. وبالنتيجة، فإنّ تطبيق قانون مور على دارات MOS السليكونية الكبيرة المقياس قد ينتهي في حدود عشر سنوات من الآن عند ترانزستورات أطوال البوابة فيها تقارب 10 nm.

وللوصول إلى مزيد من تخفيض حجم النبيلة بدون المزيد من المساس بأدائها، فقد اتفق المصنعون بالإجماع على استخدام بنية جديدة تُدعى ترانزستور مفعول الحقل MOS double-gate MOS field effect transistor (الشكل 3). إذ تسمح هندسة البوابة المضاعفة بمزيد من التحكم في الكمون الكهربائي للقنوية، مما يعني إمكانية تقليل مفاعيل القنوية القصيرة. وبذلك يتم تخفيض مستوى تطعيم القنوية ويتيح كذلك إمكانية الحصول على أطوال بوابات أقصر.

أما بخصوص كثافة الشببة، فإنّ خارطة الطريق تتنبأ أن يستمر تضاعف عدد الترانزستورات على الشببة الواحدة كل ثلاث سنوات، وفقاً لقانون مور. ويجري اليوم إنتاج شبيبات ذاكرة قادرة على تخزين 4 Gb من المعطيات، كما يجري تطوير شبيبات من فئة 16 Gb يُقدّر لها أن تحتوي على حوالي 160 بليون ترانزستور. ومع حلول العام 2010، ستكون الشبيبات من فئة 32 Gb قيد الإنتاج، في حين قد يتجاوز عدد الترانزستورات في المعالج المكروي 770 مليوناً. ومع حلول العام 2016 (حيث أبعد نقطة في خارطة الطريق)، ينبغي أن تتوافر حواسيب ذات ذاكرات تصل سعة الواحدة منها إلى 128 Gb، كما ستتوافر معالجات مكروية تحتوي على عدد من الترانزستورات يصل حتى 3 بلايين ترانزستور بسرعة ميقاوية تزيد على 30 GHz.

نهاية قانون مور

إن تصنيع ترانزستور 5 nm يجب ألا يبدي مشاكل فيزيائية أو تقانية مهمة. وفي الحقيقة، فإنّ ترانزستورات الإلكترون الوحيد المبنية على "النقط الكمومية quantum dots" موجودة الآن بأبعاد تقارب 1 nm، بالرغم من الصعوبة في صناعتها، بانتظار توصيلها معاً بأعداد كبيرة. وفوق ذلك، نحن على شفا ثورة في الإلكترونيات تصاحب تطوير بنائت كمومية تستغل سبين الإلكترونات بدلاً من شحناتها. إن الترانزستورات المبنية على طريقة "السبينترونات spintronics" هذه يمكن أن تكون أصغر من 1 nm.

إن الحدّ النهائي لطول بوابة الترانزستور MOS لاتحكمه التقانة بل الفيزياء الأساسية. فعلى سبيل المثال، يجب أن تكون المسافة الفاصلة بين المصدر والمصرف أكبر من طول موجة دوبروي (de Broglie) للإلكترونات، أي $h/\sqrt{2mE}$ ، حيث h ثابت بلانك، و m كتلة الإلكترون و E هي الطاقة (فالإلكترون طاقته 2 eV، على سبيل المثال، يكون له طول موجة دو بروي حوالي 0.86 nm). ولو أن الوضع لم يكن كذلك فمن المحتمل أن تسلك الإلكترونات

أفضل، ستبقى تقانة MOS القائمة على السليكون محوراً ناشطاً في صناعة أنصاف النواقل في المستقبل المنظور. ولكن في نهاية المطاف، ستفقد هذه التقانة مقدرتها على تحقيق الهدف المنشود من الإلكترونيات المكروية من حيث جعلها أصغر حجماً وأسرع أداءً وأرخص ثمناً.

تلوح في الأفق بدائل عدة، يتمثل أحدها في الحوسبة الكمومية، التي تسخر فيها خواص العالم تحت الذري subatomic مثل التطابق والتشبيك لتنجز المتبغى في معالجة متوازية. ولكن يُعد البناء الفعلي لبتات كمومية فيزيائية quantum bits أو "كيوبتات qubits"، ثم ربط ما يكفي منها بعضها مع بعض على نحو موثوق ورخيص، أمراً غير محتمل لمنافسة الترانزستورات القائمة على السليكون منذ أمد بعيد. وهناك طريق آخر لنمنمة التباطؤ يتمثل في بناء ترانزستورات من أنابيب الكربون النانوية، على الرغم من كون عمليات تصنيع وتوصيل مثل هذه البنى الدقيقة بالقدر الكافي غير متاحة حتى الآن.

ربما يكون البديل الأكثر وعداً هو أن تكامل الإلكترونيات السليكون المكروية مع الفوتونيات photonics. ومثل هذه المنظومات سوف تبدي قدرة أقل من مثيلاتها من النبايط الإلكترونية التي سبقتها، وسيكون الربط فيما بينها أكثر سهولة لبناء دارات متكاملة كبيرة المقياس. وعلاوة على ذلك، فإن عرض العُصابة الأكثر كبراً للتوصيل البيني الضوئي سيزيد سرعة المعالجات المكروية بصورة ملموسة. قد تستغرق هذه التقانة الإلكترونية-الفوتونية الهجينة عدة عقود، أو أكثر لتصل إلى درجة يمكن مقارنتها بتقانة السليكون الراهنة، وستبقى بعض التقنيات الأساسية في نباط MOS سارية المفعول. لكن هذا قد يكون سببنا الأفضل لإدراك خرافة تقانة السليكون (الأصغر-الأسرع-الأرخص) السائدة.

مهما يكن ما يحمله مستقبل الإلكترونيات المكروية، فإنه يبدو وكأن السليكون سيكون جزءاً منه لا محالة. قد يصل تصغير حجم نباط MOS إلى نهايته في عقدين من الزمن، ولكن ثورة الإلكترونيات السليكون المكروية ستستمر لمدة أطول.

لكن هناك بضعة خيارات تقانية لزيادة عدد الترانزستورات على شبيهة بدون تخفيض حجم كل منها. إن القيود الرئيسة أمام بناء منظومات كبيرة المقياس تتمثل أولاً في الناتج (أي الجزء الذي يعمل بنجاح من الشيبات التي يعطيها الإنتاج على دفعات) وفي تعقيد ربط هذه الترانزستورات بعضها مع بعض. يمكن التغلب على هذين القيدتين باستخدام وحدات متعددة الشيبات أو طريقة المنظومة المُصدّقة system-in-package approach. والفكرة هنا هي أن نستطيع تصنيع وحدات أو منظومات فرعية تحتوي على أي عدد من الترانزستورات بنحو منفصل ثم ندخلها في الأحايد المعدة لها على الشبيهة الأم بتوصيلات بينية متعددة المستويات. إن هذا النهج يزيد كثافة الشبيهة ويبسط التوصيلات البينية، كما أنه يقلل "السعة الطفيلية parasitic capacitance" بين الشيبات، وبذلك يقلل تأخر الإشارة.

إن التوصيل الضوئي البيني على الشبيهة هو خيار جذاب آخر لبناء شيبات مكروية سليكونية ذات مقياس فائق الكبر. ويمكن بعدئذ أن يحل مرشد موجي ضوئي وحيد محل مئات من خطوط العنونة، وخطوط المعطيات، وخطوط التحكم الكائنة بين القوالب العاملة. إن التقدم الحديث في هذا المجال واعد جداً، وقد صنعت مرشحات موجة ضوئية منخفضة الهدر من أكسي نتريد السليكون باستخدام عمليات تصنيع مكروية. ولقد أعلن أيضاً عن إصدار الضوء من أسلاك السليكون النانوية أو المعنقدات النانوية، التي تجعل التوصيل البيني الضوئي على الشبيهة ممكناً (انظر "شيبات السليكون تضيء Silicon chips light up" في مجلة Physics World، عدد نيسان/أبريل صفحة 25-26). وفي الحقيقة، فقد أعلنت شركة إنتل حديثاً عن خطط لتجميع نباط فوتونية بكاملها على شيبات ذات "ذكاء رقمي digital intelligence" لصالح الأجيال المستقبلية من المعالجات المكروية.

إن التفتيش عن طرق لوصل نباط تحت نانوية من رتبة المقياس الجيغاي يقع خارج نطاق تصورنا

أصغر وأسرع وأرخص

إن لقانون مور الاقتصادي، بالنسبة لثورة الإلكترونيات السليكون المكروية، مستقبلاً متفارقاً. فسيظل يحظى بنباط أصغر في كل عام على مدى بضعة عقود قادمة، ولكن هذه النباط قد تستغرق وقتاً أطول قبل أن نجدها في تصنيع الدارات ذات المقياس الفائق الكبر. مما لاشك فيه أنه باستخدام تقانة التصنيع والصنفة packaging الجديدة، جنباً إلى جنب مع بنية منظومات وطرائق توصيل بيني

المؤلفون: هيروشي إيوبي، معهد طوكيو للتقانة، ناغاسوتا، اليابان.

هي وونغ، قسم الهندسة الإلكترونية، جامعة مدينة مونج كونغ.

- نشر هذا المقال في مجلة Physics World، September 2005.

وتمت ترجمته في هيئة الطاقة الذرية السورية.

علم القياس على مستوى السُّلم النانوي

إن التقدم في التقانة النانوية يستند إلى قياسات أكثر دقة لمقادير المسافة والقوة والتيار.

بن شيريدان، جيلبر كامبسون، مارك بيلى



يمكن استخدام مجاهر القوة الذرية (AFM) للتصوير النانوي المقياس ولإجراء قياسات قوى شديدة الحساسية. الأداة المبنية أعلاه تستخدم قياس التداخل الضوئي لتحقيق الدقة في سلام قياس الصور في المجهر AFM.

الكلمات المفتاحية: علم القياس النانوي، القياس في البيولوجيا، مجهر القوة الذرية، منظومات كهروميكانيكية مكروية، تقانة نانوية.

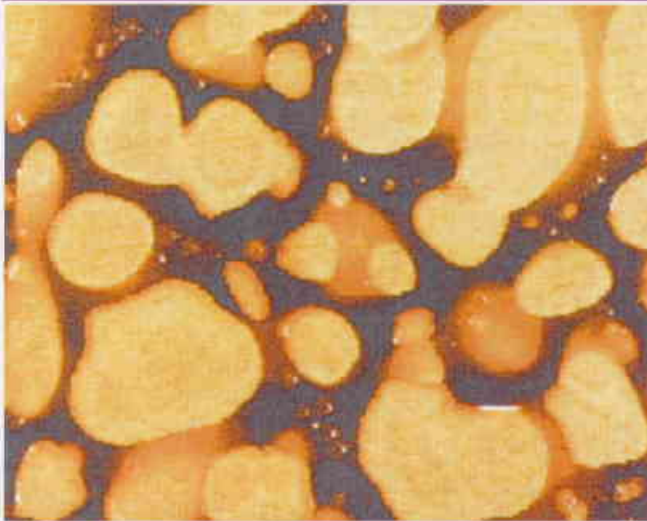
السُّلم النانومتري (حوالي 100 nm وما دون ذلك). فالتصوير، على سبيل المثال، لا يكون ممكناً عند هذا السُّلم في حال استخدام المجاهر الضوئية، كما أنه يستحيل عملياً أن تزن جسمًا نانومتري المقياس بأي دقة.

بالإضافة إلى حاجة التقانة النانوية إلى قياسات أكثر دقة، فإنها غالباً ما تتطلب تنوعاً في القياسات أكثر من التنوع الذي تتطلبه التقانة التقليدية. لناخذ، على سبيل المثال، التقنيات المعيارية المستخدمة في صنع الشبّات المكروية microchips، إنها تحتاج بشكل عام إلى قياسات دقيقة للطول، لكن تصنيع إلكترونيات على مقياس جزيئي يتطلب أيضاً قياسات مغنطيسية وكهربائية وميكانيكية وكيميائية.

لطالما اعتمدت الصناعة على القياس الدقيق. ففي القرن التاسع عشر، على سبيل المثال، كان أداء المحركات البخارية محدوداً بشدة بسبب المكونات المفتقرة للدقة، الأمر الذي تغيّر بواسطة مقياس التخن الكروميتري ذي اللولب screw micrometer calliper الذي ابتكره ماودسلي H. Maudsley. وفي أوائل القرن العشرين، استند تطوير الإرسال البرقي إلى معايير محسّنة للمقاومة الكهربائية. وقبل هذا، كان لكل بلد معاييره الخاصة به، كما كان الاتصال عبر الحدود صعباً.

واليوم يصحّ الشيء نفسه على التقانة النانوية إذا أريد استثمارها في الصناعة بشكل تام. فمبادئ القياس التي تصلح جيداً على المستوى الجهري غالباً ما تصبح غير صالحة كلياً على مستوى

التصوير بالكابول



الشكل 2

تثبيت الصورة بالمجهر AFM خليطاً بولييميرياً ذا طوريين ، وهو خليط من بولييميريت أو أكثر ، تم استخدامه في هذه الحالة لصنع عدسات لاصقة . حيث ينبغي أن تكون الجسيمات البوليميرية المفردة أصغر بكثير من طول موجة الضوء ، كي تقوم العدسة بعملها على الوجه الصحيح . وبذلك لا يمكن تصويرها باستعمال الضوء . وبدلاً من ذلك تمرر أسلة (الراس المستدق) المجهر AFM عبر سطح الخليط البوليميري . وكلما كان البوليمير أصعب (أي أن معامل يونغ فيه أعلى) كان تخلف الأسلة أقل في المادة وكان انحراف الكابول أصغر . تثبيت الصورة مساحة تبلغ $10 \mu\text{m}^2$ وسيلف المتر حوالي 10nm .

مكشاف الفيروسات



الشكل 1

استخدم الباحثون في جامعة كورنيل كابول مجهر AFM دقيقاً للكشف عن كتل صغيرة تبلغ أبعادها واحداً أو 10^3 (الصورة الصغيرة المدمجة في الشكل) . وقد حققوا ذلك بوضع الكابول في حالة تحاوب ومث تم قياس التغير الطفيف في تواتر التحاوب لدى إضافة الكتل .

القدرة الميكانيكية

إن الاستجابة لهذه التحديات سوف تتطلب عدداً من تقنيات قياس جديدة، وإن أحد أهم هذه التقنيات هو استخدام منظومات كهرميكانيكية ميكروية microelectromechanical systems وهي بناط ميكانيكية بالغة الصغر يمكن إقحامها بسهولة في الإلكترونيات الحديثة. ولما كانت لهذه المنظومات أشكال تبلغ أبعادها ما بين حوالي $1 \mu\text{m}$ و $10 \mu\text{m}$ ، فإنها تكون صغيرة بما يكفي لأن تتحسس بالقوى ذات المقياس النانوي ولكنها أكبر من أن نفهمها بمصطلحات الفيزياء الكلاسيكية. ويُعد هذا أمراً جوهرياً إذا أردنا أن نقيس ظاهرة جديدة على المقياس النانومتري من دون اللجوء إلى مبدأ قياس نانوي جديد آخر.

وحسبما يتبين جلياً، ما كانت لتكتنف التقانة النانوية أي شهرة جماهيرية طيلة بضع السنوات الأخيرة لولا اشتها الكابول cantilever الدقيق في قلب مجهر القوة الذرية (AFM). فذروة (أسلة) هذا الكابول تتحرك فوق سطح العينة وتنعكس حزمة ليزرية عن هذا السطح على مكشاف حساس للضوء. وبينما تُصد أسلة الكابول عن السطح أو تتجذب نحوه، يتغير موضع الحزمة المنحرفة. وبذلك يستطيع مجهر القوة الذرية (AFM) أن يرسم جانبية profile العينة. إن هذه التقنية، التي تسمح العينة خطاً بعد خط مثل صورة التلفزيون، تستطيع أن تنشئ صوراً لأشكال ذات مقياس نانوي تكون أقل من حد انعراج المجاهر الضوئية بمراتب في المقدار.

ومثلما يستطيع مجهر القوة الذرية إنتاج صور بالمقياس النانوي، فإنه يستطيع أيضاً أن يقيس قوى وأن يقوم بقياسات ميكانيكية. وعلى هذا يمكن استخدامه لاكتشاف أجسام دقيقة كالفيروسات والبكتريا (الشكل 1) أو لتعيين مكونات مزيج بوليميري (الشكل 2). وكذلك يمكن استخدامه لسبر الخواص الميكانيكية لجزيئات فردية، مثل

القساوة والقوى الرابطة، وبذلك يحسن فهمنا للعديد من السيرورات الحيوية. فمثلاً، إن قياس التآثر الذي يربط الأضداد antibodies بالمستضدات antigens يمكن أن يلقي ضوءاً على عمل الجهاز المناعي immune system. ويمكن تحقيق ذلك بتثبيت أحد الأضداد على أسلة AFM ومن ثم استعمال هذه الأسلة لسبر سطح مغلى بتشكيلة من المستضدات. وتستخرج بعدئذ شدة التآثر بين الضد والمستضدات المختلفة عن طريق قياس انحراف كابول المجهر AFM.

ولكن، لإجراء هذه التجارب بواسطة المجهر AFM، يجب على المرء أن يعرف ثابت نابض الكابول (ما دام هذا يربط انحراف النبيلة بالقوة المطبقة). وهذا يُعد تحدياً مهماً. فمن أجل كابول ضخم (ولنقل أنه بحجم المسطرة المدرسية مثلاً) يسهل على المرء أن يعلق أوزاناً معلومة في نهايته ويقاس الانحراف المقابل لها. لكن هذا غير ممكن على مقاييس أصغر لأن الوزن يجب أن يُحسب بدلاً من ذلك بوضع جسيمات صغيرة ذات كثافة معلومة على الكابول وقياس حجمها. وتكمن المشكلة مع هذه الطريقة في أن الارتياح في القياس لكل بعد من الأبعاد الثلاثة للجسيمات ينبغي أن يساوي ثلث الارتياح المطلوب لثابت النابض. ويصعب، بالنسبة لمقياس كابول مجهر AFM، الحصول على هذه الدقة. وعلاوة على ذلك، فإن تثبيت جسيمات صغيرة بكابول ما يتطلب مهارة فائقة.

ولكن ثمة طرق بديلة عديدة لحساب ثابت نابض الكابول، مثل



المؤطر، تدريج مجهر AFM

يمكن حساب ثابت النابض spring constant لمحجر القوة الذرية (AFM) باستخدام ميزان نانوي كهوميكانيكي مكروي (انظر الصورة). يوجد في مركز الميزان النانوي منصة سداسية الشكل

مركزية، موصولة إلى ما يشكل ثلاث مجموعات من قوائم الكابول وثلاث مكثفات. وتكون الكتلة الموجودة داخل كل مجموعة من القوائم مثبتة إلى الركازة، الأمر الذي يسمح للمنصة بالحركة باتجاه سطح الشبه chip وبالعكس. وبينما تتحرك المنصة مبتعدة عن السطح، تصبح الصفائح المتعاقبة الكائنة ضمن كل مكثفة أقل تراصفاً وتبدي لذلك وسعية capacitance أصغر.

تتمثل الخطوة الأولى للمعايرة في أن نحسب "معال الموسعة" للميزان النانوي، حيث تُطبق فولتية متناوبة AC صغيرة على المنصة، بحيث تضع الشبيطة في حالة تجاوب فتتذبذب شاقولياً بمطال سعته حوالي 10-15 nm. ونحصل على معال الموسعة بقياس التيار المتناوب AC الصغير الذي ولدته المكثفة وسرعة المنصة، التي تقاس بصورة مستقلة باستخدام مقياسية دوبلر التداخلية Doppler interferometry.

وتتمثل الخطوة التالية في أن نطبق فولتية مستمرة DC أكبر بكثير من الفولتية المتناوبة (حوالي 1.5 V فولط) على المنصة ونقيس المسافة التي تتحركها المنصة. وعندما تكون القوة الكهربائية اللازمة لرفع المنصة إلى هذه المسافة مساوية للفولتية المطبقة مضروبة في معال الموسعة. وهذا يعطي قيمة ثابت النابض في الميزان النانوي. وأخيراً، يُدفع كابول مجهر القوة الذرية AFM الذي يحتاج إلى معايرة نحو المنصة. وتخبّرنا النسبة بين المسافة التي تحركتها المنصة وبين انحراف الكابول القيم النسبية لثابت النابض. بمقارنة هذا مع ثابت نابض الميزان النانوي نحصل على قيمة النابض الخاص بالمجهر AFM.

يتم تعريف الوحدات الكهربائية في إطار منظومتنا الراهنة (أي منظومة SI) بدلالة التأثيرات الجهرية الكلاسيكية. وهذه ليست ملائمة بصورة مثالية لقياس الخواص الكهربائية للنبائط ذات المقياس النانوي لأن القياسات تتضمن ترتيبات كبيرة نسبياً. ومن الناحية العملية، يقاس كل من التوتر والمقاومة الآن باستخدام ظواهر كمومية -ولكلتيهما معايير تتعلق مباشرة بثابت بلانك والشحنة التي يحملها الإلكترون. ولكن، لا يزال التيار يقاس باستخدام تعريف جهري للأمبير (وهو التيار الذي يجب أن يمر في كل سلك من سلكين متوازيين تفصل بينهما مسافة متر واحد كي تكون قوة الجذب بينهما تساوي $2 \times 10^{-7} \text{ Nm}^{-1}$).

يمكن أن يستفيد المعيار الكومومي للتيار من كون الشحنة تظهر على شكل وحدات منفصلة: هي الإلكترونات. إن الشبيطة

اشتقاقه من قياسات أبعاد الكابول ومعاملات المرنة. ولسوء الحظ فإن ثابت نابض الكابول يتناسب مع مكعب ثخنه؛ وهنا نرى مرة أخرى أن الارتياح في قياسات الطول ينبغي أن يكون ثلث الارتياح المطلوب لثابت النابض. وهذا قياس ليس من السهل إجراؤه حينما يكون ثخن الكابول نصف مكرون، وحتى ربما لا يكون ثخنه منتظماً جداً.

هناك خيار آخر يتمثل في قياس الاهتزاز الحراري، أو الحركة البراونية، للكابول. ولقد بيّنت نانسي برنهام N.Burnham من معهد بوليتكنيك وُرسِسْتَر في الولايات المتحدة، (مع آخرين غيرها)، أنه يمكن قياس انحراف كابول مجهر AFM العائد للحد $1/2k_B T$ من الطاقة الحرارية التي يمتلكها، حيث يكون k_B ثابت بولتزمان و T درجة الحرارة. وبمقارنة متوسط انحراف الكابول العائد لحركته البراونية مع متوسط الطاقة الحرارية المتوقعة في هذا النمط الاهتزازي يعطينا عندئذ قيمة ما لثابت النابض. ولكن، لا تصلح هذه التقنية بشكل جيد بالنسبة للكوابيل القياسية نسبياً التي يهتم بها العديد في مجتمع المجهر AFM بصغر مطالها (سعتها) وصعوبة قياسها بدقة.

وثمة طريقة ثالثة لقياس ثابت النابض، وكان (كورنغور سو) Ch. Sow و(ديفيد غراير) D.Grier من جامعة شيكاغو عام 1996، قد عرضاها وتضمنت قياس انحراف الكابول استجابة لضغط الإشعاع من حزمة ليزرية. يحدث الانحراف بسبب التغير في اندفاع الفوتونات لدى انعكاسها عن الكابول. ويمكن بعدئذ حساب ثابت النابض بدلالة سرعة الضوء، شريطة أن يكون كل من شدة الإشعاع وطول موجته معلوماً. ولسوء الحظ، كي نحصل على عزم كاف يجب أن تتصف الحزمة بقدرة عالية إلى حد بعيد، الأمر الذي يمكن أن يُسخن الكابول إلى درجات حرارة غير مقبولة ما لم يكن الانعكاس على السطح تاماً تقريباً. وهذا يعني تغطية الشبيطة بطلاء عاكس ذي جودة عالية، وهو ما ثبت صعوبة إنتاجه، وإن كانت هذه المقاربة لاتزال واعدة إلى حد كبير.

وهناك طريقة رابعة تتمثل في استخدام شبيطة أخرى تدعى "الميزان النانوي nanobalance"، الذي يمكن حساب ثابت النابض الخاص به عن طريق قياس القوة الكهراكية اللازمة لرفع الميزان إلى ارتفاع محدد. ويمكن بعدئذ استخدام هذه الشبيطة لمعايرة المجهر AFM (انظر المؤطر أعلاه).

مداولة الإلكترونيات الفردي

لا تقتصر التحديات المهمة التي يواجهها المختصون بعلم القياس على القياسات الميكانيكية فقط، ففي الإلكترونيات يعني السعي للحصول على المعالجات processors المتكاملة القوية، أن المصنّعين يقللون باستمرار حجم القسّمات في الشبّات الإلكترونية، وبذلك يزيدون الدقة التي تتطلبها القياسات الكهربائية. وبالفعل فإن الترانزستورات التي تعمل باستخدام إلكترونيات فرادي يمكن أن تطرح في السوق في غضون عقد من الزمن أو نحو ذلك.

ورغم أن هذه التقنية تعمل بشكل جيد، لكنها لا تستطيع أن تولد سوى تيارات صغيرة جداً. فالطبيعة التي لا يمكن التنبؤ بها لعبور الإلكترونات عبوراً نفقياً تحد من التواتر التشغيلي إلى بضعة ميغا هرتز (الأمر الذي يساوي تياراً يبلغ بضعة بيكو أمبير). وهذه التيارات هي أصغر بكثير من أن تستخدم في طريقة مثلث التقييس بأي حساسية مفيدة. لكن المضخة، يمكن استخدامها لوضع كمية معلومة من الشحنة على مكثفة معايرة calibrated capacitor. هذا ويمكن قياس فولطية التيار المستمر DC على المكثفة بالنسبة لمعيار الفولطية، ويمكن النظر إلى هذه التجربة إما كتحقق غير مباشر لمثلث التقييس أو كمسلك إلى معيار كمومي للسعة.

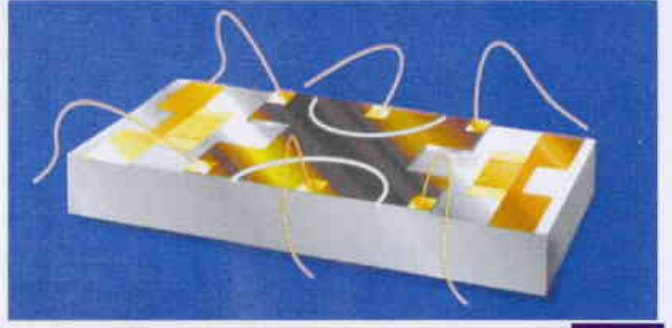
وتجرى اليوم دراسة طريقة بديلة لتعيين تيار ما بالمقياس النانومتري، وهي تعرف باسم SETSAW، ويقوم بهذه الدراسة جانسن J.T.Janssen وزملاؤه من المختبر الفيزيائي الوطني (NPL)، ومايك بيبر M.Pepper ومعاونوه في جامعة كامبريدج. ويتم فيها توليد الإلكترونات والتحكم بها بواسطة أمواج صوتية سطحية، وهي أمواج صوتية تنتشر على السطح في جسم ما (الشكل 3). عندما تنتقل موجة كهذه على ركازة كهروضغطية، فإن موجة كمون كهراكي تصبحها وتستطيع أن تتأثر مع إلكترونات في الركازة. ويمكن جعل كل دورة من موجة الصوت السطحية تسوق إلكترونات واحداً فقط من خلال تضيق عرضه نانومتر موضوع على السطح، فيسبب تياراً يساوي $I = ef$ ، حيث f هو تواتر الموجة. ولما كانت هذه التقنية تستطيع أن تعمل عند تواترات من مرتبة بضعة جيغا هرتز، فإنها يمكن أن تستعمل لتوليد تيار كمومي quantized بنانو أمبيرات بدلاً من بيكو أمبيرات. وهذا تيار يكفي للاستخدام في طريقة مثلث التقييس. ولكن في الوقت الراهن تكون النبيتة SETSAW، أقل دقة من النبايط SETTs لأن موجة الصوت السطحية لا تنقل دائماً إلكترونات واحداً عبر القنينة في كل دورة. إننا بحاجة إلى القيام بمزيد من الأبحاث كي نفهم جيداً آلية النقل ونجعلها أقرب ما تكون إلى الكمال وبذلك نطور معياراً قوياً لتيار كمومي يمكن الاعتماد عليه.

القياس في البيولوجيا

هناك مجال خصص للبحث لعلماء القياس النانوي يتمثل في كشف وتحديد هوية أنماط مختلفة من الجزيئات البيولوجية. يمكن أن يكون هذا مفيداً، على سبيل المثال، في الكشف المبكر للمرض أو للطب الشخصي الذي يستطيع الأفراد به أن يحددوا استعدادهم للأمراض أو كيف تكون استجاباتهم لمعالجات دوائية خاصة.

في السنوات القليلة الماضية، طور الباحثون بتصدهم أندرو غو A.gu من جامعة A&M بتكساس وهاغان بايلي H.Bayley من جامعة أكسفورد طريقة للتمييز بين فروق في أساس واحد لدى شرائط من الدنا تحوي 30 أساساً (أي ما يعادل 10 نانومتراً طولاً). ونشير

توليد تيار في النطاق النانوي



الشكل 3

نبيتة SETSAW، المصورة أعلاه، مصممة كي تسوق إلكترونات فردية عبر تضيق عرضة من رتبة النانومتر مستخدمة أمواج صوتية تنتشر على سطحها. ويأمل الفيزيائيون أن يستخدموا الإلكترونات الفردية كم توليدتها بهذه الطريقة كي ينفقوا معياراً كمومياً جديداً للتيار $I = ef$ ، حيث e هي شحنة الإلكترون و f هي تواتر الموجة الدائمة. ويمكن بعدئذٍ استخدام هذا المعيار لقياس التيارات السطحية التي يفترب، ان يتم إنتاجها في جيل جديد من نبايط إلكترونية صغيرة جداً.

التي تستطيع أن تنقل إلكترونات واحداً عبر دارة ما استجابة لكل دورة ذات تواتر سوق (f) ستولد تياراً $(I = ef)$ ، حيث e هي الشحنة على الإلكترون. ويمكن مقارنة القياسات الحاصلة باستخدام هذا التعريف، بالتقابل مع القياسات التي تستخدم المعايير الكمومية للفولطية (V)، والمقاومة (R)، من خلال قانون أوم ($V = IR$)، في اختبار ما يعرف غالباً باسم "مثلث التقييس metrological triangle".

وعلى الرغم من أن المعيار الكمومي للتيار بسيط جداً من حيث المفهوم، إلا أن تحقيقه يعدُّ تحدياً تقنياً. فالنبايط الإلكترونية التقليدية لا يمكن استخدامها لأنها تتضمن تدفقاً فوضوياً للعديد من الإلكترونات، ولكن ثمة نبايط عديدة واعدة تستطيع أن تحقق التحكم الدقيق في الإلكترونات المفردة. ويرد من المقاربات الرائدة في هذا الصدد، مقاربة ذكرها نيل زيمرمان N.Zimmerman ومارك كيلر M.Keller من المعهد الوطني للمعايير والتقانة (NIST) في الولايات المتحدة في أواخر التسعينيات من القرن الماضي، وهي تستخدم ترانزستور العبور النفقي للإلكترون الفرد single electron tunnelling transistor (SETT) transitor. وفي هذه النبيتة يتم فصل جزيرة صغيرة من الألمنيوم عن محيطها بحواجز نفقية (هي أنفاق) من أكسيد الألمنيوم يحتفظ بها عند درجة حرارة أقل من 100 mK. إن وجود إلكترون إضافي واحد على الجزيرة غير المشحونة يمنع الإلكترونات الأخرى من عبور الحواجز النفقية. ويمكن "ضخ" إلكترونات مفردة على طول سلسلة من ترانزستورات العبور النفقي للإلكترون (SETTs) إذا كانت الفولطية عبر كل جزيرة معدلة بشكل صحيح. ويتطبيق التابع الصحيح للإشارات إلى بوابات التحكم، يمكن تحريك إلكترون فرد عبر المضخة مع احتمال وقوع أخطاء قليلة جداً (وأعني إما فقدان الإلكترون أو نقل اثنين مصادفة).

بما يكفي لكشف الجزيئات عندما تكون موجودة بتركيز أقل من نانومول، بيد أن المحلول في هذه الحالة قريب من السطح، بحيث يخلق الضوء الوارد بلازمونات plasmons تهتز عبر سطح المعدن. وهذا بدوره يضخم حجم الإشارة التي تعرضت لها الجزيئة ويزيد كثيراً حجم الاستجابة. إن هذه التقنية هي أيضاً غير باضعة non-invasive، ويمكنها أن تعمل في الوقت الفعلي، ويمكن استخدامها لمشاهدة العمليات الديناميكية ويجب أن تكون قابلة للتطبيق على عدد عريض من المنظومات. كما يمكن استخدامها أيضاً لقياس الخواص الكيميائية لجزيئة منفردة.

المشاركة في نتائج علم القياس

هناك الكثير مما يمكن عمله في مجال القياس النانوي السُّلم، لأن مقدرتنا على صنع البناط تفوق في بعض الأحيان مقدرتنا على قياس ما كنا قد صنعناه. وبالإضافة إلى الأمثلة التي نوقشت هنا، ثمة أيضاً عمل يجري على علم القياس النانوي الكيميائي، مثال المسبار الذري الثلاثي الأبعاد 3D atom probe الذي طوره جودج سميث G.Smith وألفرد سيريزو A.Cerezo في أكسفورد والذي يستطيع أن يحدد تركيب وموضع ذرات معينة في عينة ما.

جاء في تقرير حديث عن التقانة النانوية صادر عن الجمعية الملكية والأكاديمية الملكية للهندسة في المملكة المتحدة مايلي: "لا تستطيع التقانات النانوية، مهما كان تعريفها، أن تتقدم بصورة مستقلة عن التقدم في علم القياس النانوي". وإذا ما أُريد تطوير صناعات لتصنيع سلع مبنية على تقانة نانوية بصورة ناجحة، فإنه من المهم بصورة حيوية أن يتاح البحث في القياس النانوي السُّلم أمام المصنعين المبتكرين. ويبقى هذا هو التحدي بالنسبة للناس العاملين في علم القياس السُّلم.

إلى أن الدنا يتألف من أربعة أسس هي: الأدينين (A) adinine، والثيمين (T) thymine، والغوانين (G) guanine، والسيتوزين (C) cytosine. ولما كانت A ترتبط دوماً مع T وترتبط G مع C، فإن كل شريط من الدنا DNA له شريط مضاهاة مميّز يتصل به ليشكل حلزوناً مضاعفاً double helix.

تتضمن التقنية التي طورها غو وبايلي وزملاؤهما إحداث فتحات في الأغشية الخلوية cell membranes تعرف بالثقوب النانوية nanopores، وهي تسمح للأيونات بأن تخرج من الخلايا وتولد تياراً قابلاً للقياس. ويضع الباحثون جزيئة حيوية في الثقب ويعرضونها لتشكيلة من جزيئات بيولوجية أخرى. فإذا ارتبطت الجزيئة خارج الثقب بإحدى الجزيئات في الداخل، يتوقف تدفق الأيونات. ونظراً لأن جزيئة معينة واحدة فقط تستطيع أن ترتبط بالجزيئة الموجودة في الثقب، فإن تيار الصفر Zero current يشير إلى وجود هذه الجزيئة.

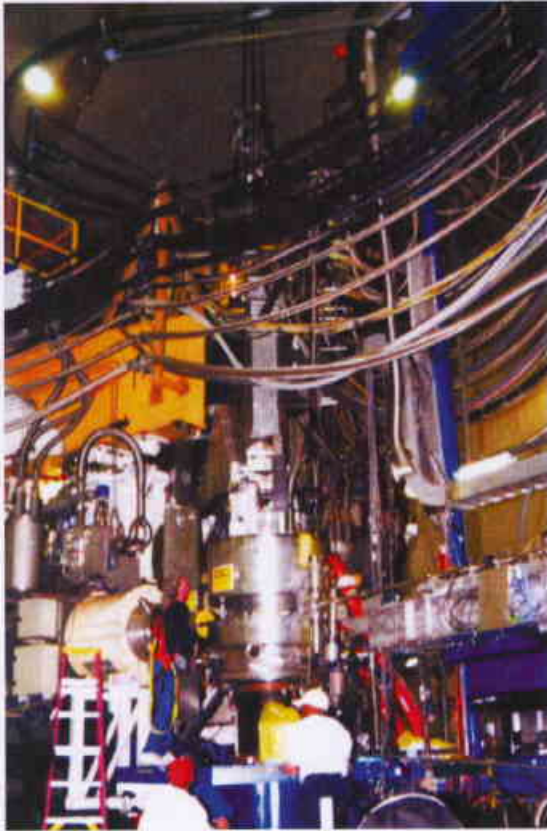
لأجل استنباط تسلسل الأسس في جزيئات دنا فرادي، يُدخل شريط مفرد من الدنا داخل الثقب ويُقيد فيه. فإذا ضاهت matched جزيئات الأساس لشريط حر من الدنا نظائرها التي تعود للشريط المقيد، فإن حلزوناً مضاعفاً من الدنا سوف يتشكل وسيُتوقف التيار. أما إذا لم يتضاه أيٌّ من الأسس (أي ينشئ أزواجاً pair)، فسيواصل التيار عندئذ جريانه. وفي الوقت الراهن، يمكن استخدام هذه التقنية فقط للكشف عن وجود أو غياب شريط معين من الدنا، لكنها تمتلك إمكانية تمييز كم من الأسس أنشأت أزواجاً ضمن طول معين من الدنا. فلو تزوجت كل الأسس، فعندها تحصل مضاهاة كاملة، أما إذا فشلت واحدة أو أكثر في التزاوج، فهذا يدل على وجود طفرة جينية (وراثية) genetic mutation في الدنا المطلوب دراسته. لقد استخدمت هذه التقنية للكشف عن طفرة جينة أنزيم "الناسخة العكسية" reverse transcriptase لفيروس HIV التي تسمح للفيروس بأن يصبح مقاوماً لبعض العقاقير. وخلافاً لتقنيات الكشف الأخرى، لا تحتاج الجزيئات الحرة أن تُعدّل كيميائياً أو تُضخَّم قبل الكشف - وهي عمليات تُعرف بأنها تقدّم طفرات إضافية قد تحجب الطفرة المعنية ذات الشأن.

هناك تعاون قائم بين الكلية الملكية (أمبيريال كولج) بلندن وNPL (بقيادة ليزلي كوهن L.Cohen ومارتن ميلتون M.Milton) يأخذ منحى مختلفاً للكشف عن الجزيئات الفردية، ويعمل على تطوير تقنية تعرف باسم مطيافية رامان المعززة سطحياً surface-enhanced Raman spectroscopy. وتتضمن هذه التقنية وضع جزيئة بيولوجية في محلول من غروانيات الفضة وتقريب المحلول من سطح معدني خشن. وتُسلط في مطيافية رامان العادية حزمة الليزر على عينة فتعطي خطوط الامتصاص في الحزمة المنعكسة "بصمة كيميائية" لأي جزيئة خاصة. وفي العادة تكون هذه التقنية غير حساسة

المؤلفون: بن شيريدان - بيتر كامبسون ومارك بيبي، من المختبر الفيزيائي الوطني بتدنكتون بالمملكة المتحدة.

- نشر هذا المقال في مجلة Physics World, August 2005.

وتمت ترجمته في هيئة الطاقة الذرية السورية.



قوى الطبيعة، تقيس التجربة HAPPEX في JLAB القوة الضعيفة بين الإلكترونات والبروتونات.

أحداث غريبة في البروتون

كريشنا كومار

عضو في تعاون ماينكس HAPPEX ومقره جامعة ناسا تشوستن في أميزست، الولايات المتحدة

ملخص

توحي القياسات الدقيقة للقوة الضعيفة أن للكواركات الغريبة تأثيراً على العزم المغنطيسي للبروتون.

الكلمات المفتاحية

القوة الضعيفة، الكوارك الغريب، السبين.

جمع سبينات كواركاته الأصلية (والتي لها الكبر 1/2 مقدرة بواحدات ثابتة بلانك). فقد وجد الباحثون، عوضاً عن ذلك، أن مساهمة الكواركات الفوقانية والتحتانية تقل عن 25% في سبين البروتون (والذي له الكبر 1/2 أيضاً).

كان يُظن لمدة طويلة أن وجود الكواركات الغريبة داخل البروتون يمكن أن يفسر "أزمة السبين" هذه. فهذه الكواركات، التي هي أثقل من الكواركات الفوقانية والتحتانية، تُرصد عادة فقط في الأشعة الكونية العالية الطاقة أو في مسرّعات الجسيمات، وليس في النوى العادية التي تُؤلّف العالم من حولنا. لكن القوة التي تُبقي الكواركات متماسكة بعضها مع بعض داخل البروتونات والجسيمات الأخرى تكون كبيرة إلى درجة يتبع فيها مبدأ الارتياح ظهور "أزواج كواركات - كواركات مضادة" بشكل تلقائي من الخلاء ثم اختفائها بعد زمن قصير.

والسؤال هو هل تساهم "كواركات البحر sea quarks" السريعة الزوال هذه في خواص البروتون المرصودة، مثل كتلته وشحنته وسبينه وعزمه المغنطيسي؟ ويبدو أن سلسلة من النتائج التجريبية، صدرت عن مخبر جيفرسون في الولايات المتحدة، أصبحت الآن قادرة على تقديم جواب نهائي لهذا السؤال.

من المعلوم جيداً أن النوى الذرية، التي تتألف منها المادة المرئية في الكون، مؤلفة من بروتونات ونيوترونات. ولكن مم تتألف البروتونات والنيوترونات؟ الجواب البسيط هو أنها تتألف من كواركات فوقانية وتحتانية تتربط بواسطة القوة النووية الشديدة: فالبروتون يحتوي على كواركين فوقانيين وكوارك تحتاني بينما يحتوي النيوترون على كواركين تحتانيين وكوارك فوقاني.

شحنة الكوارك الفوقاني 2/3+ وشحنة الكوارك التحتاني 1/3- ولهذا السبب تكون النيوترونات معتدلة ويكون للبروتونات شحنة +1 (حين ترى من مسافة بعيدة بعداً كافياً). لكن الرياضيات فيما يخص الخواص الأخرى للبروتونات والنيوترونات ليست بسيطة إلى هذا الحد. فعلى سبيل المثال تكون كتلة البروتون السكونية أكبر بعشر مرات من مجموع الكتل المجتمعة للكواركين الفوقانيين والكوارك التحتاني، ويأتي الباقي من الكتلة المصاحبة لطاقة الروابط التي تربط الكواركات بعضها مع بعض.

وقد أظهرت التجارب التي أجراها التعاون الميوني Muon Collaboration الأوروبي في الثمانينيات في مركز سيرن CERN أن سبين البروتون (بمعنى عزمه الزاوي الذاتي) لا يمكن تفسيره بمجرد

ارتباك

المرآة التجريبية

تستند أحدث قياسات التأثير اللامتناظر asymmetric interaction بين الإلكترونات والكواركات إلى تقنية التبعثر الإلكتروني التي كان الباحثون في مركز مسرع ستانفورد الخطي في كاليفورنيا روادها منذ 30 عاماً مضى. إذ يقال عن الإلكترونات إنها يمينية إذا اصطفت مع اتجاه سبيناتها في منحى حركتها نفسه ويقال عنها إنها يسارية إذا توجهت في الاتجاه المعاكس، ولذلك ينبغي أن نحصل على نتائج مختلفة اختلافاً طفيفاً حينما نبعث إلكترونات يمينية ويسارية عن الهدف نفسه، ويمكن التحدي في قياس هذا الفرق بدقة من مرتبة عشرات الأجزاء من المليون، وهذا يتطلب تعاوناً كبيراً بين الفيزيائيين الذين يشغلون المسرع وأولئك العاملين على المكشاف.

ومنذ بداية التسعينيات من القرن المنصرم تمكنت أربع تجارب من إجراء مثل هذه القياسات: وهي التجربة G0 والتجربة HAPPEX في مختبر جيفرسون (JLAB) في الولايات المتحدة، والتجربة SAMPLE في مختبر MIT-Bates في الولايات المتحدة أيضاً. والتجربة A4 في جامعة مينتنس Mainz في ألمانيا. وقد تبنت كل من هذه التجارب استراتيجية مختلفة بعض الشيء سواء من حيث الأجهزة أو من حيث تقنية القياس، لكن كلاً منها يستطيع، بصورة حاسمة، سبر القوة الضعيفة عند سلالم مسافة وزوايا تبعثر مختلفة. وهذا التعدد الوفير ذو أهمية بالغة لأنه من غير المعروف مسبقاً أية سلالم مسافة هي الأكثر حساسية للكوارك الغريب ذي الأهمية الكبيرة.

لكن لهذه التجارب عدة صفات مشتركة فيما بينها. فعلى سبيل المثال، يتأى نشوء نبضات الإلكترونات بواسطة شريحة نصف ناقلة مضاءة بضوء ليزر مستقطب دائرياً. وبما أن الإلكترونات تجري ترقيتها إلى عصابات طاقة معينة تختلف حسب يدوية handedness (استقطاب) فوتونات الليزر، فإن نبضات مؤلفة بصورة أساسية من إلكترونات مياسرة أو ميامنة تنطلق من الشريحة. وبما أنه يمكن قلب الاستقطاب من 10 إلى 100 مرة في كل ثانية، فإن بإمكان فيزيائي المسرع أن يغيروا يدوية الحزمة الإلكترونية بسرعة كبيرة قبل أن تتسرع باتجاه هدف الهدروجين. ولهذا أهميته لأنه يلزم، للوصول إلى الدقة الإحصائية المطلوبة، رصد نحو 1014 إلكترونات متبعثراً.

تشير النتائج الأولى من التجريبتين SAMPLE و HAPPEX اللتين أجريتا في أواخر التسعينيات من القرن الفائت إلى أن إسهام الكواركات الغريبة في توزيعات شحنة البروتون وتياره كانت صغيرة -وربما تكون صفراً. وقد قاست التجربة SAMPLE لدى سبر سلالم طول قصيرة تبلغ 0.6 فمتومتر (10^{-15} m) وهذا تقريباً هو قطر البروتون، لا تناظراً يبلغ 5.6 ± 1.1 جزءاً من المليون (ppm) مقارنة بالتنبؤ الكهروضعيف (الذي لا يحتوي على كواركات غريبة) البالغ 6.8 ppm- عند تلك المسافة. وبالمقابل، وجدت التجربة HAPPEX قيمة مقدارها 15 ± 1.1 جزءاً من المليون لدى سبر سلالم طول قصيرة

من حيث المبدأ، إن الأزواج "كواركات-كواركات مضادة"، التي تظهر وتختفي ولا تدوم سوى فترة وجيزة جداً داخل البروتون، يمكن أن تكون من أي ضرب من ضروب الكواركات الستة المعروفة: فوقانية، تحتانية، غريبة، فائنة، قاعية، علوية. ولكن الكواركات الأثقل، وهي الفائنة والقاعية والعلوية، يكون احتمال تولدها أقل من الكواركات الأخرى الأخف منها. ولذلك يلزمنا أن نعرف مقدار إسهام كل ضرب من هذه الضروب في خاصية معينة من خواص البروتون.

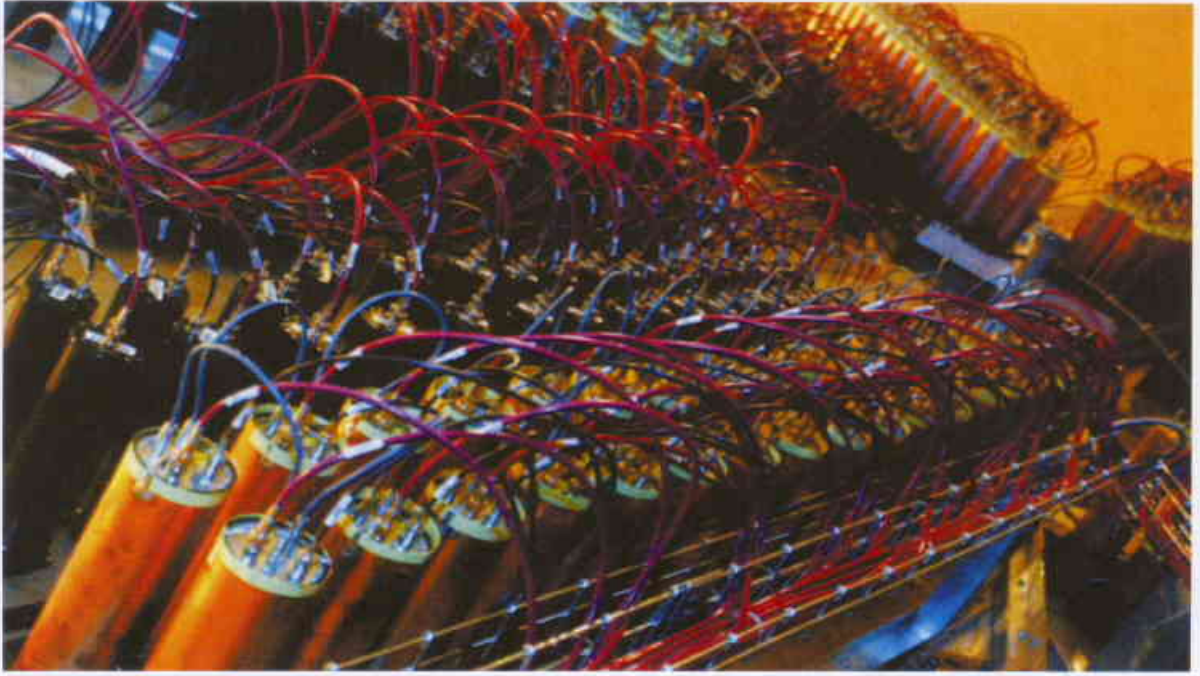
وإحدى طرق القيام بذلك تتمثل في جعل الإلكترونات العالية الطاقة تتبعثر عن هدف ساكن مكون من الهدروجين والديتريوم، وهذا يتيح تحديد توزع الشحنة والتيار الكهروضعيف داخل البروتونات والنترونات. وقد مُنح زوبرت هوفستادتر R. Hofstadter جائزة نوبل في الفيزياء للعام 1961 لقاء استخدامه هذه التقنية لإثبات أن البروتون ليس جسيماً نقطياً.

لكن معرفة توزع الشحنة الكهروضعيفية للبروتون والنترون لوحدها لا تكفي للتمييز بين إسهامات الكواركات الفوقانية والتحتانية والغريبة. فلو لم يكن هناك سوى ضربين من الكواركات تهيمن في البروتون، كما يفترض موديل الكواركات، لتمكنا من استثمار حقيقة كون البروتونات والنترونات تحوي أعداداً مختلفة من الكواركات الفوقانية والتحتانية. لكن، وحيث أننا يجب أن نحدد إسهامات ثلاثة ضروب كواركية، فإننا نحتاج إلى إجراء قياس واحد على الأقل.

لقد اقترح في الثمانينيات من القرن الماضي إمكان تحقيق ذلك بواسطة قياس القوة الضعيفة بين إلكترون وبروتون الأمر الذي يتم عن طريق تبادل بوزون Z^0 - تماماً مثلما تتضمن القوة الكهروضعيفية تبادل فوتون. ومثلما تمتلك جميع الكواركات شحنة كهربائية تحدد قوة تآثراتها الكهروضعيفية، فإنها تمتلك كذلك شحنة ضعيفة تحدد كيف تتأثر بالقوة الضعيفة، ونستطيع باستخدام النظرية الكهروضعيفة electroweak أن نقارن بين توزعي الشحنة الضعيفة والشحنة الكهربائية في البروتون، وهذا يتيح لنا حساب القوة النسبية لكل من الشحنتين الضعيفة والكهربائية لكل ضرب من ضروب الكواركات.

ولكن قياس القوة الضعيفة بين إلكترون وبروتون يتطلب حساسية تجريبية استثنائية لأن القوة الكهروضعيفية تكون أكثر بمليون مرة عند المسافات المتضمنة. ولكي يستخلص التجريبيون الإسهام الضئيل للتأثر الضعيف فإنهم يستثمرون فرقاً أساسياً بين هاتين القوتين: فالقوة الكهروضعيفية متناظرة مرآتياً بينما القوة الضعيفة ليست كذلك. وهذا يعني أننا إذا قسنا القوة الكلية بين إلكترون وكوارك ثم أجرينا تجربة الخيال في المرآة (التي يستبدل فيها اليمين باليسار واليسار باليمين) فإننا نحصل على نتيجتين مختلفتين اختلافاً طفيفاً.

تشير نتائج
التجربة G0
في JLAB إلى
أن الكواركات
الغريبة تساهم في
خواص البروتون
الكهرمغناطيسية.



فيها أن للكواركات الغريبة دوراً في تعيين خواص البروتون. أما عندما ينظر إلى النتائج كلها بصورة إجمالية فإن نموذجاً متسقاً يبرز فعلاً.

تشير البيانات المجتمعة من التجارب الأربع كلها عند سلم الأطوال 0.6 fm إلى أن مساهمة الكواركات الغريبة في توزيع الشحنة الكهربائية هي مساهمة صغيرة أو يمكن إهمالها. ومن ناحية أخرى، فإن الإسهام في توزيع التيار يبدو إسهاماً ذا شأن. ونشير إلى أن احتمال أن يكون هذا ضربة حظ إحصائية لا يتجاوز عدة أجزاء في المئة، وهناك قياسات جديدة تجري في JLAB وفي Mainz لتخفيض الارتياحات التجريبية.

ويمكن أن تعني هذه النتائج ضمناً إذا ما تأكدت، أن الكواركات الغريبة تنشئ تياراً يساهم في العزم المغناطيسي للبروتون. وحالما يعرف إسهام الكوارك الغريب بدقة أكبر، فإن النظريين لا بد أن يكونوا قادرين على بناء صورة رياضياتية متسقة لبنية البروتون عبر تضمين الكواركات الغريبة في المحاكاة الحاسوبية للكروموديناميك الكمي (QCD) الذي هو نظرية القوة الشديدة. فإذا اتفقت نتائج التجارب والمحاكاة، فإن هذا العمل سيمثل فتحاً أساسياً في جهودنا الرامية إلى فهم العلاقة بين موديل الكواركات الأساسي والنظرية الكاملة، وسيصف الخواص النووية جميعها في نظرية أساسية واحدة.

تبلغ 0.3 fm مقارنة بالقيمة المتنبأ بها (التي تبلغ 15.8 ppm-). وبعد ذلك سرعان ما أعلن الباحثون العاملون في التجربة A4 عن نتيجة مشابهة عند سلم طول يبلغ 0.4 fm.

إلا أن فريق التجربة A4 كرر قياساته في العام 2004 عند 0.6 fm ووجد شيئاً مختلفاً: فقد بدا كما لو أن الكواركات الغريبة تساهم بالفعل في توزيع شحنة البروتون وتياره، مع أن النتيجة كانت منسجمة أيضاً مع النتيجة صفر عند مستوى الثقة 95%.

وفي وقت مبكر من هذا العام، قام الباحثون العاملون على التجربة HAPPEX، بمن فهم مؤلف هذا المقال، بإجراء مجموعة ثانية من القياسات عند 0.6 fm باستخدام أهداف من الهدروجين والهليوم. وقد قدم التناظر المحسوب باستخدام هدف من الهليوم معلومات جديدة هامة، لأن نواة الهليوم تتألف من بروتونين ونيوترونين نوي سبينات متعاكسة الاتجاه، مما يعني أنهما ليسا نوي توزيع تيار صاف. ولذلك، فإن قياس الهليوم حساس لتوزيع الشحنة فقط، بينما قياس الهدروجين حساس لتوزيع الشحنة وتوزيع التيار كليهما. هذا، ولم نجد إسهاماً ذا شأن من الكواركات الغريبة في أي من تجارب الهدروجين أو الهليوم. ولكن الباحثين الذين عملوا في التجربة G0 التي تستطيع قياس القوة الضعيفة على سلالم طول بين 0.2 fm و 0.6 fm - نشروا مؤخراً نتائج (باستخدام هدف هيدروجين) تشير إلى وجود مساهمة ذات شأن لتوزيع الكواركات الغريبة.

النتيجة الإجمالية

نشر هذا المقال في مجلة Physics World, September 2005. وتمت ترجمته في هيئة الطاقة الذرية السورية.

يقيد كل قياس من قياسات القوة الضعيفة لوحده توزيع الكواركات الغريبة داخل البروتون تقييداً شديداً، ولكنه لا يبرهن بصورة لا لبس

تحتفل أيرلندا هذه السنة بالذكرى المئوية الثانية لعالم الرياضيات ويليام رومان هاملتون William Rowan Hamilton، الذي يُذكر بشكل رئيسي لأجل "الكواترنيونات quaternions" ولأجل عمله الرائد في مجالي علم الضوء وعلم التحريك (الديناميك).



صورة عبقرى - هذه الصورة لويليام رومان هاملتون مُعلّقة في الأكاديمية الملكية الأيرلندية.

ويليام رومان هاملتون:

عبقري في الرياضيات

بقلم: ديفيد آر ويلكينز

محاضر في الرياضيات لدى كلية ترينيتي، دبلن، أيرلندا

الهند الشرقية. ولكن حين كبر عمه جيمس سعى لضمان تركيز اهتمام هاملتون على اللغتين الكلاسيكيتين: اللاتينية واليونانية، اللتين كانتا تشكلان الجزء الرئيسي في منهاج كلية ترينيتي في مدينة دبلن.

وبينما كانت تتم تهيئة هاملتون للدخول إلى كلية ترينيتي حيث كان من المتوقع له أن يتفوق، كان الزملاء والأساتذة في الكلية يهيئون لتحديث تدريس الرياضيات فيها عن طريق إدخال كتب فرنسية في المنهاج وترجمة بعض هذه الكتب إلى اللغة الإنكليزية وكتابة موادهم الخاصة بهم. وحين بلغ هاملتون السنة السادسة عشرة من عمره، أدرك عمه بوضوح أنه كان على ويليام أن يتفوق في كل من الرياضيات والكلاسيكيات في الكلية، فأعطاه نسخة من كتاب ألفه بارثولوميو لويد B. Lloyd أستاذ الرياضيات في ترينيتي.

أثار هذا الكتاب اهتمام هاملتون بالرياضيات، وعلى الفور شرع بدراسة الكتب والمقالات الفرنسية المعاصرة المتعلقة بهذا الموضوع، بما في ذلك الأعمال الرئيسية للعالمين لاغرانج Lagrange ولاپلاس Laplace، وبالفعل وجد هاملتون خطأً في أحد براهين لاپلاس صححه ببرهان خاص به، وكذلك بدأ يتولى بحثاً خاصاً في الرياضيات. وقد وصلت ثمار أبحاثه مسامع جون برينكلي J. Brinkley الذي كان حينذاك عالم الفلك الملكي في أيرلندا، فشجع هاملتون على دراساته

ولد ويليام رومان هاملتون W. R. Hamilton في مدينة دبلن عند منتصف الليل بين الثالث والرابع من آب من العام 1805. كان والده أرشيبالد هاملتون محامياً وكانت والدته سارة وكنيتها قبل الزواج Hutton من عائلة اشتهرت في بناء هياكل العربات في مدينة دبلن. وقبل عيد ميلاده الثالث أرسل ويليام للعيش مع عمه جيمس هاملتون الذي كان قسيساً في كنيسة أيرلندا وراعياً لأبرشية تريم في مقاطعة ميث Meath. ونظراً لكون جيمس مسؤولاً عن مدرسة الأبرشية فقد تولى مسؤولية تعليم ابن أخيه الصغير.

أظهر ويليام استعداداً مدهشاً لتعلم اللغات، ففي حوالي سن الخامسة كان قد أحرز تقدماً جيداً في تعلم اللغات اللاتينية واليونانية والعبرية. وقبل إتمامه الثانية عشرة من عمره كان قد وسّع دراساته لتشمل اللغات الفرنسية والإيطالية والعربية والسريانية والفارسية والسنسكريتية. وبشكل خاص تركّز اهتمامه على اللغات السامية مثل العبرية والسريانية والعربية بسبب النصوص الإنجيلية القديمة الكثيرة المكتوبة بهذه اللغات. وعلى الدوام كان الدين مهماً في حياة هاملتون وعائلته، بالرغم من أنه لم تكن أبداً لدى هاملتون نفسه أية رغبة في أن يتلقّى أوامر مقدسة.

وحينما كان صبيّاً قضى هاملتون بعض الوقت في دراسة اللغات الهندية لأن عائلته كانت تظن أنه قد توجد له فرصة عمل لدى شركة

بالشكل الذي كانت عليه، فقد شُجّع هاملتون على تطوير وتوسيع أفكاره وطرائقه. وهذا ما فعله، إذ قدّم إلى الأكاديمية ورقة علمية جوهرية بعنوان "نظرية منظومات الأشعة" Theory of systems of rays، وقد نُشر الجزء الأول من هذه الورقة العلمية في العام 1828 وهو العام التالي لتخرج هاملتون.

لقد شجعت قدرات هاملتون الرياضياتية الواضحة على تعيينه من قِبَل الكلية لشغل منصب أستاذ كرسي أندرو في الفلك وذلك في العام 1827، الأمر الذي حمل معه لقب عالم فلك ملكي في أيرلندا. وبعد ذلك أصبح منزل هاملتون في المرصد في مدينة دانسينك التي تبعد حوالي خمسة أميال عن مركز مدينة دبلن. هذا وقد كان من ضمن المرشحين الذين لم ينجحوا في التعيين بهذا المنصب جورج بيديل آيري (الذي عُين لاحقاً في منصب عالم فلك ملكي) وعدد من الزملاء الخبراء في الكلية. ولسوء الحظ، لم يتم إنجاز أي عمل فلكي ذي أهمية في المرصد في زمن هاملتون بسبب التجهيزات العتيقة وبرنامج المراقبة غير المناسب، الذي أُعدّ قبلاً بعقود والذي كان يُشترط لتنفيذه بشكل قانوني قيام عالم فلك ملكي بالمهمة.

وعوضاً عن ذلك ركز هاملتون مواهبه على أبحاثه الرياضياتية. ففي ورقته العلمية للعام 1828 قام بدراسة مفصلة عن البؤر foci والصور التي تتولد بانعكاس الضوء عن المرايا المقوّسة. لقد درس زيغانات الصور التي يولدها الانعكاس. وباستخدامه الطرائق التحليلية التي سبق له أن تعلمها من دراسته للعالم لإبلانس، أجرى تحريماً متقناً لسدة الضوء النسبية على طول سطوح السطوع "الكاوية" التي تنشأ حينما ينعكس الضوء عن مرآة مقوّسة.

نشر هاملتون ثلاثة ملاحق لورقته الأصلية. وفي الملحقين الأولين قام بتطبيق طرائقه لمعالجة انكسار الضوء عند الحدود بين الأوساط المتناحية isotropic. وفي ملحقه الثالث المشهور تم تعميم هذه الطرائق لتشمل الأوساط للامتناحية anisotropic، حيث تكون سرعة الضوء معتمدة على اتجاه سيره في الوسط. وقد أظهر هاملتون بشكل خاص أن أي منظومة ضوئية يمكن وصفها "بدلالة مميزة" معينة. ففي نظرية الضوء الموجية تقيس هذه الدلالة function الزمن الذي يستغرقه الضوء للوصول من نقطة إلى أخرى وتعتمد على إحداثيات هاتين النقطتين. لقد بين هاملتون أنه إذا عُرف شكل هذه الدلالة المميزة فإن جميع الخواص الضوئية المهمة للمنظومة يمكن التعبير عنها على أساس هذه الدلالة ومشتقاتها الجزئية.

الانكسار المخروطي

حينما قدم هاملتون الملحق الثالث إلى الأكاديمية الملكية الأيرلندية في شهر تشرين الأول للعام 1832 تقدم بنبوءة مدهشة تتعلق بالطريقة التي تؤثر بها بلورات معينة على مسار الضوء. وفي بداية القرن التاسع عشر استحسن معظم العلماء الفيزيائيين نظرية إسحق نيوتن المتعلقة باعتباره الضوء دقوقاً streams من

ووجّه له دعوة مفتوحة إلى مائدة إفطار في المرصد في كلية ترينيتي في دانسينك في أي وقت يشاء.

التحريات الضوئية

أحرز هاملتون المرتبة الأولى في امتحان الدخول إلى كلية ترينيتي وبدأ دراساته هناك في العام 1823. وكان تقدمه الأكاديمي استثنائياً كطالب دراسات جامعية أولى. ولم يتفوق عليه أي طالب آخر في أي امتحان. وحصل على درجة "optime" (وهي امتياز نادراً ما كان يُمنح) في اللغة اللاتينية في سنته الأولى. وبعد سنتين حصل على درجة "optime" أخرى ولكن في الفيزياء الرياضياتية هذه المرة. ومع ذلك وجد أن الدراسة المكثفة المطلوبة لإحراز مثل هذه الامتيازات تزيد إزعاجاً لأنها تمنحه وقتاً أقل لمتابعة اهتماماته المتنامية في العلوم والرياضيات.

كان هاملتون في ذلك الوقت يجري دراسة مكثفة لمبادئ "Principia" نيوتن، وكان يقوم بأبحاث رياضية أصلية ومعقدة إلى حد كبير في علم الضوء optics. لقد كان يستخدم إلى الحد الأقصى طرائق الحساب calculus والهندسة التفاضلية اللتين قد تطوّرتا في فرنسا على مدى الخمسين سنة السابقة. وقد ظن هاملتون في البداية أنه كان عالم الرياضيات الأول الذي طبّق هذه الطرائق على دراسة المشاكل الضوئية. لكن في أحد الأيام أخذه مرشده في الكلية إلى مكتبة الكلية وأطلعته على ورقة علمية في علم الضوء أعدها عالم الرياضيات الفرنسي إيتين لويس مالوس. كان تاريخ هذه الورقة يعود إلى عام 1807 وتبين أن مالوس سبق له أن اكتشف هذه النتائج.

وفي العام 1824 حينما بلغ عمره 19 عاماً فقط قدم هاملتون ورقة علمية في علم الضوء إلى الأكاديمية الملكية الأيرلندية للنشر في مجلتها المسماة "Transactions" وبالرغم من أن الورقة لم تُقبل



عُين هاملتون بمنصب عالم الفلك الملكي في أيرلندا وهو بعمر الثانية والعشرين، مما خوله العيش في مرصد دانسينك قرب مدينة دبلن حيث بقي حتى نهاية حياته.



لقد كان عند عبوره هذا الجسر، الموجود حالياً في ضواحي دبلن، حيث فكر هاملتون للمرة الأولى بالأرقام الممتدة المكونة من أربع خانات المعروفة بالكواترنيونات وهناك لوحة مشوهة حالياً بشكل قليل تحيي هذه الحادثة

لنظرية فرسئل. ونشير إلى أن هذا السطح يُمثل موقع الضوء الذي انتشر من نقطة منبع ما ضمن البلورة في فترة محددة من الزمن. وعلى أساس نظرية الضوء العامة الممتازة التي أوجدها في ملحقه الثالث، تنبأ هاملتون أن الخواص الهندسية للسطح يجب أن تكون لها نتيجتان فيزيائيتان مدهشتان. الأولى: سينكسر الضوء غير المستقطب الوارد إلى بلورة ثنائية المحور بزوايا معينة ليشكل مخروطاً مجوفاً من الأشعة، وسيخرج هذا الضوء بعد ذلك من البلورة على شكل أسطوانة مجوفة. الثانية: ستتكسر أشعة الضوء السائرة في اتجاهات معينة ضمن البلورة لتشكّل مخروطاً مجوفاً من الأشعة. وتعرف هاتان الظاهرتان بالانكسار المخروطي "الداخلي" و"الخارجي" على التوالي.

طلب هاملتون من زميله همفري لويد الذي كان حينذاك أستاذاً للفلسفة الطبيعية في كلية ترينيتي أن يتحقق من ذلك التنبؤ تجريبياً. وهنا واجه لويد في البداية بعض الصعوبة في الحصول على بلورة ذات حجم ونقاوة كافيين، ولكنه في غضون شهرين أظهر أن الانكسار المخروطي يُمثل مفعولاً حقيقياً. وقد أثار هذا العمل اهتماماً ملحوظاً في الأوساط العلمية لأنها كانت المرة الأولى التي يتم فيها التنبؤ بظاهرة فيزيائية من خلال التحليل الرياضي وأعقبها التحقق من ذلك بالتجربة. وكان ثمة نظير لذلك برز في القرن العشرين وتمثل في اكتشاف البوزترون الذي تنبأ به بول ديراك بالاعتماد على معادلته الموجية التناسبية فيما يخص الإلكترون. وقد قدم اكتشاف الانكسار المخروطي الكثير من الدعم للنظرية الموجية الضوئية منذ تم التنبؤ على أساس نظرية فرسئل.

الديناميك والكواترنونات

نشر هاملتون في العامين 1834 و1835 ورقتين علميتين رئيسيتين في مجال الديناميك (علم التحريك) وذلك في محاضر الجمعية الملكية "Philosophical Transactions of the Royal Society". وقد تناولت الورقة الأولى الطرائق التي طورها في بحوثه الضوئية التي كَتَبها لدراسة المنظومات التحريكية باستخدام دلالة function مميزة نظرية

"الجسيمات" تحكمها القوانين التحريكية (الديناميكية). ولم يتقبلوا نظرية الضوء الموجية المنافسة التي سبق أن تنبأها في الأصل عدد من العلماء في القرن السابع عشر، ولا سيما كريستيان هيوجين. هذا وقد استخدم هاملتون النظرية الموجية لشرح سبب انكسار شعاع الضوء غير المستقطب الذي يدخل بلورة ما أحادية المحور uniaxial (مثل بلورة السَّبَّارِ الأيسلندي) ويغادرها بشكل شعاعين يكون كل منهما مستقطباً خطياً.

وطوال القرن الثامن عشر تم على نطاق واسع تجاهل النظرية الموجية لكونها لا تشرح على ما يبدو ظواهر مثل الاستقطاب. وتمثلت المشكلة في أنها افترضت أن الأمواج الضوئية - على غرار الأمواج الصوتية - تكون طولانية بحتة. ولكن في بداية القرن التاسع عشر انتعش الدعم لهذه النظرية على يد توماس يونغ الذي أدرك أن ظاهرة الاستقطاب يمكن تفسيرها بالشكل الأمثل إذا كان للضوء مكونٌ عرضيٌّ وآخر طولاني. هذا وقد شجع عالماً ومهندساً فرنسياً، شابا (هو أوغستين فرسئل على تطوير نظرية مستقيضة لانتشار الضوء على أساس كون الضوء اهتزازات عرضانية بحتة لجسيمات أثير ether particles بالغة الصغر داخل كل صدر موجة.

وُجِدَت هذه النظرية لا لتفسير خواص البلورات الأحادية المحور فقط، بل لتفسير البلورات الثنائية المحور أيضاً، مثل الأراغونيت الذي اكتشف صفاته الضوئية ديفيد بروستر قبل ذلك بعدة سنوات. ولهذه البلورات محوران ضوئيان في حين أن للبلورات الأحادية المحور محوراً ضوئياً واحداً فقط. ونشير إلى أنه (يمكن استقطاب الضوء الذي يسير وفق محور ضوئي ما خطياً إذا كان الحقل المغنطيسي يتجه في اتجاه متعامد مع الشعاع. أما بالنسبة للضوء الذي يسير في أي اتجاه آخر فإن الحقل المغنطيسي لا يتجه إلا في واحد فقط من الاتجاهين المحددين، اللذين يشكلان زاويتين قائمتين فيما بينهما ومع الشعاع).

وفي خريف عام 1832 أجرى هاملتون تحليلاً رياضياتياً لسطح الموجة الذي يوصف انتشار الضوء في بلورة ثنائية المحور وفقاً



تلك التي أدخلها لدراسة المنظومات الضوئية. أما الورقة الثانية فقد عرضت طرائقه بشكل أكثر دقة وصقلاً واستهلت ثورة في الدراسة الرياضياتية للديناميك.

فحص هاملتون نشوء منظومة تحريكية "محافظة" (منظومة تشبه المنظومة الشمسية التي تراعي المحافظة على الطاقة) ووجد أنها تتقرر بدلالة رئيسة principal function مرافقة. وتعتمد هذه الدلالة على الزمن الذي تستغرقه المنظومة للتطور من بؤيان إلى آخر وعلى متغيرات مثل الأطوال والزوايا التي تحدد الأشكال الأولية والنهائية. فإذا كان الشكل الدقيق لهذه الدلالة المميزة معروفاً، يمكن عند ذلك للمرء أن يكتب معادلات تُقرر نشوء المنظومة بدون الحاجة إلى حل أية معادلات تفاضلية.

وكذلك قدم هاملتون في هذه الورقة معادلات حركة منظومة ديناميكية محافظة بصيغة رائعة. ومع تطور علم الرياضيات، تبين أنه يمكن عرض العديد من منظومات المعادلات التفاضلية بالشكل الهاملتوني نفسه كما يمكن دراستها باستخدام الطرائق التي أوجدها هاملتون وخلفاؤه.

لقد انصبَّ اهتمام هاملتون الكبير الآخر على العلاقة الوثيقة بين علم جبر الأرقام المعقدة وعلم الهندسة، الأمر الذي استكشفه جان - روبرت أراغاند وعدد من علماء الرياضيات في بداية القرن التاسع عشر. وكما يعرف جميع الفيزيائيين فإنه يمكن لعدد معقد على شكل $z = x + yi$ (حيث $i = \sqrt{-1}$) أن يتمثل بالنقطة (x, y) على مستو ديكارتي. وبالعكس فإن أي نقطة على هذا المستوي يمكن أن تتمثل بعدد معقد، بينما يمكن تمثيل أي تجميع لترجمات وفتلات rotations وإضافات للمستوي بوساطة دلالة ترسل أي رقم معقد z إلى $(az+b)$ حيث يكون a و b أعداداً معقدة تكون ثوابت constants مستقلة عن z .

واستلهاماً من الصلة بين الأعداد المعقدة والسطح الهندسي، حاول هاملتون وآخرون التوصل إلى علم جبر للأرقام المعقدة يحمل العلاقة نفسها بهندسة ثلاثية الأبعاد. وبدا من الطبيعي افتراض أن عناصر مثل علم الجبر هذا يمكن تمثيله بثلاثيات triplets من الصيغة (x, y, z) . وعلى مدى أكثر من 13 سنة حاول هاملتون بناء علم جبر ثلاثي مقبول ينتمي إلى الهندسة الثلاثية البعد. وانتهى سعيه بأسلوب غير متوقع وذلك بتاريخ 16 تشرين الأول 1843 بينما كان يسير مع زوجته هيلين على طول ممشى قوارب القناة الملكية قرب دبلن في طريقه لحضور اجتماع مجلس الأكاديمية الملكية الأيرلندية.

وبومضة خاطفة للذهن أدرك هاملتون أن علم الجبر الناجح ليس علم جبر ثلاثي triplet algebra بل علم جبر رباعي الأبعاد (4D) لما



هذا الطابع الأيرلندي الخاص بقيمة 48 سنتاً هو جزء من احتفالات أيرلندا بالذكرى المئوية الثانية لميلاد هاملتون. وثمة بند هام آخر تم كشفه "لعلم هاملتون" يتصل في رقعة اللعبة "العشرينية" هذه التي ابتكرها مبنية على عمله في نظرية الرسم البياني. وفي هذه الأثناء، أصدر المصرف المركزي الأيرلندي مسكوكة نقدية بقيمة 10 يورو.

دعاه كواترنيونات. وعلى الفور سجّل في دفتر جيبه الصيغ الأساسية الكواترنيونات وزعم لاحقاً أنه خلال الإثارة التي هيّجها الاكتشاف قام بنحت هذه الصيغ الأساسية على أحد جسور القناة. وما زالت حتى هذا اليوم تُشاهد لوحة حجرية تحيي هذه الذكرى في ذاك الموقع.

الكواترنيون هو عدد معقد رباعي الأبعاد (4D) يأخذ الصيغة التالية: $q = w + xi + yi + zk$ حيث تكون i و j و k جميعها جذوراً تربيعية لـ (-1) . ويمكن النظر إلى الكواترنيون على أنه شيء مؤلف من جزء سلمي scalar (w) يمثل عدداً حقيقياً ومن جزء حامل شعاعي vector هو $(xi + yj + zk)$. علاوة على ذلك فإنه يمكن تمثيل جزء الحامل الشعاعي، حجماً واتجاهاً، بواسطة خط يصل نقطتين في حيز (فضاء) ثلاثي الأبعاد. كما أن الكثير من المصطلحات الرياضياتية الشائعة الاستخدام في هذه الأيام - بما في ذلك السلمية والشعاعية - تم إدخاله على يد هاملتون حين أوجد نظرية الكواترنيونات.

تراث عبقرى

تركز معظم بحث هاملتون اللاحق على تطوير نظرية الكواترنيونات. فقد كتب العديد من الأوراق العلمية وكتابين مستفيضين عن هذا الموضوع متحرراً الخواص الجبرية للكواترنيونات والمنظومات ذات الصلة بذلك. ومطبّقاً الكواترنيونات على مسائل متنوعة في علمي الهندسة والفيزياء. وباهتمام طبّق بيتر غوثري تايت وجيمس كلارك ماكسويل هذه النظرية على مسائل تتضمن انتشار الحرارة

وحصل على العديد من ألقاب الشرف والامتيازات خلال حياته. وازداد انهماك هاملتون في الحياة العامة نتيجة لانتخابه رئيساً للأكاديمية الملكية في العام 1837.

لقد استقال هاملتون من هذا المنصب في العام 1846 ليتمكن من التركيز على بحوثه في الرياضيات وخلفه في هذا المنصب صديقه وزميله همفري لويد. وعندئذ قضى هاملتون معظم وقته يعمل في المرصد في دانسينك وأمضى ساعات طويلة منكباً على كتبه وأوراقه العلمية ومطوراً أفكاره الرياضياتية عبر مراسلات مكثفة مع الآخرين من علماء الرياضيات. وحرص على المجيء إلى دبلن لإلقاء محاضرات وعقد دورات قصيرة في كلية ترينيتي ولحضور اجتماعات الأكاديمية الملكية الأيرلندية. وكان يسافر إلى بريطانيا مرة كل عدة سنوات للمشاركة في اجتماعات الاتحاد البريطاني للتقدم العلمي وكان يغتنم هذه الفرصة للقيام ببعض الزيارات لأصدقائه مثل ويليام وردنورث وعائلته.

أنكب هاملتون بشكل متواصل على تحرياته الرياضياتية ساعات طويلة. ولكن عندما بلغ منتصف العمر، بدأ واضحاً ما أخضع نفسه له من جهد مضمّن، الأمر الذي سبب قلقاً كبيراً لأصدقائه. وعلاوة على ذلك، أطلقت حادثة مشؤومة لغط الألسنة ضده وأدت إلى إشاعات مبالغ فيها عن رزائنه في السنوات الأخيرة من عمره وذلك عندما بالغ في الشرب خلال حفلة علمية على العشاء.

بذل هاملتون جهوداً كبيرة خلال سنواته الأخيرة في كتابة كتابه الثاني "عناصر الكواترنيونات Elements of Quaternions". في البداية كان من المقرر لهذا الكتاب أن يكون معتدل الطول. ولكن مع تقدّم العمل خطرت لهاملتون أفكار جديدة للبحث تطلبت منه متابعتها بالرغم من نفاذ الاعتمادات الممنوحة من قبل كلية ترينيتي لتغطية نفقات النشر. وكان هذا الكتاب طويلاً إلى حدٍ يكفي لمنع القارئ غير المتخصص من قراغته، وقليلون حاولوا قراغته بكامله - حتى أولئك الذين كانوا متحمسين للكواترنيونات بشكل كبير والتواقين لتطوير أفكار هاملتون وطرائقه.

ومن ثم غرقت أسرة هاملتون بمصاعب مالية تفاقمت بفشل ابنه في إيجاد عمل دائم. وأخيراً أعيقت جهود هاملتون لإتمام الكتاب بمرضه الشديد الذي انتهى بوفاته بتاريخ 2 أيلول/سبتمبر 1865 وهو في الستين من عمره.

لكن بعد قرنين من ميلاده فإن المدى الذي دخلته تعابير مثل "الهاملتونية" و"المنظومة الهاملتونية" في اللغة اليومية لعلماء الرياضيات والفيزيائيين يشهد على الوقع المتواصل لأعمال ويليام رومان هاملتون العلمية. وبناءً على ذلك يليق بأيرلندا أن تحتفل في

هذه السنة بالذكرى المئوية الثانية لأحد أشهر أبنائها العلماء.

نشر هذا المقال في مجلة Physics World, AUGUST, 2005

وتتم ترجمته في هيئة الطاقة الذرية السورية

والمغناطيسية الكهربائية. وبالفعل قدم ماكسويل المعادلات الأساسية للمغناطيسية الكهربائية مستخدماً رموز الكواترنيونات في مؤلفه الشهير بعنوان "أطروحة في الكهرباء والمغناطيسية" الذي نشر في العام 1783.

وعندما تمّ تطوير علم الجبر الشعاعي vector algebra الحديث على يد الفيزيائيين جوسيا ويلارد جيبس وأوليفر هيفيسايد في أواخر القرن التاسع عشر فقد سعياً إلى بناء شكلية formalism بدت لهما أكثر بساطة وبداية من شكلية هاملتون. ومع ذلك، فإن الكثير من المفاهيم والنتائج الأساسية للجبر الشعاعي في الاستخدام العام اليومي كانت قد ابتدأت في جبر الكواترنيونات لهاملتون. وعلاوة على ذلك، فقد استخدمت الكواترنيونات بشكل منتظم في الرياضيات حتى يومنا هذا مع أجسام هندسية مثل "تشعبات كهله المفرطة hyperkahler manifolds التي يتم تعريفها باستخدام البنى الكواترنيونية.

ومن وجهة نظر حاسوبية، فإن علم جبر الكواترنيونات يعطي كذلك خوارزميات أكثر كفاءة من علم جبر المصفوفات من أجل احتساب التأثير المتحد الدورانات المتتالية successive rotations. وبالنتيجة، تستخدم الكواترنيونات بشكل منتظم في تطبيقات متنوعة مثل ملاحاة المركبات الفضائية وألعاب الحاسوب.

وبخصوص أوراق هاملتون العلمية في علم البصريات، فإنها تمتاز بأناقة وعمومية كبيرتين. ولكنها تبنت لسوء الحظ مدخلاً تجريبياً جداً وتضمنت القليل من التطبيقات على طريقته العامة لتجسيد مسائل ضوئية. ونتيجة لذلك، فقد كان لها وقع قليل أو معدوم على التعاطي مع البصريات في أثناء حياة هاملتون. بيد أنه أُعيد اكتشافها لاحقاً خلال القرن التاسع عشر على يد علماء الضوئيات وهي تستخدم بشكل منتظم هذه الأيام في تصميم التجهيزات البصرية.

وعلى عكس ذلك، فإن أوراق هاملتون العلمية الرئيسة في علم التحريك (الديناميك) جرى الانتباه لها سريعاً من قبل عالم الرياضيات البروسي كارل جاكوبي الذي طورها إلى نظرية شمولية تُدعم اليوم ميادين المنظومات الديناميكية وعلم الهندسة السمبليكتية symplectic geometry في الرياضيات. كما إن المقاربة الهاملتونية في علم التحريك أسهمت في تشكيل تطور الديناميك الكمومي من قبل أروين شرودينغر وآخرين غيره. وفي الحقيقة، ثمة علاقة وثيقة بين معادلة هاملتون-جاكوبي (التي تُعد المعادلة الأساسية للديناميك الهاملتوني) وبين معادلة شرودينغو الموجية، الأمر الذي يوثقه استخدام مصطلح "هاملتوني" في الإشارة إلى مؤثر الزمن والتطور time-evolution operator في علم التحريك الكمومي.

السنوات الأخيرة

أقدم هاملتون على الزواج من هيلين في العام 1833 ورزق الزوجان ابنين وابنة. وقد عانت هيلين لفترات طويلة وقائع طويلة من سوء الصحة والاكنتاب. أما هاملتون فقد منح لقب الفارس خلال اجتماع الجمعية البريطانية للتقدم العلمي في دبلن في العام 1835

التدوير الكيميائي الحيوي لنظائر الحديد

كلارك م. جونسون - بريان ل. بيرد

قسم الجيولوجيا والفيزياء الجيولوجية، جامعة سكونسن-ميديسون، ميديسون، الولايات المتحدة الأمريكية

يعرض هذا المقال استثمار الأوساط البيئية والعمليات الداخلة في دورة هندسة أكسدة وإرجاع نظائر الحديد. ونشير هنا إلى أن هذا المجال الجديد في الكيمياء الجيولوجية يتنامى اليوم سريعاً. ويبدو من المحتمل استمرار الحوار والنقاش بحيث يعكس أهمية القضايا التي يجري التصدي لها، مثل نشأة الحياة وتطورها والتغيرات في المنطقة المأهولة على الكرة الأرضية على مدى أربعة بلايين سنة الماضية.

الكلمات المفتاحية: التدوير الكيميائي الحيوي، الكيمياء الجيولوجية، الحديد، الأكسدة والإرجاع، العناصر الانتقالية، التجوية، السوائل الهيدروحرارية.

وذلك بمرتبة قدرها بضعة أجزاء من الألف (أو %) في درجة حرارة الغرفة. ويشاهد هذا السلوك عبر جميع العناصر الانتقالية transition elements التي تتصف بحالات أكسدة متعددة [1]. ومن حيث الدراسات النظرية للعناصر الانتقالية، فقد استقطب الحديد أكبر الاهتمام بسبب وفرته الغزيرة على الكرة الأرضية ودوره البارز في العمليات الكيميائية الحيوية.

لقد تمّ نشر أكثر من 60 ورقة علمية حول الكيمياء الجيولوجية لنظير الحديد منذ أن ظهر هذا المجال مبدئياً في العام 1999، وقد عالجت هذه الأعمال قضايا تمتد من العمليات البيولوجية للحديد [2] إلى تزايد الأكسجين في الجو [3]. وبالإجمال، فإن دراسات العينات الطبيعية، وكذلك التوازن الحديّ المقرّر مخبرياً وعوامل التشديف (التجزئة) النظرية التحريكية kinetic في المنظومات البيولوجية وغير البيولوجية، قدّمت صورة أولية عن التغيرات النظرية التي يولدها

الحديد أكثر العناصر التي تمارس كيمياء الأكسدة والإرجاع (ريدوكس) وفرة. فالشكل الحديديوزي (Fe^{2+}) يسود في لب الكرة الأرضية وغطائها وقشرتها العميقة، في حين يكون الشكل الحديدي (Fe^{3+}) مستقرّاً في الشروط الجوية الحالية، وبالتالي فإنه يشكل الحالة المستقرة في معظم البيئات السطحية. وفي الوقت نفسه، يكون بعض أكبر التشديفات fractionations في التركيب النظيري للحديد (والتي يعبر عنها عادة بـ:

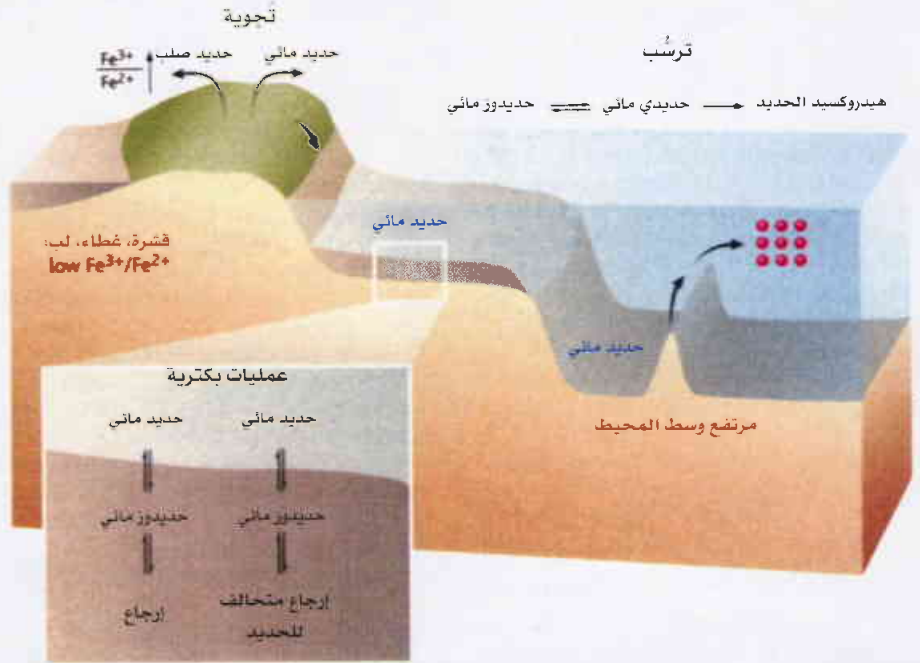
$\delta^{56}Fe = [(^{56}Fe/^{54}Fe_{\text{Sample}})/(^{56}Fe/^{54}Fe_{\text{Standard}}) - 1] \times 10^3$) بين الشكلين المؤكسد والمُرَجَع. ولما كانت الكيمياء الحيوية تتضمن تغيرات في حالة الريدوكس شكّلت عملية التشديف هذه محرّضاً رئيساً لتطوير هذه المنظومة النظرية كوسيلة لتتبّع الظواهر الكيميائية الحيوية. وفي البيئات التي تحتوي على الحديد بحالتي الأكسدة كليهما، فإن الشكل المؤكسد يكون على العموم غنياً في النظائر الثقيلة،

من الحديد المنحل التي تضيع أثناء التجوية العصرية تكون ذات قيم منخفضة نسبياً من $\delta^{56}\text{Fe}$ (انظر الشكل) [8,7]. وعلى الرغم من أن مكوّن الحديد المتحرك هذا أصغر من أن يؤثر في التركيب النظيري لمجمل المادة الرسوبية، فإنه يمكن أن يوفر رقابة مهمة على محتوى المحيطات العصرية من نظير الحديد بسبب المحتوى المنخفض جداً للحديد في مياه البحار.

إن التجوية weathering تحت الشروط الجوية المُرجّعة (بمعنى الخفيضة الأوكسجين)، على شاكلة ما والتي ربما كانت موجودة في العصر السحيق Archean، يتوقع أن تولد كميات من الحديد المنحل أكبر بكثير، وأن تقع قيم $\delta^{56}\text{Fe}$ لهذا المكوّن قريبة من الصفر بسبب عدم حدوث تغيير في الريدوكس أثناء التجوية. وعلاوة على ذلك، فإن المدى الأكبر المتوقع للانحلال أثناء التجوية تحت شروط جوية ناقصة الأوكسجين سيسبب قيماً من $\delta^{56}\text{Fe}$ للحديد المنحل تكون قريبة من القيم البركانية الأصلية، حسبما تتطلبه علاقات ميزان الكتلة النظيري البسيط [9]. وربما كان من المتوقع أن يحتوي المحيط القديم الغني بالحديد على قيم من $\delta^{56}\text{Fe}$ تتراوح بين 0.5- و 0% وذلك نقيضاً لقيم $\delta^{56}\text{Fe}$ الأكثر سلبية والتي يبدو أنها تميّز المحيطات العصرية الفقيرة بالحديد [10]، على الرغم من أن الميزان النسبي للمنايع والمصارف كان مهماً على الأرجح [11].

لقد تركّز الكثير من الاهتمام على التغييرات النظرية للحديد في الصخور الرسوبية في الزمن ما قبل الكامبري لكونها قد تسجل تبدلات رئيسة في دورة ريدوكسي الحديد بسبب تبدلات في المحتوى الأوكسجيني الجوي كما قد تسجل كذلك تطور عمليات استقلابية تؤكسد أو تُرجع الحديد [3, 9, 12]. ويغطي المدى الكبير في التراكيب النظرية للحديد، والمقيسة للمعادن والصخور الرسوبية في الزمن ما قبل الكامبري، المدى الكلي المشاهد حتى الآن في الطبيعة. (ويتراوح من $\delta^{56}\text{Fe} = -4\%$ إلى $+1\%$). وإذا ما كانت مثل هذه التراكيب قد تولدت يوم كانت المحيطات غنية بالحديد، فإن كميات كبيرة جداً من الحديد لا بد أن يكون قد تم تدويرها. ويبدو من غير المحتمل أن تستطيع المدىات الكبيرة في التركيب النظيري خلال فترات زمنية قصيرة 10^3

التدوير cycling الكيميائي الجيولوجي الحيوي (انظر الشكل). فثمة جزء كبير ملحوظ من مخزون الحديد في الكرة الأرضية يكون من الناحية النظرية متجانساً homogeneous ($\delta^{56}\text{Fe} = 0\%$) لمعيار صخري بركاني، بما في ذلك الصخور البركانية والصخور الرسوبية التي تعرّضت لتغير كيميائي أصغري بعد التوضع deposition [4]. ومع أن اختلافات نظير الحديد داخل غطاء الكرة الأرضية mantle يمكن أن تنشأ كنتيجة لتشديف (تجزئة) فلزيّ عالي الضغط أو لتغيرات كيميائية، فإن هذه الاختلافات يظهر أنها تجانست أثناء تولد الصهارة magma معطية قشرة قارية أوقيانية ذات نسب $^{56}\text{Fe}/^{54}\text{Fe}$ لا تختلف عن النسب المتعلقة بإجمالي الكرة الأرضية [5]. هذا ولا تولد تجوية اليابسة والنقل والتوضع إلا تغييراً نظيرياً زهيداً في إجمالي الحطام تحت الشروط الجوية العصرية على الرغم من الزيادة الكبيرة في النسبة $\text{Fe}^{3+}/\text{Fe}^{2+}$ حين التجوية (انظر الشكل). وعلى الرغم من التشديف النظيري الذاتي intrinsic الكبير الكائن بين الأنواع الحديدوزية والحديدية [6] فإن الانحلالية الضعيفة للحديد الحديدي ferric iron يحول دون فقدان نسبة كبيرة من الحديد في المنظومات المائية. ونشير إلى أن النسبة الصغيرة



مساق الحديد في البيئة، بالرغم من الأوكسدة المكثفة لحديد أعماق الأرض أثناء التجوية weathering، لم يحدث تشديف نظيري كبير للحديد فيما يخص الحطام الإجمالي (الجزء الأيسر العلوي). ولكن تحت الشروط الأوكسجينية فإن كميات صغيرة من الحديد المنحل قد تتصف بقيم $\delta^{56}\text{Fe}$ منخفضة. ويُعد التشديف النظيري أمراً مهماً أثناء أكسدة وترسب الحديدوز المائي ($\delta^{56}\text{Fe} \sim -0.5\%$) من خلال تشكيلة منوعة من الحدثيات في مرتفعات وسط المحيط (إلى اليمين) تعطي جميعها قيماً $\delta^{56}\text{Fe}$ إيجابية للترسبات الهيدروكسيدية الحديدية (الكرات الحمراء) من خلال عملية أكسدة وترسب ذات خطوتين. ويقع أكبر تفاوت في قيم $\delta^{56}\text{Fe}$ في السجل الرسوبي في الرسوبيات التي عانت من تصخر لا أوكسجيني anoxic diagenesis (المؤطر المتمد) إما بوجود الكبريتيد أو أثناء الإرجاع المخالف للحديد، ويظهر أن هذه العمليات تولد قيماً $\delta^{56}\text{Fe}$ متميزة فيما يخص حديدوز مياه المسام.

كبريتيد الحديد من خلال التآثر مع الكبريتيد المنحل أو من خلال المسارات pathways الكبريتيدية اللايولوجية أو عن طريق إرجاع الكبريتات (السلفات) البكتيرية. أما الأدلة المتوفرة الآن فإنها توجي بأن تركيب النظير الحديدي للحديدوز المائي الناجم عن إرجاع الحديد المكروبي المخالف DIR ($\delta^{56}\text{Fe} = -2.5\% \rightarrow 1.0$) أو عن التآثرات الكبريتيدية ($\delta^{56}\text{Fe} = 0 \rightarrow +5\%$) فتختلف تماماً، الأمر الذي يقدّم وسيلة للتمييز بين العمليتين (انظر الشكل) [17, 16]. إن قيم $\delta^{56}\text{Fe}$ المقيسة للحديدوز المائي لسوائل المسام pore fluids المأخوذة من الرسوبيات البحرية العصرية التي عانت التصخر فيما يخص الكبريتيد أو إرجاع الحديد المكروبي المخالف DIR تختلف أيضاً عن التركيبات النظرية الحديديّة لسوائل الهدروحرارية ($\delta^{56}\text{Fe} = -0.5\%$) (انظر الشكل)، مما يوحي بأن التصخر البحري يمكن أن يولد تشكيلات نظيرية للحديد منفصلة عن التركيبات المحيطة لماء البحر، وحتى في محيط سحيق غني بالحديد. ففي حالة تشكيلات الحديد المتجمعة العائدة لأواخر العصر السحيق وأوائل حقبة فجر الحياة proterozoic، فسّر التفاوت في قيم $\delta^{56}\text{Fe}$ العائدة لطبقات المانيتيت بأنه يعكس مزيجاً من مصائر الحديد، بما في ذلك السوائل الهدروحرارية والحديدوز المائي الناتج عن إرجاع الحديد المكروبي المخالف DIR [18]. ولذلك يبقى من غير الواضح ما إذا كانت قيم $\delta^{56}\text{Fe}$ المنخفضة المقيسة فيما يخص الكبريتيدات التصخرية diagenetic sulfides في صخور العصر السحيق وحقبة فجر الحياة (البروتروزوي) يمكن أن تعزى مباشرة إلى تغيرات في محتويات الجو من الأكسجين حسبما يقترح حديثاً [3].

إن استكشاف البيئات والعمليات الداخلة في دورة الريدوكس redox cycling الخاص بالحديد يُرجّح أن يبقى بؤرة اهتمام الكيمياء الجيولوجية لتظير الحديد في المستقبل المنظور وقد بدأنا للتوّ نفهم التشديفات fractionations المتميزة التي يمكن أن ترافق المسارات النوعية لدورة الحديد والإسهامات الإجمالية لهذه المسارات في الميزان الحجمي النظيري لرصيد الحديد في الكرة الأرضية. وتعدّ التحديدات المخبرية لعوامل التشديف النظرية فيما يخص الأصناف المائية والفلزات الموجودة في الطبيعة عنصراً حاسماً لتفسير البيانات الخاصة بالعينات الطبيعية. ولهذا، يبقى العمل التجريبي مركز أولوية متقدّمة للبحوث في هذا النهج العلمي. يضاف إلى ذلك، أن الحسابات النظرية لعوامل التشديف النظيري تعدّ عنصراً مهماً في توفير أساس ياتي لتفسير التباينات النظرية الطبيعية، شأنها شأن منظومات الاستكشاف التي قد يصعب فحصها في المختبر [20, 19]. ونشير هنا إلى أن هذا المجال الجديد في الكيمياء الجيولوجية يتنامى اليوم سريعاً. ويبدو من المحتمل استمرار الحوار والنقاش بحيث يعكس أهمية القضايا التي يجري التصدي لها، مثل نشأة الحياة وتطورها والتغيرات في المنطقة المأهولة على الكرة الأرضية على مدى أربعة بلايين سنة الماضية.

إلى 10⁵ سنة) أن تعكس بشكل مباشر التركيب النظيري لمحيط غني بالحديد، أخذاً بالاعتبار أن المقاومة الكبيرة لمحيط كهذا يكون عليها أن تفضي إلى تبدلات في التراكيب النظرية للمنابع والمصارف إذا كان زمن مكوث الحديد طويلاً [12].

إن أكسدة Fe^{2+} المائي عند درجة pH قريبة من المعتدلة، إما بواسطة الأكسجين أو بأكسدة الحديد بالتركيب الضوئي اللاهوائي، تولد ترسبات هيدروكسيدية حديدية ferric ذات قيم $\delta^{56}\text{Fe}$ إيجابية (انظر الشكل) [14, 13]. يضمن التبادل النظيري السريع جداً بين الحديدوز المائي Fe^{2+} وبين Fe^{3+} أنه بالنسبة لمعدلات الأكسدة الفورية بشكل أساسي يبقى التوازن النظيري isotopic equilibrium بين الأنواع المائية المؤكسدة والمرجعة مصوناً [4]، مما يوحي بأن التشديف النظيري في أثناء خطوة التأكسد يكون مستقلاً عن المسار في الطبيعة سواء أكانت الأكسدة بالأكسجين O_2 الجوي أم بأكسدة الحديد بالتركيب الضوئي اللاهوائي أم بالأكسدة الضوئية photo-oxidation بالأشعة فوق البنفسجية. ولذلك، فإن قيمة $\delta^{56}\text{Fe}$ للترسبات الهيدروكسيدية الحديديّة النهائية التي تتولد أثناء الأكسدة عند درجة pH قريبة من المعتدلة إنما تعتمد على كبر التشديفة $\text{Fe}^{3+}-\text{Fe}(\text{OH})_3$ (انظر الشكل) الذي يرجح أن يكون قريباً من الصفر تحت شروط التوازن، ولكنه يمكن أن يكون متغيراً تماماً في أثناء الترسيب السريع، وذلك بسبب الطبيعة الوحيدة الاتجاه unidirectional لهذه العملية [15]. ولذلك فإن التشديف الإجمالي بين الناتج الهيدروكسيد الحديدي والحديدوز Fe^{2+} المائي يقع عموماً بين (+1.4) و(-2.9%) عند درجة حرارة الغرفة (انظر الشكل). أما أكسدة الحديدوز Fe^{2+} المائي المأخوذ من السوائل الهدروحرارية hydrothermal لأحد المتون وسط المحيط بواسطة ماء البحر الحامل للأكسجين، أو، في حالة الزمن ما قبل الكامبري، أكسدة المياه القاعية العديمة الأكسجين والغنية بالحديدوز والتي امتزجت مع المياه السطحية المؤكسجة نسبياً، فإنهما عمليتان تولدان فلزات حاملة للحديد Fe^{3+} ذات قيم $\delta^{56}\text{Fe}$ أكبر من +1%، لكن مثل هذه المواد نادرة نسبياً في السجلات الصخرية [9, 3].

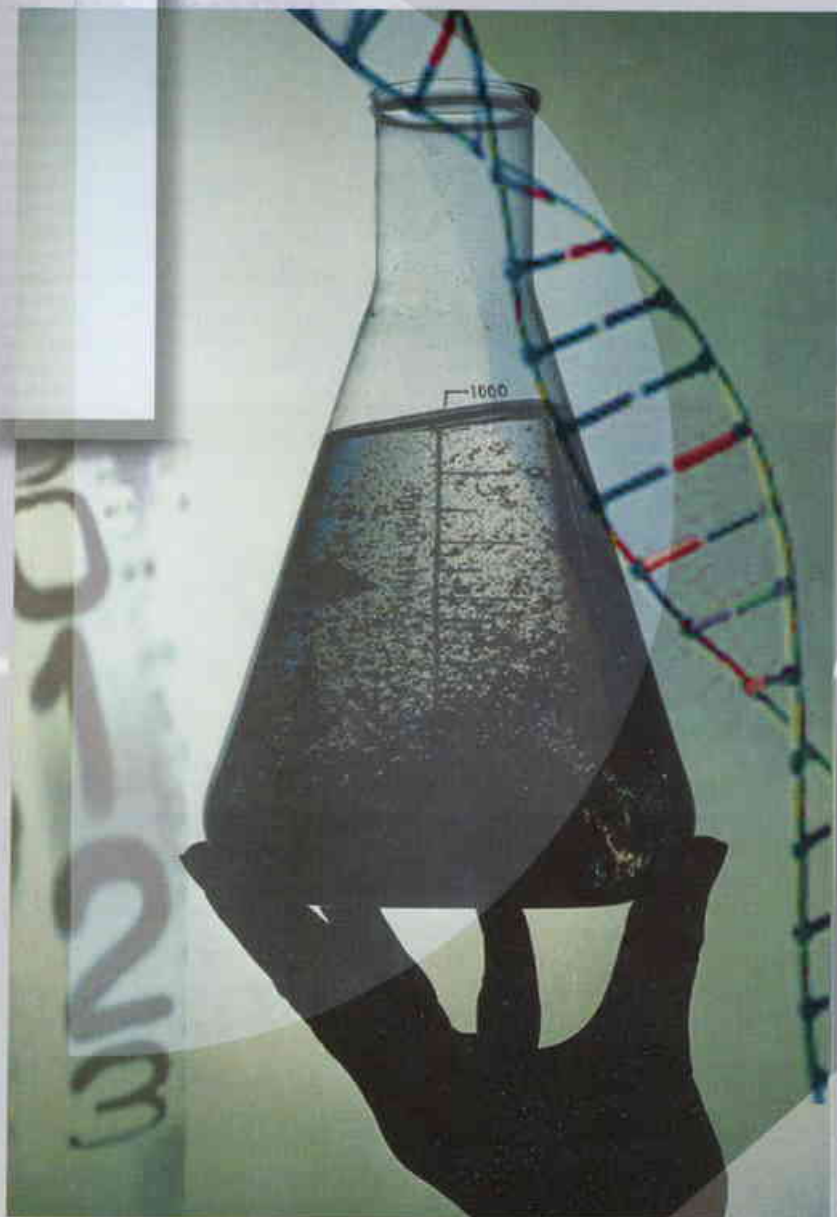
أما الصخور الرسوبية البحرية التي عانت التصخر الأكسجيني anoxic diagenesis بدءاً من العصر السحيق حتى البيئات العصرية فإنها على العموم ذات قيم لا $\delta^{56}\text{Fe}$ أقل من (-1%) حسب المرجعين [9, 3]. إن الانحلال الإرجاعي للفلزات الهيدروكسيدية/الإكسيدية الحديديّة أثناء التفاعلات الأكسجينية يمكن أن تولد فلزات مائية حديدوزية Fe^{2+} حاملة للحديدوز مثل السيدريت والمانيتيت من خلال إرجاع الحديد المكروبي المخالف DIR حيث تضحّ البكتريا إلكترونات إلى الطور الحديدي Fe^{3+} لتخلق حديداً مرجعاً بشكل خارجي. وكذلك يمكن أن يتولد حديدوز مائي وفلزات

REFERENCES

المراجع

- [1] C. Johnson, B. Beard, F. Albare`de, Eds, Reviews in Mineralogy Geochemistry, vol. 55, Geochemistry of Non-Traditional Stable isotopes (Mineralogical Society of America, Washington, DC, 2004).
- [2] B. L. Beard et al., Science 285, 1889 (1999).
- [3] O. J. Rouxel, A. Bekker, K. J. Edwards, Science 307, 1088 (2005).
- [4] B. Beard, C. Johnson, Rev. Mineral. Geochem. 55, 319 (2004).
- [5] B. L. Beard, C. M. Johnson, Geochim. Cosmochim. Acta 68, 4727 (2004).
- [6] S. Welch et al., Geochim. Cosmochim. Acta 67, 4231 (2003).
- [7] S. L. Brantley et al., Geochim. Cosmochim. Acta 68, 3189 (2004).
- [8] M. S. Fantle, D. J. DePaolo, Earth Planet. Sci. Lett. 228, 547 (2004).
- [9] K. Yamaguchi et al., Chem. Geol. 218, 135 (2005).
- [10] S. Levasseur et al., Earth Planet. Sci. Lett. 224, 91 (2004).
- [11] L. Kump, Science 307, 1058 (2005).
- [12] C. M. Johnson et al., Contrib. Mineral. Petrol. 144, 523 (2003).
- [13] T. D. Bullen et al., Geology 29, 699 (2001).
- [14] L. R. Croal et al., Geochim. Cosmochim. Acta 68, 1227 (2004).
- [15] J. Skulan, B. Beard, C. Johnson, Geochim. Cosmochim. Acta 66, 2995 (2002).
- [16] I. B. Butler et al., Earth Planet. Sci. Lett. 236, 430 (2005).
- [17] S. Severmann et al., Eos Trans. AGU 84, OS31L-09 (2003).
- [18] C. M. Johnson et al., Geochim. Cosmochim. Acta 69, 963 (2005).
- [19] E. Schauble, Rev. Mineral. Geochem. 55, 65 (2004).
- [20] A. D. Anbbar, A. A. Jazecki, T. G. Spiro, Geochim. Cosmochim. Acta 69, 825 (2005).
- [21] Financial support from NASA and NSF is acknowledged. We thank J. O'Neil, K. Nealson, and L. Kump for comments on the manuscript.

نشر هذا المقال في مجلة: *Science 12 August 2005*. وتمت ترجمته في هيئة الطاقة الذرية السورية.



إنفلونزا

الطيور

من المحتمل أن يكون تمّة ضَرْب Variant من الفيروس H5N1 أكثر فتكا يصيب الطيور المهاجرة في الصين.



موقع التناسل أو النشأة: يخشى خبراء الإنفلونزا أن تستطيع الطيور المهاجرة المصابة بسلاطة جديدة من فيروس H5N1، من أمثال الإوزة الصلعاء (يسارا)، حمل تلك السلالة بعيداً عن موقع نشأتها في بحيرة كنجهاي.

وهي اختصاصية بالفيروسات في معهد Zooprofilattico التجريبي في ليغانو بإيطاليا: "يبين هذا أن الفيروس المعني أكثر إمرضية للتدييات". ولكن ذلك لا يعني بالضرورة أن البشر سيكونون أسهل إصابة أو أن الفيروس (المعني) يمكن أن ينتقل من إنسان إلى إنسان حسب قولها.

يثير نشوب هذا المرض أسئلة أخرى، بما في ذلك كيفية مجيء الفيروس إلى هذا الركن غير الكثيف بالسكان من الصين. ومنذ أن ظهر H5N1، ناقش الباحثون ما إذا كانت الطيور المهاجرة تستطيع نشره. فمن المعروف أن بعض الطيور المائية تستضيف نزاري من الفيروس دون أن تظهر عليها أي أعراض أو مع إظهار حدود دنيا من هذه الأعراض. ولكن منظمة الأغذية والزراعة التابعة للأمم المتحدة تقول بأنه ما من دليل يربط نشبات هذا المرض في المداجن بالطيور الوحشية. بيد أن كابوا Capua ما تزال تقترح بأن طيوراً مهاجرة من مناطق مختلفة قد تكون حملت نزاري من H5N1 أقل إمرضية إلى البيئة المتمازجة الأجناس من تلك البحيرة حيث ظهر هذا الضرب الجديد. وينفي ملفيل أن

وتثير إمكانية أن تستطيع الطيور الناجية من الموت نشر المرض في مناطق جغرافية أكثر اتساعاً، بحيث تهدد بالخطر مزيداً من المداجن وتزيد من فرص حدوث المزيد من التبدلات الجينية التي يمكن أن تفجر وباء بشرياً مميتاً.

لقد سُلِّسَ sequenced ليو وزملاؤه بشكل تام أربعة مستفردات isolates متعافية تتبع لأنواع طيور متنوعة، فوجدوا أن جينوماتها جميعاً متشابهة ولكنها متميزة عن أي من تتاليات (H5N1 sequencies) الموصوفة في بنك الجينات GenBank. ويقول جورج جاو George Gao، وهو اختصاصي بالفيروسات في معهد الميكروبيولوجيا التابع لأكاديمية العلوم الصينية، بأن الأدلة توحي إن التغيرات الجينية تفسر معدل الموت المتزايد بين الطيور على الرغم من الحاجة إلى المزيد من المعطيات لأجل التأكد.

لقد اختبر الباحثون إمرضية pathogenicity هذا الفيروس عن طريق استخدامه لخمج infect الفئران، فوجدوا أنها استسلمت له بسرعة أكبر من الفئران المخموجة بالذراري strains الأخرى من H5N1. وتقول إيلاريا كابوا Ilaria Capua،

حينما ذكرت الصين في أواسط شهر أيار/مايو من العام 2005 أن فيروس إنفلونزا الطيور H5N1 قد سبب موت ألف أو أكثر من الطيور المهاجرة في غرب الصين استشعر علماء الطيور الخطر في جميع أرجاء العالم. ويقول ديفيد ملفيل David Melville (وهو عالم طيور في نيوزيلندا): "إنها أقوى وأوسع حوادث هلاك شوهدت أبداً لدى الطيور غير الأليفة (الوحشية) في العالم بفعل إنفلونزا الطيور". والآن، في ورقة علمية نشرتها مجلة Science في الأسبوع الأول من شهر تموز 2005، يذكر (جنهوا ليو Jinhua Liu)، وهو من كلية الطب البيطري في بكين، مع زملائه فيها وفي خمسة معاهد صينية أخرى، إن نشوب هذا المرض لدى الطيور في بحيرة كنجهاي Qinghai في غرب الصين قد نجم كما يبدو بسبب ضَرْب من H5N1 ربما يكون أكثر فتكا بالطيور الوحشية وكذلك بالفئران المخموجة تجريبياً. وقد نشرت مجموعات بحث مختلفة نتائج مشابهة عبر خط الحاسوب online في الأسبوع ذاته عن طريق مجلة Nature. وتوحي هذه النتائج بأن الفيروس الأنف الذكر أخذ بالتطور،

تكون أدلة كثيرة تبين أن الأنشطة البشرية المتمثلة في نقل الدجاج ومنتجاته وحتى الأقفاص الملوثة تستطيع نشر إنفلونزا الطيور.

ثمة سؤال أكثر إلحاحاً يتعلق بالمكان الذي يمكن لهذه الطيور المهاجرة أن تنقل الفيروس إليه في الوقت القادم. ويقول ملفيل في هذا العدد إن الإوزات الصلعاوات (وهي أحد أنواع الطيور المصابة) تطير بضعة آلاف الكيلومترات لقضاء الشتاء في الهند، ومن المحتمل أن تقذف بالفيروس

من الأعلى على طول الطريق. أما بالنسبة للعديد من أنواع الطيور الأخرى التي تتربى في كنجهاي فما تزال معرفة طرق هجرتها "أولية جداً" حسب قوله.

ولكن ملفيل يضيف قائلاً: "إن الإوزات الميتة لا تطير" مستشهداً بمقالة عن "الطيور الوحشية والإنفلونزا" كتبها عالم الطيور المقيم في هونغ كونغ مارتن وليامز Martin Williams بما يعني أنه إذا كانت هذه السلالة الجديدة تقتل جميع الطيور التي تصيبها فإنها لن تسافر بعيداً جداً. وهناك

أولوية حسب قول ملفيل يجب أن تتمثل في تحديد ما إذا كانت الطيور الناجية تحمل سلالة مُضعفة من الفيروس، أو إذا كانت بعض أنواع الطيور أو الطيور الفرادية تحمل نفس الضرب ولكن بتأثيرات صحية في الحدود الدنيا ويقول جاو الذي يستعد فريقه البحثي للإجابة على تساؤله: "إن هذه هي الأسئلة المهمة" وذلك عن طريق جمع عينات إضافية من طيور سليمة على مدى الشهرين القادمين.

نُشر هذا الخبر في مجلة Science, 8 July 2005

لم يكن بالإمكان التسجيل ثم محو التسجيل على القرص المدمج CD البسيط الحامل للموسيقى وللمعلومات، كما هو الحال بالنسبة إلى شريط مغنطيسي، وقد احتاج الأمر إلى تغيير عملية تسجيل المعطيات تغييراً جذرياً لكي تصبح الأقراص CD قابلة لإعادة التسجيل عليها.

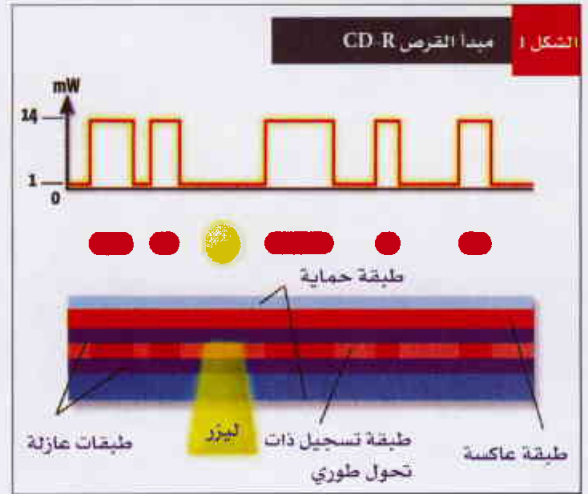
كيف يعمل القرص المدمج القابل لإعادة التسجيل عليه؟

حاولت الشركتان فيليبس وسوني حين قامتاً معاً بدراسة القرص المدمج في عام 1981 أن تصنعا، في المقام الأول، حاملاً للمعطيات الرقمية يسهل نسخه صناعياً، فاستوحتا الفكرة من كبس "الأسطوانات" الموسيقية التي أثبتت تقنيتهما فعالية وبساطة نسبية في التنفيذ. وقادهما ذلك إلى اختيار استخدام الحويضات المكروية micro-cuvette كحامل للمعلومات الرقمية. وهذه الحويضات عبارة عن تتالي وهدات ومنبسطات تقابل 0 و 1 للترميز الرقمي، بحيث تعكس حزمة ليزر القراءة، أو تزول بفضل التداخل الهدام، حسبما تسقط على منبسط أو على وهدة. وعلى الرغم من أن الكؤيسات المحفورة في الأثلام مجهرية،

فإن من الممكن إعادة نسخها بالكبس، وهذا ما كانت تسعى إليه الشركتان.

ولكن سرعان ما أثارت الأقراص CD اهتمام العاملين في المعلوماتية الذين كانوا يسعون وراء وسيلة تخزين ذات سعة كبيرة جداً. فكان القرص المدمج CD بترميزه الرقمي وسعته البالغة 650 ميغا بايت مثالياً بالنسبة لهم. وهكذا ولد القرص CD-ROM، أي القرص CD ذو ذاكرة للقراءة فقط، بسبب عدم إمكان تعديل المعطيات المسجلة عليه. ولقد كان القرص CD-ROM حاملاً ممتازاً للأرشفة، إلا أنه وجب لذلك أن يكون بالإمكان تسجيل المعطيات عليه من حاسوب بسيط بشكل مباشر. لكن بنيته المؤلف من كؤيسات مجهرية تسبب مشكلة، إذ كيف يمكن حفر

هذه الكؤيسات من دون اللجوء إلى مواد كيميائية أكالة corrosifs أو إلى تقانات أخرى معقدة؟ لقد تمكن الصناعيون من التغلب على هذه المشكلة، فالكؤيسات، كما رأينا، اختيرت لأنه يمكن صنع القرص CD بالطريقة نفسها التي تصنع بها الأسطوانات الموسيقية ذات 33 دورة في الدقيقة، فيتيح تقطيع الضوء المنعكس من حزمة الليزر إعادة تشكيل المورس الضوئي للترميز الرقمي. لكن أية وسيلة أخرى تؤمن الانعكاس reflexion أو الانطفاء extinction، أي (1 و 0) للإصدار الليزري تصلح أيضاً. فما هي الوسيلة الأسهل تناولاً؟ إنها تلك المعمول بها في الباركود bar code المؤلف من تتالي خطوط سوداء وبيضاء: حيث ينعكس الضوء على



تحل "بقع" محل الكؤيسات المكروية. يُحفر القرص بواسطة تعديل شدة الليزر وفق "0" و"1". فما دامت الشدة ضعيفة، من رتبة الملي واط (mW)، يبقى انعكاس الحزمة كافياً لقيادة رأس الحفر، لكنها لا تؤثر على حالة الطبقة الحساسة. وبالمقابل، حين ترتفع هذه الشدة إلى 14 mW بسبب الليزر تسخيناً موضعياً يصل إلى 500 أو 700 درجة، فتحترق عندئذ الطبقة العضوية للقرص CD-R، أما تلك الطبقة في القرص CD-RW فتتغير حالتها. وعند القراءة تسبب هذه "البقع" تغيراً في شدة الحزمة المنعكسة مثلما تفعل الكؤيسات المكروية في القرص CD-ROM المصنوع بالكيس.

والإثمد والتلور ولها صفة خاصة رائعة: إذا رفعت درجة حرارتها إلى ما بين 500 و700 درجة سلزية تحولت إلى الحالة اللابلورية وبقيت على هذه الحالة حين تبرد (درجات الحرارة العالية هذه مركزة في نقطة حجمها أقل من رأس الدبوس).

وبالمقابل، إذا لم تتجاوز درجة الحرارة 200 درجة سلزية، يبقى المزيج محتفظاً بحالته البلورية حين يبرد. فإذا علمنا أن الحالة البلورية شفافاً بينما الحالة اللابلورية عاتمة نجد أن هذا السلوك مثالي لإحلال هذه المادة محل الطبقة العضوية في القرص CD-R. وتكون هذه الطبقة في الحالة البلورية في القرص الجديد غير المستخدم. وأثناء التسجيل، كما في السابق، تُرفع شدة حزمة الليزر إلى 14 ملي واط بمجرد أن يلزم حفر ما يكافئ بقعة سوداء، فترتفع درجة الحرارة في هذه النقطة إلى 700 درجة سلزية، مما يؤدي إلى التحول إلى الحالة اللابلورية، أي إلى الحالة التي لا تعكس الضوء إلا قليلاً عند القراءة. وهذه المرحلة من الحفر تشبه تماماً نظيرتها في القرص CD-R.

أما إذا لم تكن شدة الليزر سوى 5 ملي واط فإن درجة الحرارة لا تبلغ سوى نحو 200 درجة سلزية فقط. وتبرد الطبقة التي لم تسخن كثيراً وتعود إلى حالتها البلورية: وبهذا يتم محو التسجيل على القرص. أما العيب الوحيد في هذه الطريقة فإنه يتمثل في كون تغير الانعكاس الذي يسببه تغير الطور يبقى دون ذلك الذي توفره الطبقة العضوية في القرص CD-R.

ولهذا السبب فإن معظم قارئات الأقراص CD وبعض قارئات الأقراص CD-ROM غير قادرة على قراءة الأقراص CD-RW. وهذه الأقراص لا تقدر على قراءتها سوى قارئات المسماة "multi read". وهناك أخيراً الأقراص الصغيرة minidiscs القابلة لإعادة التسجيل عليها أيضاً والتي تعتمد على بذر مناطق عاكسة وأخرى غير عاكسة ولكن بواسطة عملية حفر تستفيد في الوقت نفسه من درجة الحرارة ومن المغنطيسية.

نتال من بقع غامقة تفصل بينها مناطق فاتحة محل الوهدات والمنبسطات في القرص CD العادي. لكن هذه البقع تنتثر قليلاً من الضوء فلا يحدث انطفاء تام للحزمة المنعكسة، وهذا يفسر لماذا لا تستطيع بعض القارئات القديمة قراءة الأقراص المسجلة بهذه الطريقة. ذلك أنه إذا لم يمكن تركيز حزمة القارئة جيداً فإن تغيرات الانعكاس تصبح أقل من تلك التي تسببها الكؤيسات المكروية وتصير القراءة غير ممكنة.

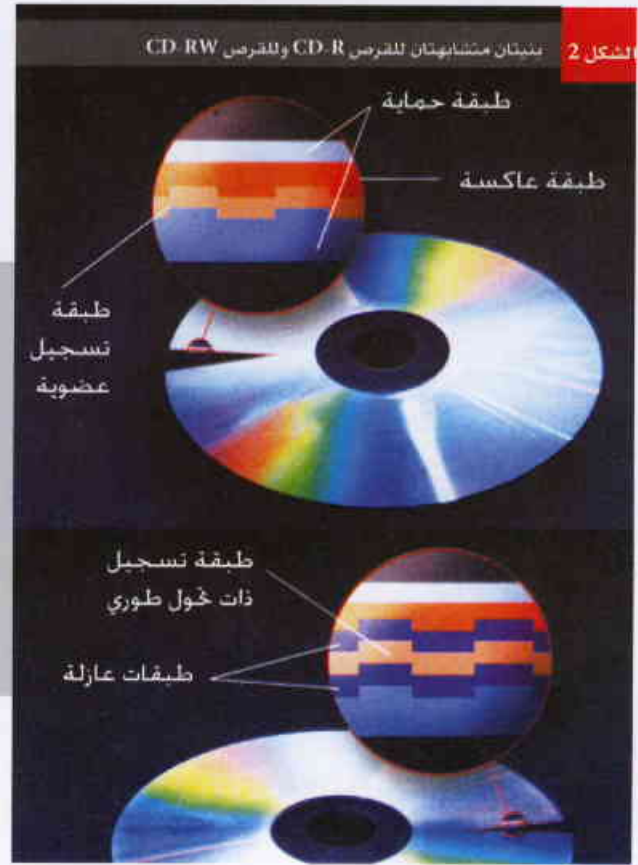
المشكلة الوحيدة في القرص CD-R هي أنه لا يمكن التسجيل عليه سوى مرة واحدة. فلا يمكن، في المناطق التي احترقت فيها طبقة الملون العضوي، العودة إلى الوراء إلى الحالة الأولى، مثلما لا يمكن صنع حطبة من فحم الخشب. ولكي يصبح محو القرص أو إعادة التسجيل عليه ممكناً انكب المصنعون على دراسة القرص CD-RW (من RW rewritable بمعنى قابل لإعادة الكتابة عليه): وهو قرص قابل للمحو وإعادة التسجيل عليه.

يكمن الفرق بين القرص CD-R والقرص CD-RW في الطبقة الحساسة (الشكل 2). ينبغي، في الواقع، أن تكون التغييرات التي يحدثها حفر القرص عكوسة. وقد أتى الحل عبر تطوير مادة ذات تحول طوري يحدثه الضوء. وتتألف هذه المادة المعقدة المتعددة البلورات من مزيج من الفضة والأنديموم

الخطوط البيضاء بينما تمتصه السوداء.

وانطلاقاً من هذه الفكرة صنعت شركة كوداك أول قرص CD-R. ويعني الحرف R هنا recordable، أي قابل للتسجيل. فالكؤيسات التي تسبب انطفاء الحزمة المنعكسة بسبب التداخل تُستبدل هنا ببساطة ببقع غامقة على سطح القرص العاكس. ويحمل القرص CD-R ثلماً حلزونياً لقيادة الرأس القارئ الذي يتحول إلى رأس حافر. وهذه بنية تشبه بنية القرص المدمج.

فما هو الفرق بين الاثنين؟ يكمن الفرق أساساً في تطبيق طبقة من ملون عضوي على هذا الثلم، حساس لدرجة الحرارة (في الأصل كان الملون هو الفورمازان formazan الذي يعطي القرص لونا أزرق مخضراً، أما اليوم فهناك مواد أخرى تلون القرص بالأصفر أو الأزرق السماوي). ويتم الحفر بواسطة تعديل شدة الحزمة الليزرية الذي تقوده أطراف الثلم الحلزوني. فطالما كانت الشدة ضعيفة، من رتبة الملي واط كما هي أثناء القراءة، يكون ارتفاع درجة الحرارة الذي تسببه الحزمة غير كافٍ للتأثير على الملون العضوي. وبالمقابل حين تزداد شدة الحزمة إلى 14 ملي واط تصبح الحرارة المركزة في محرق (بؤرة) الحزمة كافية لحرق الطبقة الحساسة فيظهر اسوداد في هذه الطبقة في النقطة التي سقط عليها الضوء. يحل في الأقراص المحفورة بهذه الطريقة



في القرصين CD R و CD RW لا تتغير سوى الطبقة الحساسة. فبنية هذين القرصين متشابهة. في كليهما طبقة عاكسة يوجد أمامها ثلم حلزوني مهمته قيادة الرأس القارئ - الكاتب بواسطة الضوء. تغطي القرص CD-R طبقة عضوية "تحرقتها" موضعياً حزمة الليزر. أما القرص CD-RW فتُستبدل هذه الطبقة بطبقة ذات تحول طوري قادرة على الانتقال من الحالة البلورية إلى اللابلورية. وتحيط بها طبقتان عازلتان ليس لهما دور مباشر في عملية التسجيل والقراءة وإنما تؤمنان التبادل الحراري للطبقة ذات التحول الطوري. وأخيراً، في كلا القرصين، تحمي هذه "السندويشة الفعالة" الرقيقة جداً طبقتان من الراتنج الشفاف لحمايتها وتؤمن لها المتانة الميكانيكية.

وفي الغد: ساعات التخزين الكبيرة جداً

• يسعى القرص DVD لأن يحل محل القرص CD كحامل لتخزين المعلومات، فبعد استفادته من الخبرة السابقة سرعان ما أصبح قابلاً للتسجيل عليه، ثم لإعادة التسجيل عليه. لكن لم يحقق بعد في كلتا هاتين الحالتين أفضل المواصفات وبالفعل فإن السعة الكبيرة جداً للقرص (9 غيغا بايت) تعود إلى أن حفره يكون أدق بمرتين من حفر القرص CD، وكذلك إلى وجود الطبقة المزدوجة على أحد وجهيه. أما الأقراص DVD القابلة للتسجيل عليها (4.7 غيغا بايت) فلا تملك سوى طبقة واحدة.

• تسبب بنية "الطبقتين" مشكلات في تطوير الأقراص القابلة للتسجيل عليها: فمن الصعب تعديل محتوى إحدى الطبقتين من دون تغيير محتوى الأخرى. ولكن يبدو أن الشركة Pioneer وجدت حلاً لهذه المشكلة، إذ أعلنت في خريف العام 2003 عن صنع أقراص DVD قابلة للتسجيل عليها مؤلفة من طبقتين وتبلغ سعتها 8.5 غيغا بايت.

• ينبغي أن يكون القرص Blu-ray، خليفة القرص DVD، في متناول اليد قريباً بشكله القابل لإعادة التسجيل عليه. وهنا يجري الحفر والقراءة بواسطة ديود ليزري أزرق. ولما كان لهذا اللون طول موجي أصغر مرتين من الطول الموجي للليزر الحمراء العادية، فإن الأتلام يمكن أن تكون أدق بمرتين. ويعد هذا القرص، بفضل سعته البالغة 27 غيغا بايت على طبقة واحدة ذات تحول طوري، القرص الوحيد الذي يتمتع بسعة كافية لتخزين الأفلام التلفزيونية العالية الدقة (المتاحة في اليابان). ولذلك يمكن أن يصبح القرص Blu-ray أساساً لجهاز التسجيل الفيديو العالي الدقة TVHD في المستقبل.

نُشر هذا الخبر في مجلة La Recherche, Février 2004



يقول صانعو المبيدات إن العديد من منتجاتهم ستتعمق بشكل أكبر إنصافاً إذا ما أخذت بيانات السمية البشرية بالحسبان.

الولايات المتحدة تبدأ بإقرار اختبار مبيدات الهوام على البشر

المبيدات الأمريكية، "تقدم استبصارات قيمة جداً لما يحدث تماماً حينما يتعرض البشر إلى سويا منخفضة من مركب ما". وهذا بحسب قوله ما يقلل موروث الارتياح في الركون إلى اختبارات الحيوانات فقط.

وثمة علماء مستقلون ساندوا هذه الصناعة بقيود حذرة، والأهم من ذلك أن مجلس البحث الوطني في تقرير عام 2004 خلص إلى أنه يمكن استخدام بيانات الاختبار البشري من قبل EPA إذا ما تمت تلبية معايير أخلاقية وعلمية صارمة.

لكن مجموعات بيئية كمجلس الدفاع عن الموارد الطبيعية NRDC ينتقدون بمرارة التجارب على البشر، فهم يقولون إن هذه الصناعة تريد إجراء تلك التجارب ليس من أجل النفع العام بل من أجل الإبقاء على المنتجات المهددة مطروحة في السوق. وهم يشيرون إلى أن استخدام البيانات البشرية

أب القادم أو أن تواجه مسألة اعتبارها محظورة أو محاصرة.

ربما، وعلى قدر مماثل من الأهمية، يمكن أن يمنح صدور سياسة رسمية من طرف وكالة الحماية البيئية تحكّم الاختبارات البشرية صكاً حكومياً غير مسبوق للموافقة على هذه الممارسة الخلافية. ويتنبأ النقاد بأن يشجع ذلك الشركات على إجراء اختبارات السمية البشرية على نطاق واسع يشمل حوالي 1200 مركب مبيد فعال مطروح الآن في السوق بهدف حلحلة تشريعها.

يقول صانعو المبيدات إن المعطيات البشرية أمر حيوي لتشريع عادل مبني على العلم فيما يخص منتجاتهم. فالاختبارات على البشر، بحسب ما يعتقد راي ماك أليستر R. McAllister، وهو مهندس زراعي ومحلل سياسة في كروب لايف أميركا، التي هي مجموعة ضغط (لوبي) تمثل صناعة

يروي ميريديث وادمان M. Wadman أن الشركات المصنعة لمبيدات الهوام تضغط بقوة لضمان إمكانية استخدام معطيات اختبارات السمية على الناس في طلبات الترخيص لها بمنتجاتها.

تترقب صناعة المبيدات بحماس صدور قرار وشيك من الولايات المتحدة. فخلال أيام معدودات يُتوقع أن تصدر وكالة الحماية البيئية (EPA) سياستها المقترحة حول استخدام مفحوصين من البشر في اختبارات لتقييم أمان المبيدات.

فالصناعة التي كلفت عشرة بلايين دولار تعلق الكثير على تفاصيل هذا التشريع. إنها تريد أن تستخدم بيانات السمية البشرية لمساعدة ما لا يقل عن عشرة مبيدات على البقاء في السوق. ويجب أن تجتاز هذه المنتجات عوائق السلامة الجديدة من طرف وكالة الحماية البيئية مع حلول شهر

المختصين بالأخلاقيات الحيوية ما يرون فيه إجراءات ناقصة المعلومات وغير كافية القدرة الإحصائية بالإضافة إلى النزاعات المالية ذات الشأن.

هناك بضع دراسات، على سبيل المثال، أجريت في بريطانيا من قبل شركة باير التي تُعدُّ أكبر شركات تصنيع المبيدات. وفي عامي 1998 و1999 دفعت للمتعاقدين أموالاً لإجراء ثلاث تجارب تحديد للجرعة البشرية باستخدام مبيدِها azinphos methyl، وهو فسفات عضوي يستخدم بنسبة 73% لصالح التفاح الأمريكي وما يفوق نصف الإحصاص والكرز والعنبيات في الولايات المتحدة. ونشير إلى أن هذا المبيد يؤدي في حال الجرعات العالية منه إلى اختلاجات وإلى الوفاة.

وفي رسالة إلى أحد المشاركين المحتملين في الدراسة، وُصِفَ هذا المبيد على أنه "عقار" يمكن أن "يتم تناوله عن طريق الفم". وفي صحيفة معلومات طوعية تخصُّ دراسة أخرى، أدرج الغثيان والإقياء والتشنجات المعوية على أنها آثار جانبية محتملة، في حين لم يدرج الوهن والعجز التنفسي أو الوفاة في القائمة.

لقد أبَت شركة باير التعليق على خصوصيات دراساتِها، ولكنها في الماضي دافعت عنها من حيث تليبيتها للمستلزمات الأخلاقية الدولية.

هذا، وقد شكَّلت هذه الدراسات جزءاً مهماً من تصدِّي شركة باير لحماية المبيد azinphos methyl من سطوة قواعد الأمان للعام 1996 المتشددة. وفي عام 2001، حظرت وكالة الحماية البيئية عشرات استخدامات للمبيدات، لكنها سمحت باستمرار تطبيقها على 15 نوعاً من المحاصيل. وهذه التطبيقات هي التي تناضل الشركة الآن لاستبقائها.

في تشرين الثاني الماضي، وفي معركة رئيسية في هذا النضال، التقى عشرات المسؤولين من شركة باير بـ 15 مشرعاً من وكالة الحماية البيئية بناءً على طلب

وينبثق النقاش الحالي من قانون عام 1996 الذي جعل من الصعب على الشركات تلبية معايير الأمان الخاصة بوكالة الحماية البيئية من خلال قصر استخدام الاختبارات على الحيوانات لوحدها. وكان الهدف من قانون حماية جودة الغذاء تشديد المعايير من أجل حماية الناس الأكثر تأثراً، مثل الأطفال والرضع، من ثملات المبيدات المتبقية على الأطعمة. لكن القانون شجَّع صانعي المبيدات على استئثاف بعض الاختبارات على البشر (الأمر الذي كانوا قد أهملوه على نطاق واسع) وعلى بَعث معطيات من دراسات تعود إلى ستينيات القرن الماضي.

وباعتبار الوكالة EPA مهتمة بهذه الجولة من الأحداث، فقد استهلَّت قرار تأجيل فعليٍّ حول استخدام بيانات الاختبار البشري في عام 1998 ثم تمَّت صياغته في عام 2001. وهنا أقام صانعو المبيدات دعوى ضد الوكالة وربحوها، ومنذ العام 2003 أخذت الوكالة البيانات البشرية على أساس فردي (بمعنى كل حالة على حدة).

وفي حزيران من هذا العام، عرضت شركات المبيدات على وكالة الحماية البيئية 24 دراسة بشرية لم يتم نشر معظمها، لكن الخصوم انتقدوا أخلاقياتها بعد أن سمحت وكالة الحماية البيئية بإنتاجها استجابة لمطالبات الكونغرس. كما انتقد بعض



يمكن أن يجيز لهذه الصناعة تحييد متطلبات إضافية تعود إلى عام 1996 وتحكم السويات المسموح بها من ثملات residues المبيدات على الأطعمة. وتضع تلك القواعد سويات أقل من قيمتها السابقة بعشر مرات- ويقول الخبراء إن البيانات البشرية يمكن أن تعكس هذا التغيير بالنسبة لمنتجات عديدة.

ويجادل بعض العلماء بأنه توجد ظروف محدودة يمكن أن تكون فيها مثل هذه الدراسات أخلاقية وأن الوكالة EPA لن تقبل بيانات منها.

يقول آلان لوكوود A. Lockwood، وهو متخصص بالأمراض العصبية بجامعة بوفالو في نيويورك فحص عن كتب الدراسات التي أجريت في الشركة، بأن "دراسات تحديد الجرعة البشرية أخفقت في تلبية المعايير الأخلاقية المقبولة على نطاق واسع لغرض إجراء البحث" وأنه "ما من ضمان بأن أي دراسة كهذه يمكن أن تكون خالية من المخاطر تماماً".

العامل البشري

إن القاعدة الجديدة لوكالة الحماية البيئية - التي ستبقى مؤقتة خلال فترة 90 يوماً من التعليق الشعبي - ستميز لحظة رئيسية في معركة سياسية مدتها عشر سنوات بين صانعي المبيدات ومنتقديهم. فقد انضم الكونغرس إلى الشجار هذا العام عندما عمل عضوان ديمقراطيان من مجلس الشيوخ على الحيولة دون تسمية ستيفن جونسون مديراً لوكالة الحماية البيئية ما لم يوافق على إلغاء الدراسة على الأطفال.

في الشهر الماضي، وضع موضع التنفيذ قانون يطلب من وكالة الحماية البيئية إنهاء هذه القاعدة خلال 6 أشهر ويمنعها من دراسة المعطيات البشرية في غضون ذلك. وقد اعتُبر مشروع القانون هذا نصراً أحرزه صانعو المبيدات عندما تمكنوا من إحباط قرار بالتأجيل لعام واحد كان النقاد قد سعوا إليه.

الشركة. واستخدم مسؤولو باير الدراسات البريطانية للجدال بأن السويات المسموح بها فيما يتعلق بالتعرض لثمالات المبيدات يجب أن تكون أعلى بمقدار 17 ضعفاً مما هي عليه حالياً. وسيصدر قرار وكالة الحماية البيئية بحلول شهر آب القادم. وفي غضون ذلك، يقول الناشطون المناهضون للاختبارات بأن القاعدة البارزة التي تقبل البيانات البشرية لدى EPA ستجعل مثل هذه الاجتماعات أمراً عادياً.

لقد تسرّبت في الشهر المنصرم مسودة قرار عن هذه التشريعات في واشنطن. وستسمح هذه التشريعات لوكالة الحماية البيئية بدراسة البيانات البشرية المستمدة من صناعة المبيدات شريطة أن

نشر هذا الخبر في مجلة *Nature*, 1 September 2005.

لقد تسرّبت في الشهر المنصرم مسودة قرار عن هذه التشريعات في واشنطن. وستسمح هذه التشريعات لوكالة الحماية البيئية بدراسة البيانات البشرية المستمدة من صناعة المبيدات شريطة أن

الإشعاع خطيرٌ حتى بجرعات متدنية

LNT، مُنوّهين بأن بعض الدراسات المخبرية والوبائية توحى بأن القليل من الإشعاع ليس بضرار بل يمكنه أن ينشط إنزيمات ترميم الدنا DNA وعمليات أخرى غيرها تقي من الهجمات اللاحقة، وهي فكرة تُعرف بالاستتفار Hormesis (سيانس، 17 تشرين الأول 2003).

ولكن التقرير BEIR VII (المؤلف من 712 صفحة) يرى أن الموديل LNT ما يزال صالحاً. ونشير إلى أن هذه اللجنة تمتلك أحدث المعطيات عن وقوعات السرطان لدى الناجين من القنبلة الذرية، كما تمتلك معلومات جديدة عن الجرعة. وكذلك، أعاد أعضاء اللجنة النظر في دراسات جديدة على عاملين في الحقل النووي وعلى أناس تعرّضوا للإشعاع الطبي، وقد دعم جميع هؤلاء رواية الموديل LNT. هذا، ويتنبأ هذا الموديل بأن جرعة وحيدة بمقدار (0.1-Sv) قد تسبب سرطاناً طيلة الحياة لشخص واحد من أصل 100 شخص. ويحذر التقرير بوجود

للأمريكان النمطيين، فإن 82% من حالات التعرض تنجم عن المصادر الطبيعية كغاز الرادون المتسرّب من الأرض؛ أما المتبقي فهو بشري الصنع، وينتج في معظمه عن الإجراءات الطبية كأشعة X.

وفي تقريرها الأخير حول الموضوع في عام 1990، أجرت لجنة BEIR حساباً للمخاطر من خلال رصد حالات السرطان والجرعات الخاصة بالناجين من القنبلتين الذريتين اللتين أُلقيتا على اليابان في الحرب العالمية الثانية. ويظهر أن الأخطار تتزايد خطياً مع الجرعة. وبالاستناد إلى الدليل المتمثل بأنه حتى الرسم track الوحيد من الإشعاع يمكنه تخريب الدنا DNA في الخلية، فقد استقرت اللجنة هذه العلاقة وصولاً إلى جرعات متدنية جداً بغية التوصل إلى ما يُعرف باسم الموديل الخطي العديم العتبة linear no-threshold model أو (LNT اختصاراً).

بيد أن بعض العلماء تحدّوا هذا الموديل

يفيد تقرير حديث لمجلس الأبحاث الوطني (NRC) في الولايات المتحدة الأمريكية بأنه على الرغم من قلة مخاطر الإشعاع بجرعاته المتدنية، فلا يوجد له مستوى للأمان. وقد أوضحت تلك النتيجة أكثر قوة خلال السنوات الخمس عشرة الماضية، على حد قول لجنة المجلس، نابذة الافتراض بأن الكميات الضئيلة من الإشعاع تكون غير مؤذية أو حتى مفيدة.

إن خطورة الإشعاع المنخفض السوية تحمل مضامين اقتصادية هائلة لكونها تصيب معايير حماية العاملين في القطاع النووي وفي قطاع تنظيف النفايات النووية. ولقد قامت لجنة التأثيرات البيولوجية للإشعاع المؤين (BEIR VII) بفحص جرعات إشعاعية في درجة 0.1 سيفيرت (SV) أو أقل (وهي درجة تعادل حوالي ضعفي الحد السنوي للعمال وأربعين ضعف الكمية الطبيعية الأساسية التي يتعرض لها الشخص بالتوسط في كل عام). وبالنسبة



مهنة محفوفة بالأخطار

تؤكد مراجعة جديدة بأن حتى المستويات الإشعاعية التي تقل عن تلك التي يصادفها العمال النوويون يمكنها أن تزيد من خطورة الإشعاع.

وجوب إجراء المزيد من الدراسة على آليات "التأثيرات الاستثنائية" المحتملة.

يقول عالم السموم إد كالابريز Ed Calabrese من جامعة ماساشوستس، في أمهرست، وهو مناصر صريح لفرضية الاستنفار، بأن اللجنة لم تفحص دراسات كافية، وأنه "قد يكون من الأفضل لو تم تنظيم المزيد من التفاصيل بدلاً من مجرد صرف النظر عن الاستنفار جملة وتفصيلاً. أما رئيس اللجنة، عالم الأوبئة في هارفارد، ريتشارد مونسون R. Monson، فإنه يقر بأن السجل الطويل الأمد حول الموديل LNT لن ينتهي بهذا التقرير، منوهاً بأن "بعض الخواطر سيتغير، وبعضها الآخر لن يتغير".

أن تؤخذ مخاطر كهذه بعين الاعتبار عندما يفكر الناس في تداول المسح التصويري المقطعي الطبقي المحوسب لكامل الجسم، باعتبار هذا المسح بدعةً حديثة وهي تصوب جرعة إشعاعية تبلغ (0.012 Sv).

وفي نفس الوقت، يذكر عضو اللجنة إيثل جيلبرت E. Gilbert (وهو عالم مختص بالأوبئة في المركز الوطني للسرطان في بيتسدا Bethesda في ماريلاند) قائلاً: "إننا لا نستطيع أن نحدد حقاً درجة الخطورة فيما يخص أقل الجرعات" فلقد فحصت لجنة BEIR أحدث دليل للعتبة. ولكنها وجدت أن الدراسات البيئية، التي توحى بأن الناس في المناطق ذات المستويات الإشعاعية العالية في بيئاتها بشكل طبيعي لا توجد لديهم مستويات مرتفعة من المرض، هي دراسات محدودة النفع لأنها لا تتضمن قياسات مباشرة لحالات التعرض الإشعاعي. وكذلك، استنتجت اللجنة أن الدراسات الحيوانية والخلوية التي توحى بوجود فوائد أو وجود عتبة دنيا للضرر هي دراسات غير "ملزمة" بالرغم من

نشر هذا الخبر في مجلة Science, 8 July 2005.

ما بعد الأسلحة النووية

القليل من التقدم في تخليص العالم من الأسلحة النووية.

لقد أوقفت القوات النوويتان الأعظم الأصليتان (الاتحاد السوفيتي السابق والولايات المتحدة) الاختبارات النووية في أوائل التسعينيات من القرن المنصرم، وهما تخفضان الآن أعداد الأسلحة في ترسانتيهما، ولكنهما ما تزالان تملكان آلاف الرؤوس الحربية، ويبدو أنهما منكبّتان على استحداث أسلحة جديدة كذلك. والأكثر إخافة أن عدد الدول التي تمتلك أسلحة نووية يتزايد أيضاً، وأن الدول الخمس

ومنذ عام 1945 شنت كذلك أعداد كبيرة من الناس، ومن بينهم العديد من الفيزيائيين الذين اشتغلوا على هذه القنبلة في لوس ألاموس، حملة ضد الأسلحة النووية.

إن النقاشات حول الأسلحة النووية تدور الآن في عالم مختلف تماماً عن العالم الذي كان موجوداً في العام 1939، حين مهر أينشتاين رسالته الشهيرة إلى الرئيس روزفلت بتوقيعه. صحيح أننا ينبغي أن نكون ممتنين لعدم استخدام قنبلة نرية في حَقّ منذ قنبلة ناغازاكي، بيد أنه لِمَا يخيب الأمل بشكل عميق عدم تحقيق إلا

لقد حدث في مثل هذا الشهر منذ 60 سنة اصطدام عالمي الفيزياء والسياسة بطريقة لن تنسى على الإطلاق. ففي السادس من شهر آب/أغسطس من عام 1945 انفجرت قنبلة نووية بقوة تساوي 30001 طن من مادة TNT فوق مدينة هيروشيما اليابانية. وبعدها بثلاثة أيام، في التاسع من شهر آب/أغسطس، دمّرت قنبلة نووية ثانية (أشد قوة من الأولى) مدينة ناغازاكي. ومنذ ذلك الحين جندت الحكومات حول العالم أعداداً كبيرة من العلماء والمهندسين لتصميم وبناء واختبار أشد الأسلحة النووية قوة على الإطلاق.



الأصلية (الصين وفرنسا وروسيا والمملكة المتحدة والولايات المتحدة) قد التحقت بها الآن كل من الهند وإسرائيل وباكستان وكوريا الشمالية وربما إيران.

يلخص ميشيل ليفي M. Levi الموقف في الولايات المتحدة، حيث قابلت إدارة بوش بشكل مفاجئ معارضة لخطتها لتطوير عابر نووي جبار للكرة الأرضية. ولكن كان هناك تأييد واسع في الولايات

المتحدة لبرنامج من أجل تصميم أسلحة تصلح لديمومة الحياة في مقابل قوة التفجير. ومن الواضح أن الولايات المتحدة لا تنوي التخلي عن أسلحتها النووية.

يصدق الشيء نفسه على المملكة المتحدة، حيث قالت الحكومة العمالية بأنها "ملتزمة بالحفاظ على الردع النووي المستقل"، وأنها "ستواصل العمل بشكل ثنائي أو من خلال الأمم المتحدة لحث الدول التي ما تزال ليست طرفاً في معاهدات عدم الانتشار النووي، ولاسيما المعاهدة (NNPT)، على الانضمام إلى تلك المعاهدة". وحسب قول مالكولم شالمرز M. Chalmers، فإن الحكومة العمالية سيكون لزاماً عليها أن تعالج موضوع كيفية استبدال صواريخ الغواصتين فانغارد وترايدنت اللتين تحملان رؤوساً حربيةً نووية بريطانية وذلك خلال الدورة البرلمانية الحالية. (أي قبل العام 2010 على أبعد حد).

وفي صفحات أخرى من عدد شهر آب/أغسطس 2005 من مجلة Physics World، ثمة شرح لكيفية بناء فرنسا والولايات المتحدة منشآت ليزر جبارة لضمان انفجار أسلحتهم النووية حينما يُفترض فيها ذلك وأن لا تنفجر حينما لا يُراد لها ذلك. وتستكشف هاتان الدولتان الإجابات الأخلاقية على هيروشيما وناغازاكي من قبل بعض أولئك الذين صنعوا هاتين القنبلتين اللتين أسقطتا على اليابان. كما يجري النظر فيما دفع علماء مانهاتن أصلاً إلى صنع القنبلة النووية والمتمثل في الخوف من إمكانية قيام هتلر بصنعها.

في عالم ما يزال فيه الملايين من البشر يعيشون الفقر ويموتون من الأمراض التي يمكن الحيلولة دونها بسهولة، وحيث تتوفر إمكانية أن يتسبب التغير المناخي بأضرار لا حصر لها على امتداد الكرة الأرضية، يكون من الفحش هدر الموارد والفطنة في تطوير أسلحة نووية جديدة أو التفكير في أساليب جديدة للاحتفاظ بالترسانات النووية الراهنة. كما أن شبح الأسلحة النووية كان وما يزال عقبة كأداء أمام جهود بناء القدرة النووية - سواء الطاقة الانشطارية أو الانشطارية العطالية. هذا، ولم تعد الأسلحة النووية تشكل أي دفاعات ضد هجمات كتلك التي وقعت في الحادي عشر من أيلول وبالي ومدريد ولندن. إن الأسلحة النووية هي دينوصورات القرن الواحد والعشرين. ولدى المملكة المتحدة فرصة المبادرة الرائدة حين أخذ قرار ترايدنت. وسيكون تخليها عن الردع خطوة جبارة إلى الأمام.

نشر هذا الخبر في مجلة Physics World, August 2005

التقنيات التي لا تستخدم الأجنة تكتسب زحماً

هناك هواجس أخلاقية فيما يخص البحوث التي تتضمن أجنة تدفع للسعي وراء طرائق أخرى لاستنطاق الخلايا الجذعية، وربما تلوم في الأفق قريباً نتائج تلك المساعي.

في وقت ما من العقد القادم ما يكفي عن "إعادة البرمجة" الخلوية هذه لتجاوز بعض الخطوات المطلوبة في الوقت الحاضر. ويتنبأ كيفين إيجان K. Eggan من جامعة هارفرد قائلاً: "سنحدث التحوّل بشكل مباشر خلال مدة 10 إلى 15 سنة ولن نعود بحاجة إلى أجنة أو خلايا بيضية إطلاقاً".

ويمكن أن يحدث ذلك في وقت أبكر على هدي تعاضم الدعم من الكونغرس والارتقاءات

جميع الجينات نفسها التي تمتلكها الخلية الجينية (ES) ولكن ما يشتغل منها يتمثل في نماذج مختلفة. ويتمنى العلماء أن يتمكنوا من التحكم بالتعبير الجيني بدقة تكفي لتحويل خلية جلدية، مثلاً، إلى سلالة مضاهية للخلايا الجذعية من الناحية الجينية genetically وبشكل مباشر.

ولئن بقي الجواب الكامل مراوفاً، فإن العديد من العلماء يعتقدون أنهم سيعرفون

في الوقت الذي يعمل فيه سكان كاليفورنيا على استقطاب تدفق المال لصالح مبادرة الخلايا الجذعية التي وافق عليها الناخبون في الولاية خلال الخريف الماضي، يتزايد الضغط السياسي في واشنطن (العاصمة) للتوصل إلى طرائق لإجراء مثل هذه البحوث دون اشتغالها على أجنة. من الناحية النظرية فإن المسألة واضحة، صحيح أن الخلية الجلدية تمتلك

الأساسية. لكن إيغان وشاد كوان C. Cowan في فريق دوغ ميلتون في هارفرد تقدما خطوة أخرى باستخدامهما مصفوفات التعبير الجيني للتوصل إلى تحاليل مفصلة للسلاسل الخلوية الهجينة. لقد وجدوا أن الخلايا لها تقريبا بروفيل تعبيرى مطابق لبروفيل الخلايا الجذعية الجنينية العادية ومخالف جدا للبروفيل التعبيري لخلايا الأرومة الليفية. يقول إيغان: "لم يعد هناك انتساخ لجينات الأرومة الليفية، ولا توجد أي عيوب في جينات الخلية الجذعية الجنينية"، ويشير بوضوح إلى أن "نواة الخلية الجذعية الجنينية تستطيع كسب المعركة" بين مجموعتي الصبغيات.

يقول إيغان إن السلاسل الخلوية المندمجة التي وصفها في الاجتماع تم صنعها بخلايا جذعية جنينية كان قد اشتقها فريق ميلتون، وإن عمله بها لم يستخدم تمويلا من NIH. ويضيف قائلاً: إن الفريق قام بتوليد سلالات أخرى مستخدماً سلالة خلوية جذعية جنينية اعتمدها المعاهد الوطنية للصحة NIH في الولايات المتحدة، وإن العمل بتلك الخلايا سيكون مؤهلاً لتمويل NIH.

يقول جورج دالي G. Daley من كلية هارفرد الطبية ومشفى الأطفال في بوسطن: "إن البيانات التي وضعها جميلة، إذ إنها تؤسس مبدأ وجود عوامل في الخلية الجذعية الجنينية البشرية سوف تعيد البرمجة، ولكن البلوى تكمن في التفاصيل". والمثال على ذلك، هل يكون دنا DNA الخلية الجذعية الجنينية مطلوباً لتحقيق إعادة البرمجة؟ وإذا كان الأمر كذلك، هل يمكن بعد ذلك إزالته من أجل خلق سلالة خلوية ذات جينوم يحوي فقط جينوم الخلية الجسدية الأصلية؟

ويتم خيار آخر لإعادة برمجة الخلايا الجسدية يمكن أن يكون مقبولاً لتمويل NIH. ويأتي هذا الخيار من ماركوس غرومب M. Grompe في جامعة أوريغون للصحة والعلوم في بورتلاند، وهو مختلف قليلاً، إذ يتبنى فكرة "النقل النووي المتناوب" التي كان وليم هارلبات W. Hurlbut، وهو فيزيائي ومتخصص بعلم الأخلاق الحيوية في ستانفورد، قد اقترحها على المجلس الرئاسي حول الأخلاقيات الحيوية في الخريف الماضي. ففي اقتراح هارلبات، سيتم حذف جينة مطلوبة للتنامي المبكر للجنين أو طردها من النواة بحيث يولد هذا النقل النووي خلية غير قادرة على التطور إلى جنين. وعارض بعض الناس الفكرة قائلين أن ذلك يمكن أن يخلق أجنة مشوهة بدلا من "الكيان غير الجنيني" الذي وصفه هارلبات.

وفي افتتاحية لمجلة Wall Street Journal الصادرة في 20 حزيران/يونيو، يقترح غرومب ومعه روبرت جورج R. George (المختص في الأخلاقيات الحيوية بجامعة برنستون في نيوجرسي) أنه بدلا من طرد جينة حاسمة خارج النواة، يستطيع العلماء زيادة تعبير جينة مثل (nanog) ذات الدور الحاسم للخلايا الجذعية الجنينية سواء في الخلية الجسدية أم في الخلية الليفية. فالاندماج الناجم عن النوعين سيولد نظريا خلية ذات نموذج تعبيرى لخلية جذعية جنينية بدلا من



العلمية الحديثة. وفي اجتماع الجمعية الدولية لبحوث الخلايا الجذعية، الذي انعقد في سان فرانسيسكو في الفترة الواقعة بين 23-27 حزيران/يونيو، عرض إيغان أعمال فريقه الأخيرة باستخدام خلايا جذعية جنينية بشرية لإعادة برمجة التعبير الجيني لخلايا الأرومة الليفية البشرية - والانتقال نحو هدف خلق سلالات خلوية متعددة القدرات من الناحية الجينية بدون استخدام خلايا بيضية أو تخليق جنين جديد. وقد استخدم الفريق مادة البولي إيثيلين غليكول لدمج صبغي الخلايا، مكوناً ما يدعى خلايا رباعية الصيغة الصبغية tetraploid. تملك ضعف العدد الطبيعي من الصبغيات. ويذكر إيغان في تقريره أن الخلايا المندمجة حينما تنمو إلى سلالات خلوية، تسلك سلوك خلايا جذعية جنينية تعبر عن جينات مميزة، وتتمايز differentiate إلى أجسام جنينية الشكل في المستنبت، وتشكل ما يدعى أوراماً مسخية teratomas في الفئران المنقوصة المناعة، ويصل الأمر حتى تشكيل بقع من الشعر على الحيوانات الصلعاء في الحالة الطبيعية.

لقد عرف العلماء طيلة سنوات عديدة أن الخلايا الجذعية الجنينية تستطيع الاندماج مع الخلايا الجسدية لتولد هجائن شبيهة بالخلايا الجذعية، وقد بينت دراسات سابقة أن عدة جينات أساسية مخصصة النسيج تنطفئ في النواة المندمجة، في حين تشتغل الجينات الجنينية

تعدو قادرة على اتخاذ جميع الأنماط النسيجية في الجسم بدون الوصول إلى الحالة الموجّهة القدرة totipotent التي تشكل فيها الخلية جنيناً جديداً كاملاً.

يبدو أن الدعم يتزايد في واشنطن كذلك. ففي 30 حزيران/يونيو، قدّم النائب روسكو بارتليت R. Bartlett فاتورة ستمولّ دراسات على الحيوان لغرض اختبار هذه الأفكار. وقال ريك سانتوريوم R. Santorum، وهو أحد أعضاء مجلس الشيوخ الأشد خصومة للبحوث الجنينية، إنه يمكن أن يُدرج تمويل مثل هذا العمل ضمن فاتورة إنفاق شاملة.

يقول دالي: "سأرحّب بأي استقطاب للموارد طالما كانت لا تستخدم لتبرير المزيد من التأخير في تمويل المنهجية التي نعلم أنها صالحة حالياً، مثل تقنية النقل النووي التي أشارت إليها تقارير علماء في كوريا الجنوبية،" فأنت هكذا تتحرك على جميع الجبهات، وفي النهاية سيستخدم العلماء ما هو أفضل".

نُشر هذا الخبر في مجلة Science, 8 July 2005

النموذج التعبيري لبيضة ملقحة للتو من الناحية الأساسية، وذلك بالانتقال مباشرة من خلية جسدية إلى خلية جذعية متعددة القدرات بدون تشكيل أي شيء يماثل جنيناً مبكراً.

وعلى الرغم من أن بعض العلماء رفضوا هذه الفكرة معتبرين أنها مجرد صف كلام لا يستحق مزيداً من المتاعب، فإن غرومب يقول إن هذه الاستراتيجية قد تكون لها مزايا عملية أبعد من إغرائها السياسي. فقد أظهرت الدراسات أن الخلايا الجذعية الجنينية هي مانحات نسيجية cloning donors أفضل من الخلايا الأكثر نضجاً، ولذلك فإن رفع مستوى جينة أساسية متعددة القدرات في خلية جسدية سوف يؤهّب الخلية ويجعل العملية أكثر كفاءة.

لقد لاقت هذه الفكرة دعماً من عدد من الأخلاقيين الحيويين المحافظين، بما في ذلك أولئك الذين عبّروا عن تحفظات حول تقنية هارلبات. يقول T. Pacholczyk، وهو متخصص في البيولوجيا الجزيئية وكاهن في المركز الوطني للأخلاقيات الحيوية الكاثوليكية في فيلادلفيا، بنسلفانيا، إن فكرة غرومب إذا صلحت، فإن النواة الجسدية ستعاد برمجتها إلى الحالة المتعددة القدرات بحيث



نتائج الهدروجين تثير الخلاف

القاعدية (n=1). ويجادل ميلز، الحائز على درجة طبية من جامعة هارفارد، بأن هذه الحالة "الهدرينوية hydrino" يمكن أن تستخدم كمصدر جديد للطاقة.

لقد تجاهل العلماء الآخرون لسنوات عديدة عمل ميلز، ولكن فيزيائي البلازما في هولندا قاموا مؤخراً بانتساخ بعض من نتائجه، رغم أنهم قد توقفوا عن الادعاء بعثورهم على دليل بوجود

أدت ادعاءات مثيرة للجدل حول حالة طاقية جديدة للهدروجين إلى موجة من العمل التجريبي والنظري. وفي سلسلة من الدراسات خلال العقد الماضي، جادل راندي ميلز R. Mills وزملاؤه العاملون في BlackLight Power بأن نتائج مجموعة متنوعة من التجارب على بلازما الهدروجين قد لا يمكن تفسيرها إلا بوجود حالة جديدة يمتلك فيها الإلكترون قدرًا من الطاقة يقل عن الحالة

أجل 3، 2، 1، n، وهلمَّ جزءاً لتشمل كل قيم [n] الأخرى التي تقابل فيها [n] حالات تباعد رياضيّاتي ليس لها معنىً فيزيائيّ.

والآن، قام جيريت كروزين G. Kroesen وزملاؤه بتكرار بعض التجارب، وقد خلص إلى القول: "لقد رصدنا تشكل بلازما هيدروجين حينما يستُخدم البوتاسيوم أو السترونسيوم في حجرة الانفراغ، وتعتبر حقيقة قيامنا برصد البلازما أمراً غريباً، ولكنها ليست مستحيلةً بشكل كليّ في إطار الفيزياء "التقليدية". وقد تكون نتائجنا مشابهة لنتائج ميلز، ولكن ليس بشكل تام، وأود من جانبي أن نقوم بإجراء المزيد من التجارب، وبالذات، أود أن أستكشف الإصدارات في مختبري الخاص للأشعة فوق البنفسجية الشديدة.

هل يعتقد كرويزن بأن الهيدريونات موجودة؟ فهو يقول: "صحيح أن التجارب التي أجريناها لم تُكذِّب نظرية الهيدريون حتى الآن، لكنها لم تُكذِّب أيضاً "الفيزياء التقليدية" بشكل قاطع. ولا بد أن يفود المشوار المزيد من التجارب.

نُشر هذا الخبر في مجلة *Physics World*, September 2005.

منخفضة، في حين يقول أندرياس راتكه A. Rathke من وكالة الفضاء الأوروبية إن ميلز قد اقتراف "خطأ حسابياً" في عمله النظري.

يقول نوتس: "في الفيزياء، التجربة هي التي تقرر ما إذا كان الهيدريون موجوداً، وفي تلك الحالة ينبغي أن نقبل تصحيحاً صغيراً في الكتب الدراسية حول ميكانيك الكم، أو ما إذا كان غير موجود، وهنا يجب علينا إيجاد حجج أنسب لتفسير سبب عدم وجودها".

ولكن راتكه يقول بأن الحل الذي وجده نوتس، قد عُرف بكونه غير فيزيائيّ. وعلاوة على ذلك، فهو يقول بأن نوتس قد وجد دليلاً لحالة جديدة واحدة فقط، في حين يقول ميلز بوجود وجود 137 دليلاً.

لم يأخذ جوردن دريك G. Drake من جامعة ويندسور في كندا بالحجج النظرية الداعمة للهيدريونات، إذ يقول موضحاً: "يتم الحصول على مستويات الطاقة في نرّة الهيدروجين من خلال حل معادلة شرودنغر القطرية على أساس [n] العشوائية، حيث [n] هي الرقم الكومومي الرئيسي، ومن ثم التوجيه بعدم تباعد التابع الموجي القطري عندما يتجه الإحداثي القطري إلى اللانهاية. ونشير إلى أن هذه الحالة تصحّ فقط من

"الهيدريونات". وقد تجدد كذلك اهتماماً لدى النظريين من العلماء.

تُعدُّ الحالة الأساسية للهيدروجين مستقرة، بمعنى أنها لا تستطيع إصدار فوتونات. ولكن ميلز يجادل بأنها يمكن أن تعاني انتقالاً غير مشع إلى حالة أدنى بمساعدة "حفاز" catalyst، بحيث يصدر طاقة خلال العملية. وفي سلسلة من التجارب باستخدام بلازما هيدروجين احتوت أيضاً على كميات صغيرة من حفاز ما، (مثل نرات البوتاسيوم أو أيونات من الهيليوم أو الأرجون أو السترونسيوم)، لاحظ ميلز وزملاؤه عدداً من الظواهر التي لا يمكن (على حدّ زعمه) تفسيرها من خلال الفيزياء البلازمية والنوية المعتادة. وتتضمن هذه الظواهر تكوين البلازما في غياب مصدر قدرة بلازمية تقليدي، وإصدار إشعاع عند أطوال موجية فوق بنفسجية شديدة حسبما تنبأت نظرية الهيدريون، وتكوين أنواع ومركبات هيدروجينية جديدة.

لقد اختلطت ارتكاسات النظريين من العلماء. إذ يجادل جان نوتس J. Naudts من جامعة أنتويرب في بلجيكا بأن ميكانيك الكم يسمح فعلاً بوجود حالة هيدريون كاملة

أوروبا تخطط لمنشأة اندماج ليزري



أبحاث الاندماج، كما يدعم التجارب في مجالات أخرى في الفيزياء. وقد يتم بناء هذه المنشأة وتشغيلها بطول منتصف العقد القادم. سيتم استخدام الليزر من أجل ضغط وتسخين كبسولة صغيرة من الدوتريوم والتريتيوم، إلى أن تصبح النوى ساخنة بما يكفي

تقدّم علماء فيزياء الليزر في أوروبا بخطط لبناء منشأة تكلف 500 مليون جنيه إسترليني من أجل دراسة مقارنة جديدة للاندماج الليزري. وتعتقد لجنة علماء من سبع دول في الاتحاد الأوروبي بأن بناء منشأة لليزر سريعة الإشعال يمكن أن يقدم إسهاماً هاماً في

المقاربة التقليدية، مما يعني أنها أقل تكلفة بشكل ملحوظ.

ويقول هتشنسون: "إن مشكلة الطاقة مسألة عاجلة بالقدر الذي يكفي لعدم تحمّلنا تجاهل مقاربات مختلفة للاندماج". كما يؤكد أن أي ليزر سريع الإشعاع سيكون منشأة مدنية وسيكون متاحاً للبحوث في الفيزياء الفلكية astrophysics، والفيزياء الذرية والنوية على حدّ سواء.

لقد تمّ عرض الإشعاع السريع للمرة الأولى من قبل روسيوك كوداما R. Kodama ومعاونيه على الليزر جيكو Gekko XII في جامعة أوساكا في اليابان في العام 2001، والذين عملوا مع فريق من العلماء البريطانيين. ويعمل كوداما وزملاؤه حالياً على تحديث منظومتهم الليزرية من أجل الاقتراب من نقطة التوازن التي يتساوى عندها خرج الطاقة energy output مع الطاقة المطلوبة لصون التفاعل. إنهم يخطّطون لمزيد من تحسين منظومتهم وصولاً إلى الإشعاع الذي يحدث عندما تولد تفاعلات الاندماج طاقة تكفي لصون تلك التفاعلات دونما حاجة للمزيد من التسخين. وأخيراً، فهم يأملون ببناء منشأة إثبات للإشعاع السريع. ونشير إلى أن الفيزيائيين في الولايات المتحدة يدرسون موضوع الإشعاع السريع كذلك.

أما HiPER، حسبما يسمّيه المُقترح الأوروبي بشكل مؤقت، فسوف يُصمّم لتحقيق مكاسب "طاقية" كبيرة تزوّد الخطوة الانتقالية الحرجة بين الإشعاع ومفاعل الإثبات هذا. وهو سيتألف من ليزر طويل النبض Long pulse ذي طاقة تبلغ 200 kJ من أجل ضغط الوقود، ومن ليزر قصير النبض Short pulse ذي طاقة تساوي 70 kJ من أجل تسخينه.

وإذا استطاع هتشنسون وزملاؤه إقناع مجالس الأبحاث عبر أوروبا بدعم مقترحهم، فقد يتاح البدء في الإنشاء بنهاية العقد الحالي تقريباً. ورغم أن تقرير اللجنة لا يناقش المكان الذي ينبغي فيه بناء الليزر، فقد تكون المملكة المتحدة منافسة في استضافة المنشأة.

ويدعم كوداما هذا المقترح بقوة، ولكنه يؤكد على الحاجة إلى تنامي التعاون بين الباحثين الأوروبيين واليابانيين.

نُشر هذا الخبر في مجلة *Physics World*, September 2005



سبيل جديد للطاقة: لقد جرى عرض تقنية الإشعاع السريع باستخدام ليزر Gekko XII في جامعة أوساكا في اليابان.

لأن تعاني اندماجاً نووياً وتولّد الهيليوم والنترونات. وفي المفاعل، يمكن أن تستخدم طاقة النترونات في توليد الكهرباء بدون انبعاث غازات الدفيئة أو تولد نفايات نووية طويلة العمر.

إن المقاربة الأكثر تقدماً لتحقيق الاندماج تتضمن استخدام الحقول المغنطيسية لحصر بلازما (التريتيوم-الدوتريوم). وهذا هو السبيل الذي ستعتمده ITER، والذي سيكلف 10 بلايين دولار وصولاً لبناء المنشأة وتشغيلها. أما البديل المتمثل في تقنية "الحصر العطالي inertial confinement"، والتي تستخدم الليزر أو الحزم الأيونية بدلاً من المغناط من أجل حصر البلازما، فسوف تدرسه المؤسسة الوطنية للإشعاع (NIF) في الولايات المتحدة ومؤسسة ميغاجول ليزر (LMJ) في فرنسا. ولكن هذين الليزرين اللذين تبلغ تكلفتها بليون دولار سيستخدمان بشكل أساسي لأغراض أبحاث الأسلحة النووية، مع إبقاء 15% فقط من الوقت متاحاً لأغراض القطاعات الفيزيائية الأخرى.

وفي المقاربة التقليدية لتقنية الحصر العطالي، والتي ستستخدم لدى (NIF) و (LMJ)، فإن الليزر التي تضغط كبسولة الوقود سوف تسخنها أيضاً. أما مقاربة الإشعاع السريع، التي اقترحتها لأول مرة ماكس تاباك M. Tabak من مخبر لورنس ليفرمور الوطني في الولايات المتحدة، فإنها تستند إلى ليزرات مختلفة لتلك المرحلتين. وطبقاً لرأي هنري هتشنسون H. Hutchinson من مخبر رنرفورد أبلتون Rutherford Appleton في المملكة المتحدة الذي أعدّ اللجنة الأوربية، فإن الإشعاع السريع يتطلب طاقة ليزرية أقل مما تتطلبه

فيلسوف الكم

توني ليفيت T. Leggett المتخصص في الكلاسيكيات الذي أصبح فيزيائياً يُخبر إيدويت كارنيليدج E. Carnielli لماذا أيام علم ميكانيك الكم قد تكون معدومة.



يعتقد توني ليفيت أنه يمكن استبدال علم ميكانيك الكم بنظرية "عينية واقعية".

أن الفيزيائيين على الدوام أناسٌ مهرة الأيدي مثل المهندسين في حين كنت أخرج اليد جداً. وعضواً عن ذلك ركز ليفيت على الكلاسيكيات (التاريخ والفلسفة) وتخرج بالدرجة الأولى بين المتفوقين من جامعة أكسفورد للعام 1959.

وعلى الرغم من أن الفلسفة كانت موضوعه الأقوى، لم يستطع ليفيت أن يتصور لنفسه سيرة فيلسوف لأنه كان يشعر أن مادة الفلسفة تعتمد على صيغ العبارات أكثر من اعتمادها على معايير موضوعية. فتحوّل عوضاً عن ذلك إلى الفيزياء وحصل على درجة علمية في هذا الموضوع بعد سنتين فقط بالرغم من أنه كان عليه "إقناع الناس أن الانتقال بين الموضوعين لم يكن غيباً كاملاً".

لقد أثمر هذا الإقناع. فبعد حصوله على درجة دكتوراه من جامعة أكسفورد أمضى 15 عاماً في جامعة ساسكس حيث أنجز بحثه حول نظرية السيولة الفائقة superfluidity في الهليوم-3 الذي حاز عليه جائزة نوبل قبل انتقاله إلى موطنه الحالي (جامعة إلينوي في أوربانا شامبين) عام 1983. وتتضمن اهتمامات أبحاثه هناك الناقلية الفائقة في درجات الحرارة العالية والسيولة الفائقة في الغازات الكمومية والأسس المتعلقة بمفاهيم علم ميكانيك الكم.

يعتقد ليفيت أن إحدى طرق التوفيق بين القوانين الغريبة لعلم ميكانيك الكم وخبرتنا اليومية تتمثل في الاعتماد على التأويل

في نفس الوقت ("حالة تراكب")، في حين تظهر أجسام يومية مثل القطط موجودة في كل زمان بحالة واحدة جيدة التحديد؟

يمكن الحل الأكثر قبولاً لهذه المسألة في ظاهرة نزع الترابط decoherence. وبكلمات أبسط: عندما يتجاوز شيء ما حجماً معيناً، فإن تآثراته interactions مع الوسط تمحو صفاته الكمومية. لكن ليفيت لا يقبل بهذا، فهو يقول: "لسنا مخولين أن نؤول الشكلية formalism الميكانيكية الكمومية لدى انتقالنا من المستويات المجهرية إلى المستويات العينية لمجرد أن الدليل الموجود لدى المستوى الأول لم يعد موجوداً لدى المستوى الثاني".

ولم يعر اهتماماً لفكرة وجود عدد لا محدود من الأكوام نابذاً التأويل المتعدد العوالم لميكانيك الكم باعتباره "شكلاً أخرق لبهجة لفظية".

وعوضاً عن ذلك، فإنه يعتقد أن علم ميكانيك الكم إما أن يكون وصفاً غير مكتمل للطبيعة أو أنه لا يتعدى "وصفة" رياضية mathematical recipe.

بدايات غير تقليدية

لدى ليفيت البالغ من العمر 67 سنة خلفية متميزة غير عادية لفيزيائي رائد. فبالرغم من أن والده اضطلع بتدريس الفيزياء والكيمياء والرياضيات في إحدى المدارس، لم يكن لدى ليفيت أي اهتمام بالفيزياء في شبابه. فهو يقول "كنت أظن

لدى توني ليفيت سؤالان يود طرحهما على جماهير الفيزيائيين. يتعلق الأول بتجربة الشق المزدوج باستخدام الإلكترونات المنفردة: هل يمر كل إلكترون عبر أحد الشقين ليشكل نموذج التداخل؟ ويتعلق الثاني بتجربة شرودينغر الشهيرة مع قطة في صندوق: هل ستكون القطة بشكل مؤكد حية أم ميتة قبل فتح الصندوق؟

يميل الفيزيائيون إلى الانتباه عندما يسأل ليفيت سؤالاً ما. وحتى قبل المشاركة في العام 2003 بجائزة نوبل لقاء "إسهاماته الرائدة في نظرية النواقل الفائقة والسوائل الفائقة"، فقد كان ليفيت حجة عالمية في تفسير علم ميكانيك الكم وكذلك في نواح أخرى تتعلق بفيزياء المواد المكثفة ودرجات الحرارة المنخفضة. أما الآن، وبعد حصوله على جائزة نوبل فقد أصبح حضوره مطلوباً بشكل أكبر في المؤتمرات وحلقات البحث عبر العالم.

حينما سأل ليفيت هذين السؤالين في اجتماع الفيزياء للعام 2005 في جامعة وارويك الذي انعقد في أوائل هذه السنة، أجاب الجميع تقريباً بـ"لا" على السؤال الأول، ولكن نصف الحضور أجاب بـ"نعم" على السؤال الثاني.

ويقول ليفيت إن هذه الإجابة معقولة إلى حد ما وتوضح التناقض الموجود في صميم علم ميكانيك الكم؛ إذ كيف يمكن لكيانات مجهرية (مكروسكوبية) مثل الإلكترونات والفوتونات أن توجد في حالتين مختلفتين

لقد اجتاز علم ميكانيك الكم جميع التحديات حتى الآن ويعتقد ليغيت أنه يمكن لأشكال نظرية أكثر تعقيداً من هذه التجارب أن تستبعد خلال 5-10 سنوات النظريات العيانية الواقعية الحالية. ويبين أنه مادامت القطة تحتوي تقريباً 10^{24} من الجسيمات وحيث إنه جرى رصد حالات تراكب ذات 10^9 من الإلكترونات، فإن السلوك الكوموي يكون قد رُصد لدى ما يقرب من 40% من المستوى الماكروسكوبي ولو على مقياس لوغارتمي.

وحتى إذا لم تتوافق تجارب المستقبل مع تنبؤات علم ميكانيك الكم فإن ليغيت يظن أن الكثير من الفيزيائيين سيترددون في قبول النتائج وسيفضلون البحث عن أخطاء في التجربة وليس في النظرية. ويقول في هذا الصدد: "سيمر جيل قبل أن يتم إقناع الناس حقيقة".

حرية ارتكاب الخطأ

يبقى أن نرى ما إذا كانت أية نظرية عيانية واقعية تصمد أمام اختبار الزمن. على أية حال، لقد كانت هناك إمكانية لتعريض النظريات والأفكار لاختبارات تجريبية كانت في البداية قد جذبت ليغيت إلى الفيزياء النظرية وليس الرياضيات التي فكر في الانتقال باتجاهها يوم كان في الجامعة. وهو يقول: "شعرت أنك إذا أخطأت في الرياضيات، فذلك يعني أنك غبي". "لكنني أردت أن أقوم بأعمال حدس غير تافهة بالنسبة للعالم وألا أعتبر غيباً. ومن الممكن في الفيزياء أن تقوم بأعمال حدس بالنسبة للعالم تبدو في حينها مستحسنة جداً ولكنها لا تطابق فعلياً الكيفية التي تنظم العالم".

نُشر هذا الخبر في مجلة *Physics World*, August 2005

"الإحصائي" لنظرية الكم. بعبارة أخرى، يمكن تبني فكرة كون نظرية الكم ليست وصفاً للواقع الخارجي، بل هي مجرد أداة يمكنها تقديم تنبؤات دقيقة إلى حد كبير لنتائج تشكيلة من التجارب. وعلاوة على ذلك، ووفقاً لهذا التأويل فإن أفكاراً مثل ساعات الاحتمال prob-ability amplitudes لا تقابل أي شيء في "العالم الحقيقي". لكن ليغيت يعترف أن مثل هذا التأويل "غير مرضٍ بشكل كبير" وأنه يقبله بتردد.

وهو يقول أن البديل يكون بأن يحل محل علم ميكانيك الكم نظرية "حقيقية عيانية" macrorealistic تحافظ على تنبؤات علم ميكانيك الكم على المستوى الذري، وتقدم آلية فيزيائية لتفسير السلوك العياني (الماكروسكوبي). هذا وتتنوع تفاصيل هذه الآلية من نظرية إلى أخرى (إذ تغني بعض النظريات علم ميكانيك الكم في حين تحاول نظريات أخرى أن تحل محله).

يعتقد ليغيت أنه سيكون من الممكن الاختيار بين علم ميكانيك الكم والبديل العياني الواقعي عبر قياس الخواص الميكانيكية الكمية للأجسام العيانية الواقعية. وإذا استمر رصد تأثيرات التداخل الكوموي فوق مستوى معين "للعيانية macrorealistic"، فعندئذ يثبت تبرير علم ميكانيك الكم. أما إذا لم يتم ذلك، فإن على الفيزيائيين حسبما يقول ليغيت أن يقبلوا وجود الحاجة إلى نظرية الاستبدال.

لقد تحقق إنجاز العديد من التجارب على هذين المسارين؛ فأظهرت مجموعات مختلفة تراكبات superpositions تتدفق فيها تيارات تحتوي 10^9 من الإلكترونات في اتجاهات متقابلة حول دارة ناقلة فائقة في آن معاً، بينما لاحظ آخرون تأثيرات تداخل كمومي في تجارب تحوي جزيئات الكربون 70.

الكلور

ومن النظائر المشعة السبعة للكلور، يمتلك واحدٌ منها فقط عمر نصف طويل يكفي لیسوُغ الاهتمام. أما عمر النصف لدى جميع النظائر الأخرى للكلور فإنه أقل من ساعة واحدة. ويضمحل الكلور-36 بعمر نصف يساوي 300,000 سنة عن طريق إصدار جسيم بيتا وأسر إلكترون، مع الإشارة إلى أن أغلب الاضمحلات (98%) تحدث عن طريق إصدار جسيم

مستحبة. وبكثافته الأكبر بمرتين ونصف من كثافة الهواء، يظهر الكلور في الطبيعة على شكل نظيرين مستقرين (النظائر هي أشكال مختلفة من عنصر ما تمتلك العدد نفسه من البروتونات في النواة ولكنها ذات عدد مختلف من النيوترونات)، وأكثر الأشكال المستقرة شيوعاً هو الكلور 35، الذي يؤلف حوالي 76% من الكلور الطبيعي مع الكلور 37- إذا ما قورن بالبقية.

الرمز:	Ci
العدد الذري:	17
(عدد البروتونات في النواة)	
الوزن الذري:	35
(موجود بشكل طبيعي)	

ماهيته

يكون الكلور في شكله النقي غازاً أصفر مائلاً للخضرة مصحوباً برائحة خانقة وغير

وفي قتل البكتيريا ذات السوية المؤذية (مثل السلامونيلا والإيشيريكية القولونية) أثناء تحضير الطعام لدى المطاعم وفي مصانع تعليب الدواجن واللحوم. وهو يستخدم أيضاً في تصنيع مساحيق التبييض، والمنظفات المنزلية، والأصباغ والمتفجرات والأقمشة والمواد الصيدلانية والمطاط الصناعي والورق والمنتجات النفطية واللدائن والغازات السامة. وقد تم استخدام الهيدروكربونات المكلورة على نطاق واسع كمبيدات حشرية، حيث جعلت منها ديموميتها الطويلة الأمد ملوثات بيئية مزعجة. إن مبردات الفريون هي هيدروكربونات تفاعلت مع الكلور والفور، أما رباعي كلوريد الكربون أو ثلاثي كلوروايثيلين فهما مذيبان شائعان.

وجوده في البيئة

يوجد الكلور في صخور القشرة الأرضية بتركيز يناهز حوالي 170 مليغرام لكل كيلومتر (ملغم/كغم)، أما تركيزه في مياه البحر فإنه يبلغ حوالي 20 غرام/لتر. ويشكل الكلور في المياه النقية كلورا عنصرياً (Cl₂)، وأيونات كلور (Cl⁻) وحمض هيبوكلوريك (HOCl). هذا، ويوجد الكلور 36- في موقع هانفورد على شكل شائبة تصاحب المفاعلات المهدأة بالغرافيت. وبينما هو يلتصق بجسيمات التربة بشكل تفضيلي، فإنه يُعدّ واحداً من النكليدات المشعة الأكثر حركية، وهو يستطيع أن ينتقل إلى الأسفل (بشكلٍ تحتّي) مع المياه الراشحة إلى التربة التحتية والمياه الجوفية. ولا يُعدّ الكلور 36- بشكل عام شائبة رئيسية في المياه الجوفية في مواقع وزارة الطاقة، ويُعزى هذا بشكل أساسي إلى وجوده المحدود في النفايات والتربة، وتجعل منه حركيته مع عمر النصف الطويل الذي يتميز به نكليداً مشعاً ذا أهمية محتملة بالنسبة للخيارات الإدارية البعيدة المدى المتعلقة بالنفايات المصاحبة للمفاعلات المنتجة للبلوتونيوم المتوقفة عن العمل في موقع هانفورد.

الخواص الإشعاعية للنظائر الأساسية للكلور						
النظير	عمر النصف (yr)	التشاحل النوعي (Ci/g)	نمط الاضمحلال	الطاقة الإشعاعية (MeV)		
				ألفا	بيتا	غاما
كلور-36	300.000	0.033	β, EC	-	0.027	<

CE = أسر الإلكترون، Ci = كوري، g = غرام، MeV = مليون فولت إلكتروني، الشُرطة تعني أن العملية ليست قابلة للتطبيق. "<" تعني أن الطاقة الإشعاعية أقل من 0.001 MeV. (.....). يتحلل الكلور 36- عن طريق إصدار جسيم بيتا (98%) وكذلك أسر الإلكترون (2%). أعطيت القيم مقربة إلى أهم منزلتين عدديتين.

البلوتونيوم (في المنطقة رقم 100 في موقع هانفورد) بغاز الكلور بدرجات حرارة عالية بغية التخلص من شوائب البورون (الذي يُعدّ مادة ماصة جيدة للنترون). إن مقداراً قليلاً من الكلور قد تبقى في الغرافيت الذي جرى تحميله إلى المفاعلات النووية. فعندما ينشط نكليد انشطاري مثل نرّة يورانيوم 235-، ينفلق عموماً بشكل لا متناظر إلى شدفتين كبيرتين (هما ناتجتان انشطارتان تتصفان بعددي كتلة في حدود 90 إلى 140) وإلى نترولين أو ثلاثة. (عدد الكتلة هو مجموع عدد البروتونات والنترونات في نواة النرّة). هذا، ويمكن أن تسبب هذه النترونات انشطارات إضافية (تولد تفاعلاً تسلسلياً). وتتسرّب من المفاعل، أو تشعّع مواد مجاورة. أما الكلور 35- المنبقي في مهدئ moderator الغرافيت فإنه يمتص النترونات ليصبح كلور 36-. وهكذا، يكون الكلور 36- موجوداً في مهدئ الغرافيت لدى تلك المفاعلات المتوقفة عن العمل وكذلك في نفايات معينة مصاحبة لتشغيلات سابقة لمفاعل ما، بالإضافة إلى النفايات الناتجة عن أنشطة إيقاف العمل اللاحقة، بما في ذلك الغرافيت المُستنفد (المُستهلك).

كيفية استخدامه

يوجد للكلور عدة استخدامات صناعية وتجارية. أما استخدامه الأهم فهو كمعقم، ولقد تمّ استخدامه لهذا الغرض ضد تشكيلة واسعة من الالتهابات المهددة للحياة وكذلك ضد الفيروسات والبكتيريا لما يزيد عن 150 عاماً. ويُستخدم الكلور في تعقيم المياه المستخدمة لأغراض الشرب والسباحة،

بيتا. ويوجد الكلور 36- في موقع هانفورد كشائبة في مفاعلات إنتاج البلوتونيوم السابقة التي توقفت استخدامها حالياً. هذا، ويحدّ من المخاطر المرتبطة بهذا النكليد المشع عمر النصف الطويل للكلور 36- (بما يتميز به من نشاطه النوعي المنخفض تبعاً لذلك) مترافقاً مع الطاقة المنخفضة نسبياً لجسيم بيتا الخاص به ومع الكمية القليلة من إشعاع غاما كذلك.

مصدره

يُعدّ الكلور عنصراً نشيطاً جداً لا يوجد في الطبيعة بشكل غير متحد، إذ يتحد عادة مع عناصر كالصوديوم والبوتاسيوم والمغنيزيوم. أما أكثر مركّبات الكلور شيوعاً فهو كلور الصوديوم (ملح الطعام)، الموجود في مياه البحر، وأبار الملح، ومكامن الملح الكبيرة، ويتلازم مع كلوريدات أخرى. ويجري إنتاج الكلور تجارياً بواسطة التحليل الكهربائي لكلوريد الصوديوم، كما يمكن إنتاجه أيضاً عن طريق أكسدة كلوريد الهيدروجين في حمض كلور الماء. ونشير إلى أن الكلور 36- يتولد في الجو عن طريق تشظية غاز الأروغن 36- بواسطة بروتونات الأشعة الكونية، أما في التربة والصخور فإنه يتشظى بواسطة التنشيط النتروني للكلور 35-. وقد تمّ إنتاج كميات ضخمة من الكلور 36- بفعل تشعيع مياه البحر خلال بعض الاختبارات للأسلحة النووية التي أجريت بين العامين 1952 و 1958.

لقد عولج الغرافيت المستخدم كمادة مهدئة للنترونات في مفاعلات إنتاج

آثاره الصحية الأساسية

لا يعتبر الكور خطراً على الصحة إلا إذا تم إدخاله إلى الجسم. ولا يُعدُّ التعرض الخارجي لأشعة غاما أمراً مقلقاً، لأن الكور -36 يضمحل بإصداره جسيمات بيتا منخفضة الطاقة نسبياً مع كمية صغيرة جداً فقط من إشعاعات غاما. وعندما يكون في الجسم، يمثل الكور خطراً على الصحة بسبب جسيمات بيتا وإشعاعات غاما. أما الهمُّ الصحي الأكثر إثارة للقلق فإنه يتمثل في الاحتمال المتزايد للإصابة بالسرطان. وكذلك يُعدُّ الكور غازاً عالي السُمِّية، ويمكن أن يسبب التعرض الحاد لمستويات عالية منه ضيقاً في التنفس ومن ثمَّ الموت.

خطورته

لقد تمَّ حساب معاملات الخطورة العمرية للوفاة بسبب السرطان بالنسبة لجميع النكيدات المشعة تقريباً، بما في ذلك الكور (المؤطر2). وفي الوقت الذي تكون فيه معاملات الابتلاع أقل من معاملات الاستنشاق، فإن الابتلاع يعتبر الوسيلة الأكثر شيوعاً في دخوله إلى الجسم عموماً. وعلى غرار النكيدات المشعة الأخرى، تبلغ معاملات الخطورة بالنسبة لمياه الصنبور حوالي 75% من تلك التابعة للابتلاع الغذائي. وبالإضافة إلى خطورته الإشعاعية المسرطنة، فقد تبين أنَّ الاستنشاق المزمّن للكور يخفض من أوزان الأعضاء والجسم لدى الحيوانات، ولاسيما في حالة الجرعات المرتفعة. وتُعرّف القيمة السُمِّية لتقدير احتمالية الآثار اللاسرطانية non-cancer الناتجة عن التعرض المزمّن بالجرعة المرجعية (RfD)، وهذا تقدير لأعلى جرعة يمكن أن يتم تناولها يومياً طيلة العمر دونما حدوث تأثير جانبي صحي. وتبلغ الجرعة المرجعية عن طريق الفم المستخدمة في تقدير التأثيرات اللاسرطانية للكور ما مقداره 0.1 ملغرام لكل كيلوغرام من وزن الجسم في كل يوم (ملغم/كغم-يوم). وقد تمَّ وضع هذا التقدير للجرعة المرجعية من خلال تحليل الآثار البيولوجية لحيوانات اختبار تمَّ إعطاؤها كميات كبيرة من الكور. وجرى تعديل النتائج وتنظيمها فيما بعد على أساس ملغم/كغم-يوم بالنسبة للجنس البشري.

نُشر هذا الخبر في مجلة ANL, October 2001

معاملات الخطورة الإشعاعية

يقدم لنا هذا الجدول معاملات خطورة منتقاة بالنسبة للاستنشاق والابتلاع (لم تتوفر أنماط امتصاص مَعْبِية)، وقد استُخدمت قيم حمية بالنسبة للابتلاع. المخاطر متمثلةً بخطر الوفاة بالسرطان على امتداد العمر لكل وحدة كمية (بيكوكوري، pCi)، باستخدام معدلاتها بالنسبة لجميع الأعمار وكللا الجنسين (10^{-9} تساوي بليون أو مليار 10^{12} تساوي تريليون). أما بالنسبة للقيم الأخرى، بما في ذلك المرضية منها، فهي متاحة أيضاً.

درجة الخطورة العمرية للهواة بالسرطان		التنظير
الابتلاع (pCi^{-1})	الاستنشاق (pCi^{-1})	
$10^{-12} \times 2.9$	$10^{-11} \times 9.6$	الكور - 36

قيمة السمية الكيميائية

التأثير اللاسرطاني الجرعة المرجعية الفموية Oral RfD

0.1 ملغم / كغم - يوم

سيرورته في الجسم

يمكن أن يدخل الكور إلى الجسم عن طريق تناول الطعام وشرب الماء أو حتى استنشاق الهواء. ويُعدُّ الامتصاص المعوي المعدي من الطعام والماء المصدر الأساسي للكور المتراكم داخلياً في عموم الناس. ويُعدُّ الكور مادة غذائية أساسية في قوت البشر، كما أنه ضروري من أجل صحة الجهازين الهضمي والعصبي. وفور دخوله، يسلك الكور -36 في الجسم بالطريقة نفسها التي تسلكها بقية نظائر الكور. ويتم امتصاص معظم الكور بشكل تام عند الامتصاص، فيتحرك بسرعة من القناة المعوية إلى مجرى الدم. ويتم بسرعة توزيع الكور -36 الذي يلج إلى مجرى الدم بعد الابتلاع أو الاستنشاق إلى جميع الأعضاء والأنسجة في الجسم. كما يتم التخلص من الكور -36 إلى خارج الجسم بعمر نصف بيولوجي يساوي 10 أيام.



تقييم سلالات شعير مضاعفة مختزلة الصيغة الصبغية وأخرى طافرة لخصائصها الزراعية ولقاومتها لمرض السفحة

د.محمد عماد الدين هراي، محمد جواهر

قسم البيولوجية المزيئية والتقانة الحيوية

هيئة الطاقة الذرية - ص. ب 6091 - دمشق - سورية

الشعير محصول حقل يزرع في العالم على نطاق واسع. أجري بحث حقل في ضمن ظروف العدوى الطبيعية ولعامين متتاليين في المحطة الرئيسية لإيكاردا في شمال غرب سورية. وذلك لتقييم سلالات شعير مضاعفة مختزلة الصيغة الصبغية وسلالات أخرى طافرة لخصائصها الزراعية (النتاج الحي، طول النبات وعدد الأيام للتسبل) ولقاومتها لمرض السفحة (*Rhynchosporium secalis*). وجدت فروق معنوية بين السلالات في النسبة المئوية لسطح الورقة المصاب. على أية حال، أبدت السلالات المختبرة مدى مستمراً من الاستجابة من عالٍ لقابلية الإصابة إلى مقاوم للمرض. أبدت سبع سلالات نسبة مئوية منخفضة معنوياً لسطح الورقة المصاب بالمرض بالمقارنة مع السلالات الأخرى والذي ترافق مع نتاج حبي وباكورية كاملة. ولهذا من الممكن اعتبارها كمانع محتمل في برامج مستقبلية لتربية الشعير.

الكلمات المفتاحية: شعير *Hordeum vulgare L*. فطر *Rhynchosporium secalis*. مضاعفات الصيغة المختزلة، طافرات-مقاومة.

مقدمة

تعدُّ سفحة الشعير التي يسببها العامل الممرض الفطري *Rhynchosporium secalis* مرضاً ورقياً هاماً يحدث بشكل متكرر في الأجزاء الباردة ومتوسطة الرطوبة من مناطق زراعة الشعير في العالم، وهو ذو تأثير معنوي ضار في كل من النتاج والنوعية [1] الفاقد الأولي الناجم عن السفحة هو خفض النتاج (الإنتاجية) والذي قد يتجاوز 20% [2].

تشكل السفحة في سورية مشكلة خطيرة وبخاصة في المناطق الشمالية والشمالية الغربية ذات المناخ الحار والرطب [3] يُعدُّ الشعير أحد المحاصيل الحبية الهامة في سورية، حيث تزرع منه سنوياً مساحة تتراوح ما بين 1.5 وحتى 2 مليون هكتار غالباً ما تكون ضمن شروط الزراعة البعلية [4]. قد يكون لتغير النظم الزراعية وبخاصة استبدال دورات الشعير وأصنافه التقليدية تأثير معنوي كبير في أمراض النبات [3].

ويعدُّ تطوير أصناف مقاومة من أكثر الوسائل فاعلية للسيطرة على مرض السفحة [5]. وقد تم في عديد من البلدان تحديد مصادر

مقاومة لهذا المرض [7,6]. على أية حال، لم يجر بعد تحديد مصادر مقاومة تامة للسفحة، وتعتبر الأصناف السورية الحالية ذات مقاومة متوسطة فقط تجاه هذا المرض. هذا وقد جرى تحديد مورثات رئيسية مختلفة عن صفة المقاومة لعترات خاصة من الفطر *R.secalis* [10,9,8].

وإنتاج سلالات مضاعفة مختزلة الصيغة الصبغية وكذلك التربية بالتطعيم هما تقنيتان مستخدمتان حالياً بشكل واسع في برامج الانتخاب والتحسين الوراثي للشعير، حيث أمكن استخدام التقنية الأولى للحصول على سلالات تركيبية مقاومة لمرض تخطط أوراق الشعير [11]. والبياض الدقيقي [12]. كذلك استخدمت التقنية الثانية (التربية بالتطعيم) لتطوير سلالات من الشعير مقاومة لمرض البياض الدقيقي [13].

أجريت هذه الدراسة للتحقق من سوية مقاومة السفحة لدى سلالات شعير نتجت عن تربية أصناف شعير مستخدمة حالياً في أوروبا وغرب آسيا بغية إيجاد مصادر جديدة مقاومة للسفحة توجد ضمن خلفيات وراثية متكيفة وفي أنماط نباتية ذات مواصفات محصولية مقبولة لدى الزراع.

المواد والطرائق

المواد النباتية

بدأت هذه التجربة باستخدام 122 سلالة شعير [14]. وتمثل أصناف وسلالات الشعير المستخدمة تبايناً وراثياً واسعاً من حيث قابلية إصابتها بالأمراض الورقية. اختبرت كل سلالة لمدة 6 سنوات في مواقع مختلفة في سورية. واعتماداً على الخصائص الزراعية (مقاومة المرض وإنتاج غلة عالية) اختيرت 18 سلالة من أجل غربلتها لمقاومة السفحة، علماً أن 11 من هذه السلالات كان قد نشأ بالتجين بين طرز الشعير المزروع H. vulgare والشعير البصيلي H. bulbosum. وقد تم إنتاج هذه الهجن من خلال تهجينات أجريت بين عشرة أصناف مختلفة من الشعير ممثلة لتباين وراثي عال (الجدول 1). وأما السلالات السبع الأخرى فقد تم الحصول عليها بالتطعيم باستخدام أشعة غاما.

أداء الشعير المستخدمة للحصول على سلالات مضاعفة الصيغة الصبغية المختزلة والحصول على طفرات جرى اختبارها في هذه الدراسة.

البلد	نموذج الصف	الطرز الوراثي
USA	6	Arrivate
France	6	A79-ED047
Germany	6	Banteng
Ethiopia	2	CI - 5791
France	6	DORS 51-76-10
France	6	Furia
England	2	Golf
France	6	Massif
Belgium	6	Smash
France	6	Thibaut

الموقع التجريبي والتصميم

أجريت التجارب ولموسمين (1996-1995 و 1997-1996) ضمن ظروف الزراعة البعلية الطبيعية في تل حديا وهي المحطة الرئيسية لإيكاردا (ICARDA) (المركز الدولي للبحوث الزراعية في المناطق الجافة)، على بعد 350 كم من دمشق شمال غرب سورية. شملت كل تجربة سلالات منتخبة مضاعفة مختزلة الصيغة الصبغية وتلك الطافرة. زرعت البذور بتصميم القطاعات العشوائية الكاملة في ستة مكررات. شمل المكرر خمسة خطوط بفاصل 25 سم وبطول 1.5 م مع حد فاصل بعرض 1م. زرعت البذور يدوياً بمعدل 110 كغ/هكتار. قبل البدء بإجراء الدراسة أخذت من موقع التجارب عينات تربة على عمق 15 سم. ويبين الجدول تفاصيل عن نوع التربة والهطول المطري وموعد الزراعة. غطيت التجارب بشبكة لمنع ضرر الطيور.

جدول 2 معلومات عن الموقع

ناعمة جداً (طينية)	التربة
montmorillonimc, thermic, Calcixeret	الصف
55	الطين (%)
33	السلت (%)
7	الرمل (%)
8-2.6	pH
330	معدل الهطول المطري (مم/سنة)
شعير/فصّة	الدورة الزراعية
	المعاملات السمادية قبل الزراعة (كغ/هكتار)
50 كغ/هكتار	يوريا N46 %
27 كغ/هكتار	فسفور P ₂ O ₅
	موسم النمو 1996-1995
25 تشرين الثاني	تاريخ الزراعة
الأول من حزيران	تاريخ الحصاد
	موسم النمو 1997-1996
3 كانون الثاني	تاريخ الزراعة
السادس من حزيران	تاريخ الحصاد

اختير موقع التجربة بحيث يكون مناسباً لحدوث الإصابة بالسفحة، حيث يصاب الشعير بالفطر R.secalis في هذا الموقع سنوياً. إضافة إلى ما سبق ذكره، ولتعزيز العدوى بهذا المرض، وزع في الحقل قش مصاب بالسفحة عندما بلغت نباتات الشعير طور الورقة الثانية، حيث قطع القش إلى قطع صغيرة 3-5 سم ونثر بمعدل 50 غ/م². قيم تفاعل المضيف للعدوى في طور النمو 49 [15] باستخدام سلم رقمي من 0 إلى 9 بحيث يكون من: 3-0 (مقاوم)، ومن 4-5 (متوسط المقاومة) ومن 6-9 (حساس).

أخذ موعد الحصاد عند طور النضج 91، وقيس طول النبات في طور التسنبل 50، وحسب مقدار الإنتاجية لكل 10 م².

التحليل الإحصائي

حللت بيانات النسبة المئوية للإصابة بالمرض واستجابات الإنتاج الحبي الناتج باختبار التباين (Newman-Keuls)، باستخدام برنامج STAT-ITCF [61].

النتائج والمناقشة

يستعرض الجدول 3 تفاعلات سلالات الشعير الثماني عشرة المختبرة حقلياً تجاه الإصابة بالسفحة، حيث ظهرت فروق معنوية ($P < 0.05$) بين سلالات مختلفة قي قيم متوسطات الشدة في حين كان لبعض السلالات، وبشكل دائم، شدات مرضية عالية.

الارتفاع النبات النهائي	الأيام حتى التسنبل	الغلة الحبية (كغ/10م ²)		الشدة المرضية	التصنيف المرضي	الشدة المرضية	التصنيف المرضي	التهجين	سلالات مضاعفة الصيغة المختزلة	الطرز الوراثي
		I	II							
65.3bc	152.0ef	2.9cd	3.9bc	7.5a	S	8.0a	S	DH1-5	CI-5791 X Golf -	AECS1
64.2bc	149.3g	3.4bc	3.4c	6.7ab	S	6.2ab	S	DH4-5		AECS2
54.1de	158.0ab	3.3bc	3.9bc	3.0cd	R	3.0bc	R	DH1-8	DOR51-76-10 X A79 ED047	AECS3
56.0de	153.3ef	3.8ab	5.0a	1.2g	R	1.5ef	R	DH31-3		AECS4
56.0de	157.0ec	3.4bc	4.1ab	3.0de	R	3.8bc	MR	DH31-1		AECS5
56.0de	145.0h	2.8cd	4.3ab	2.3ef	R	2.3cd	R	DH15-9	Massif X A79 ED047	AECS6
59.8dd	152.0ef	3.4bc	4.3ab	2.2ef	R	1.7de	R	DH42-2	Thibaut x Smash	AECS7
63.2dd	149.7g	3.9a	4.6ab	1.3fg	R	1.17f	R	DH23-11	Arrivate X Smash	AECS8
63.9dd	154.0de	3.7ab	4.5ab	1.3fg	R	1.7de	R	DH23-1		AECS9
58.1cd	160.0ab	2.4e	4.3ab	4.2cd	MR	4.5bc	MR	DH3-9	Banteng X Smash	AECS10
85.1cd	161.3a	2.8cd	4.5ab	5.8ab	S	5.5b	S	DH3-1		AECS11
طفرات										
69.9ab	158.0ab	2.7cd	4.0ab	6.0ab	S	5.2b	MR		Thibaut 24M5	AECS12
68.5ab	155.0cd	3.1cd	3.8bc	5.0bc	MR	5.0b	MR		Thibaut 32M5N3	AECS13
60.2cd	156.0cd	3.6ab	4.5ab	3.8cd	MR	4.2bc	MR		Thibaut 32M6	AECS14
55.3de	157.0bc	2.6de	3.9bc	3.5de	MR	3.7bc	MR		Thibaut 32M5N2	AECS15
60.4cd	144.7h	3.7ab	3.4c	2.8de	R	3.3bc	R		Thibaut 24M6	AECS16
69.1ab	152.3ef	3.8ab	4.3ad	3.8cd	MR	4.0bc	MR		Arrivate 12M6	AECS17
51.8e	158.0ab	3.1cd	4.4ad	4.2cd	MR	4.5bc	MR		Furia 32M5N1	AECS18

حساس: S، متوسط المقاومة = MR، مقاوم = R

لا تختلف القيم المتوقعة بنفس الأحرف ضمن العمود معنوياً (Newman Keuls) P=0.05

كل من [17] و [18] إلى إمكانية الحصول، في برامج التربية، على إنتاج سريع لسلالات شعير مضاعفة مختزلة الصيغة الصبغية ذات إنتاجية عالية ومقاومة للمرض.

كذلك، وجدت فروق معنوية ($P < 0.05$) بين السلالات في النتائج الحبي وفي تاريخ التسنبل وفي طول النبات (الجدول 3)، إضافة إلى حصولنا على معامل ارتباط معنوي ($r = 0.67$, $P < 0.01$) بين الموسمين في الغلة الحبية. هذا، ولم نجد فروقاً معنوية بين الموسمين لصفتي موعد التسنبل وطول النبات، لذلك اقتصر عرض قيم هاتين الصفتين لموسم نمو واحد فقط (الجدول 3).

لاحظ [19] من خلال دراسة البنية النسيجية لعدوى السفحة وجود فروق في عملية العدوى بين الأصناف المقاومة والحساسة. وعلى أية حال، تبين في دراسة أخرى أن الوجود الكثيف لتوضعات الجدار الخلوي في الأصناف الحساسة يقود إلى الاستنتاج بعدم ارتباط آليات المقاومة مع معلومات التوضع [20].

تظهر البيانات أن 7 من سلالات (طاقة 3 و 4 و 6 و 7 و 8 و 9 و 16) أمكن تصنيفها كمقاومة لمرض السفحة في الموسمين كليهما، في حين كانت السلالتان AECS1 و 2 أكثر قابلية للإصابة من السلالات الأخرى (الجدول 3)، أما السلالات الأخرى فقد تراوحت قيم إصابتها بالسفحة ما بين حساسة ومتوسطة المقاومة. وجدت علاقة ارتباط عالية المعنوية ($r = 0.97$, $P = 0.05$) للتفاعل مع السفحة بين الموسمين، ويشير ذلك إلى تشابه سلالات الشعير في تفاعلها مع الإصابة بمجتمعات الفطر *R. secalis* ضمن الظروف الحقلية.

وأظهرت الطفرة AECS17 مقاومة متوسطة للإصابة بالسفحة (الجدول 3)، في حين امتازت الطفرة AECS16 بالباكورية في موعد التسنبل.

أظهرت النتائج بوضوح أن السلالات التي تم فيها دمج مورثات المقاومة بتقنيات مضاعفة الصيغة الصبغية المختزلة كانت أكثر مقاومة للسفحة من تلك المستنبطة بالتطعيم. وقد سبق أن أشار

قد يكون مغرياً ربط بعض الصفات الظاهرية بشدة إصابته بالمرض، ولو أن ذلك يتعدى مجال هذه الدراسة. أظهرت بعض النتائج أن النباتات الأطول كانت أكثر تعرضاً للمرض من تلك الأقصر، لكن تأكيد هذه النتيجة يتطلب المزيد من البحث والاستقصاء. وتتوافق هذه النتائج مع تلك التي حصل عليها من قبل [23]. ورغم أن بياناتنا لا تظهر دليلاً واضحاً بأن السلالات المتأخرة في النضج تميل لأن تكون أكثر مقاومة للمرض، إلا أن ملاحظة كهذه تتطلب أيضاً المزيد من البحوث والدراسات.

لقد زودت هذه الدراسة برامج تربية الشعير بسبعة مصادر وراثية مقاومة للسفحة ذات إنتاج جيد. كذلك، طمحت هذه الدراسة إلى إيجاد تنوع أعظم للمقاومة مما يخدم المربي ويتيح إمكانية توفير أصناف بديلة في المستقبل القريب. على أية حال، يفترض أن يكون عمل المقاومة للسفحة ناتجاً عن تأثير متعدد السلالة [24]، كما أن توزيع التفاعل المرضي لدى السلالات المقاومة المتحصل عليها في دراستنا هذه يشير إلى الحاجة إلى مزيد من البحث والاستقصاء.

قد تفسر آليات المقاومة لدى السلالات السبع ذات الصيغة الصبغية المضاعفة المختزلة إما بمنع اختراق المشيجة الفطرية عبر جدار الخلية أو بتخفيض نمو المشيجة بعد اختراق ناجح.

أظهرت اختبارات على الشعير توزعاً مستمراً في تفاعل المقاومة يتراوح بين 1.2 إلى 7.5، الأمر الذي يقترح غياب المقاومة الكاملة وتورط عدد من المورثات الرئيسية [22, 21]، وهذا بحد ذاته يجعل التربية من أجل مقاومة المرض أكثر صعوبة بالمقارنة عنها فيما لو خضعت المقاومة إلى مورثات وحيدة ذات تأثيرات رئيسية.

وجد انتشار واسع للسفحة في الموقع المختار من المحطة الرئيسية لإيكاردا، وهذا الأمر لا يثير الدهشة، حيث بالإضافة إلى ظروف الرطوبة العالية ودرجة الحرارة المعتدلة في هذا الموقع، استخدم الموقع ذاته ولفترة طويلة في زراعة أصول وراثية من الشعير جمعت من مناطق مختلفة وبنى وراثية مختلفة والتي شجعت بدورها تنوعاً أشد للعامل المرض وتراكماً أعظم لمادة التلقيح، وهذا يفسر السوية العالية التي لوحظت لانتشار المرض.

References

المراجع

- [1] Brown, A. H. D., Garvin, D. F., Burdon, J. J., Abbott, D. C. and read, B. J., 1996. The effect of combining scald resistance genes on disease levels, yield and quality traits in barley. *Theor. Appl. Genet.*, 93: 361-366.
- [2] Mamluk, O. F., Cetin, L., Braun, H. J., Bolat, N., Bertschinger, L., Makkouk, K. M., Yildirim, A. F., Saari, E., Zencircia, N., Allustan, S., Cali, S., Benival, P. S. and Dusunceli, F., 1997. Current status of wheat and barley diseases in the Central Anatolian Plateau of Turkey. *Phytopathol. Medit.* 36: 167-181.
- [3] Van Leur, J. A. G. and Ceccarelli, S., 1990. Subsistence farmer strategies in response to drought and biotic stress uncertainty. Symposium on biotic stresses of barley in arid and semi - arid environments, Big Sky, Montana, 1990.
- [4] Van Leur, J. A. G., Ceccarelli, S. and Grando, S., 1989. Diversity for disease resistance in barley landraces from Syria and Jordan. *Plant Breed.* 103: 324-335.
- [5] McLelland, M. B. 1989. Barley production in Alberta. *Agdex* 114/20-1. Alberta agriculture, food and rural development, Lacombe, Alberta, Canada.
- [6] Ceoloni, L., 1980. Race differentiation and search sources of resistance to *Rhynchosporium secalis* in barley in Italy. *Euphytica* 29: 547-553.
- [7] Robbertse, B., Lennox, C. L., van Jaarsveld, Crous, P. W. and van derRijst, M 2000. Pathogenicity of the *rhynchosporium secalis* population in the Western Cape province of South Africa. 115: 75-82.
- [8] Starling, T. M., Roane, C. W. and Chi, K. R., 1971. Inheritance of reaction to *Rhynchosporium secalis* in winter barley. *Proc. 2nd Int. Barley Genet. Symp. Pullman. Washington.* 1969. 513-519.
- [9] Habgood, R. M. and Hayes, J. D., 1971. The inheritance of resistance to *Rhynchosporium secalis* in barley. *Heredity*, 27: 25-37.
- [10] Garvin, D. F., Brown, A. H. D. and Burdon, J. J., 1997. Inheritance and chromosome locations of scald-resistance genes derived from Iranian and Turkish wild barleys. *Theor. Appl. Genet.*, 94: 1086-1091.

- [11] Skou, J. and Haahr, V., 1984. An analysis of heredity of resistance against barley leaf stripe (*Drechslera graminea*) Nordisk jordbrugsforskning, 66: 205-207.
- [12] Friedt, W., Foroughi, B. and Wenzel, G., 1984. Agronomic performance of androgenetic doubled haploid spring barley (*Hordeum vulgare* L.). In: LANGE, W and ZEVEN, A. C. ed. Efficiency in plant breeding. Proceeding on 10th congress of European association for research on plant breeding. Hogenboom, N. G. Wageningen, Netherlands. pp. 313.
- [13] Lundovist, L. and Lundovist, A., 1991. Dominant resistance to barley powdery mildew race D1. isolated after mutagen treatments in four highbred barley varieties. *Hereditas*, 115: 241-253.
- [14] Arabi, M. I. E., 1991. Amelioration de la resistance genetique de l'orge a *Drechslera teres* (Sacc.) Shoem. Par hybridation et mutation. These Doctorate de l' institute National polytechnique de Toulouse. France. pp. 165.
- [15] Zadoks, J. C., Chang, T. T., and Konzak, C. F. 1974. A decimal code for growth stages of cereals. *Weed Research*, 14: 415-421.
- [16] Anonymous, 1988. STAT-ITCF, Programme, MICROSOFT, realized by ECOSOFT, 2nd Ver. Institut Technique des cereals et des Fourrages, Paris, pp. 55.
- [17] Choo, T. M., Tekauz, A., Ho, K. M. and Martin, R. A., 1994. Use of doubled haploids in studying net blotch resistance in barley. In: eds. Toward enhanced and sustainable agricultural productivity in the 2000's: Breeding research and biotechnology. HUNG, S. C., LIU, D. J. KAO, C. H. and Chang, T. T. Proceeding of 7th International Congree of SABRAO and International Symposium of Wsaa Taichung, Taiwan. p. 179-187.
- [18] Jui, P. Y., Choo, T. M., Ho, K. M., Konishi, T. and Martin, R. A., 1997. Genetic analysis of a two-row x six-row cross of barley using doubled haploid lines. *Theor. Appl. Genet.*, 94: 549-556.
- [19] Xi, K., Burnett, P. A., Tewari, J. P., Chen, M. H., Turkington, T. K. and Helm, J. H., 2000. Histopathological study of barley cultivars resistant and susceptible to *Rhynchosporium secalis*. *Phytopathology*, 90: 94-102.
- [20] Lehnackers, H., and Knogge, W., 1990. Cytological studies on the infection of barley cultivars with known resistance genotypes by *Rhynchosporium secalis*. *Can. J. Bot.*, 68:1953-1961.
- [21] Barua, U.M., Chalmers, K. J., Hackett, C. A., Thomas, W. T. B., Powell, W. and Waugh, R., 1993. Identification of RAPD markers linked to a *Rhynchosporium secalis* resistance locus in barley using near isogenic lines and bulked segregant analysis. *Heredity* 71:177-187.
- [22] Eckstein, P.E., Turkington, K., Voth, D., Hay, D., Orr, D., Penner, G. A., Rossnagel, B. G. and Scoles, G. J., 2000. Identification and development of markers for scald (*Rhynchosporium secalis*) resistance gene in barley. Proceeding on 8th Int. Barley Genetics Symposium, Adelaide, Australia, Oct. 22-27.
- [23] Yitbarek, S., Berhane, L., Fikadu, A., Van Leur, J. A. G., Grando, S., and Ceccarelli, S., 1998. Variation in Ethiopian barley landrace populations for resistance to barley leaf scald and net blotch. *Plant Breed.* 117:419-423.
- [24] Alemayehu, F., 1995. Genetic variation between and within Ethiopian barley landraces with emphasis on durable resistance. Thesis, land-bouw Universiteit Wageningen. The Netherlands.
- [25] Abbott, D. C., Burdon, J. J., Jarosz, A. M., Brown, A. H. D., Muller, W.J. and Read, B. J., 1991. The relationship between seedling infection types and field reactions to leaf scald in Clipper barley backcross lines. *Aust. J. Agric Res.*, 42: 801-809.

نشرت ورقة البحث هذه في مجلة Cereal Research Communications

ملخص

حضرت ضمادات رطبة باستخدام تقنية التشعيع بأشعة غاما. تتألف الضمادات من بولي فينيل بيروليدون (PVP) وبولي إيثيلين غليكول (PEG) والأغار. درس تأثير بعض متحولات التفاعل على خواص الضمادات مثل: نسبة التجلت، الانتباجية العظمى، حركية الانتباجية، والخواص الميكانيكية. ترتفع نسبة التجلت مع ارتفاع تركيز الـ PVP بسبب ارتفاع الكثافة التصالبية، وتنخفض مع ارتفاع تركيز الـ PEG. يبدو أن الـ PEG لا يعمل فقط كملدن ولكن أيضاً لتعديل خواص الجيل المحضر مثل نسبة التجلت % والانتباجية العظمى. يمكن اعتبار الضمادات الرطبة المحضرة حاجزاً جيداً ضد الميكروبات.

إنتاج الضماد الطبي الرطب باستخدام إشعاع غاما

زكي عجي - إبراهيم عثمان

دائرة تقانات البوليميرات، قسم تكنولوجيا الإشعاع،
هيئة الطاقة الذرية، ص.ب: 6091، دمشق، سورية
يانوش روزياك
معهد الكيمياء الإشعاعية التطبيقية، لودج، بولندا.

الكلمات المفتاحية: هلام ماني (هيدروجيل)، إشعاع، البولي فينيل بيروليدون (PVP)، بولي إيثيلين غليكول (PEG)، الأغار.

مقدمة

إيثيلين غليكول لمكونات هلام (PVP) يُمكن أن تحسن إعاقه الهلام للبكتريا [8]. يجب أن يلبي الضماد المثالي عدداً من المتطلبات مثل: امتصاص السوائل بشكل فعال، مريح في اللمس ولا يسبب الألم عند نزعها، التمتع بمرونة عالية ولكن مقاومة ميكانيكية جيدة، شفافية جيدة، وأن يعمل كحاجز ضد الميكروبات.

تم نقل تقنية الإنتاج للضماد الطبي الرطب إلى سورية بنجاح كجزء من مشروع تعاون فني مع الوكالة الدولية للطاقة الذرية. يوضح العمل الحالي تحضير الضماد الطبي الرطب باستخدام تقنية التشعيع بأشعة غاما، وتأثير بعض متحولات التفاعل على بعض خواص الضمادات مثل: نسبة التجلت، الانتباجية العظمى والخواص الميكانيكية.

القسم التجريبي

تكونت الضمادات الرطبة من البولي فينيل بيروليدون والبولي إيثيلين غليكول والأغار والماء المقطر. إن الضمادات في شكلها النهائي

الهلام هو عبارة عن بوليميرات متصالبة منتجة بسائل ما. النعومة والمرونة والقدرة على تخزين السوائل تجعل منها مواد فريدة. استُخدم البولي فينيل بيروليدون بنجاح كمادة أساسية لتصنيع الضمادات الرطبة [1-2]. تظهر هذه الضمادات عادة توافقية حيوية جيدة وتُطبق بشكل واسع ليس فقط كضماد ولكن كذلك كمنظومات لتحرير الأدوية [3]. تتوفر في الأسواق بعض أنواع من الضمادات الرطبة تحت أسماء تجارية مختلفة: Kik Gel Vigilon; Ivalon; Aqua Gel والتي تم تعقيمها باستخدام تقنية التشعيع [4]. نُشر كذلك في الأدبيات العلمية عن أنواع أخرى من الضمادات الرطبة [5-7]. تُحضر الضمادات الرطبة عادةً من البولي فينيل بيروليدون (PVP) بوجود الأغار كأحد المكونات الإضافية لتحسين الخواص الميكانيكية للهلام ولكن وجود الأغار يُمكن أن يسبب اختراق (دخول) الميكروبات بشكل أسهل إلى الهلام وخاصة في الأجواء الاستوائية حيث الرطوبة مرتفعة [4]. نشر هيلمي ومجموعته (Hilmy et al) أن إضافة البولي

حركية التجفاف

تمت متابعة سلوك تجفاف الهلام من خلال قياس الانخفاض المئوي لوزن عينة الضماد عند درجة حرارة ثابتة قدرها 37 درجة مئوية باستخدام جهاز Mettler للتحميل الحراري الوزني TG50 ووجود النيتروجين.

الخواص الميكانيكية

حُدّد الجهد والاستطالة المئوية عند الانقطاع للضمادات المحضّرة باستخدام جهاز Instron نموذج 1011. حُسب المتوسط لخمس مكررات على الأقل لكل نقطة.

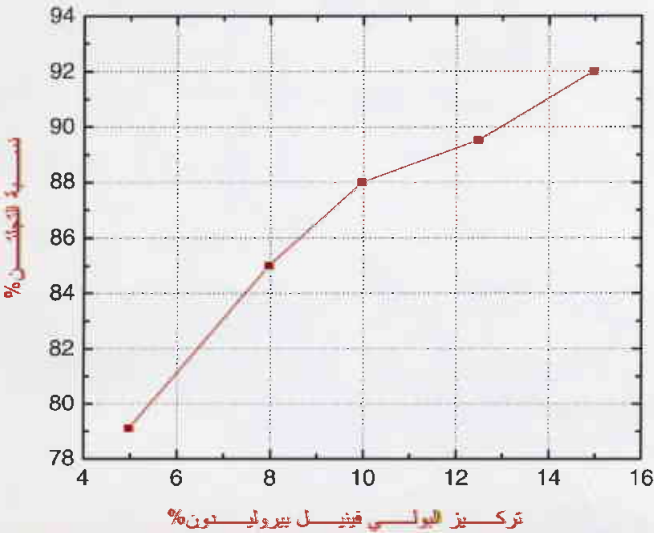
اختبار الاحتراق الميكروبي

استُخدمت لهذا الاختبار ضمادات ذات ثخانة حوالي 3 مم وأبعاد 7 × 12 سم². لُوث السطح العلوي للعينة بالبكتريا (إشريكيات كولونية (E.coli) سلبية الغرام، مكورات عنقودية (Strepto) إيجابية الغرام) وحضنت لمدة 24 ساعة عند درجة حرارة 37 درجة مئوية.

النتائج والمناقشة

نسبة التجلت

يؤدي تشييع محاليل مائية من PVP إلى تشكيل شبكة بوليميرية غير منحلة (هلام). يعرض الشكل (1) نسبة التجلت المئوية للضمادات بتابعية تركيز PVP في المحلول المشع عند 25 ك. غراي. يمكن أن نرى ارتفاع نسبة التجلت مع ارتفاع تركيز البوليمير، ويعود ذلك إلى ازدياد الكثافة التصالبية مع ازدياد تركيز البوليمير.



الشكل 1: نسبة التجلت % للضمادات بتابعية تركيز البوليمير فينيل بيروليدون في المحلول (الجرعة التشعيعية = 25 ك. غراي).

نُرس كذلك تأثير PEG على نسبة التجلت المئوية والنتائج معروضة في الشكل (2). إن نسبة التجلت المئوية مع غياب PEG

هي عبارة عن شرائح شفافة ثخانتها عدة مليمترات وأبعادها مختلفة وتحتوي على الماء بنسبة تفوق 90%. الخطوة الأولى في التصنيع هي تحضير محلول مائي من مكونات الضماد. بعد حل ومزج المكونات عند درجة حرارة مناسبة يتشكل لدينا محلول متجانس. تُملاً القوالب التي يمكن استخدامها كعبوات نهائية، بمحلول الضماد الذي يصبح بعد التبريد سائلاً جامداً عالي اللزوجة، وتوضع هذه العبوات في الصناديق المناسبة النهائية. تُعرض صناديق الجل المتجمد للأشعة المؤينة لتصبح سلاسل البوليمير متصالبة. تُستخدم محطة غاما للتشعيع (نموذج روسي ROBO) ذات معدل جرعة قدره 6 ك. غراي/سا وتطبق عادةً جرعة قدرها 25 ك. غراي لضمان عقامة المنتج. عُرضت صناديق الضمادات لأشعة غاما بطريقتين:

- 1- وُضعت الصناديق في مكان محدد وتم تدويرها يدوياً لإعطاء توزيع متجانس للجرعة.
- 2- وُضعت الضمادات في سير متحرك لمدة أسبوع للحصول على جرعة قدرها 25 ك. غراي. حصلنا في كلا الحالتين على ضمادات بنوعية جيدة.

تحديد نسبة التجلت

جُفّفت العينات بعد التشعيع (W_0) ثم نُقعت في الماء المقطر لعدة أيام حتى ثبات الوزن (حد توازن الانتباج W_s) وإزالة الأجزاء المنحلة. جُفّفت الهلامات مجدداً في الهواء في فرن مخلي (W_E) ثم حُسبت نسبة التجلت المئوية حسب المعادلة التالية:

$$gelation\% = \frac{W_E}{W_0} \times 100$$

W_0 الوزن الجاف للهلام بعد التشعيع.

W_E الوزن الجاف للعينة بعد استخلاص الأجزاء المنحلة.

الانتباجية العظمى

بعد نقع العينات وغسلها حُسبت الانتباجية العظمى المئوية (S_{max} %) باستخدام المعادلة التالية:

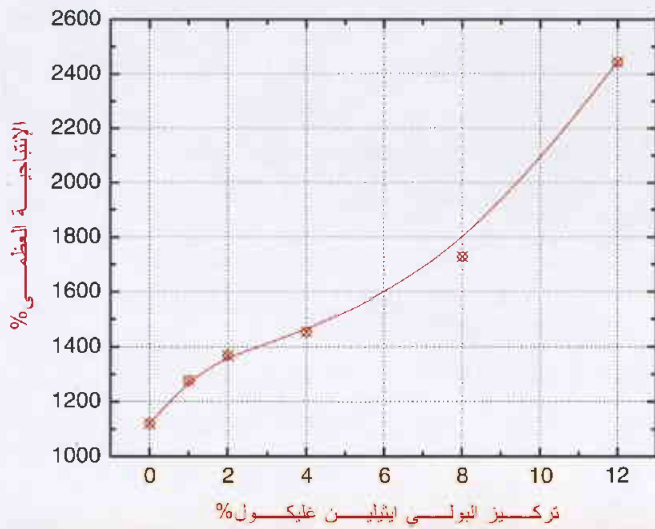
$$S_{max}\% = \frac{W_s - W_E}{W_E} \times 100$$

حيث:

W_s وزن الهلام عند توازن الانتباج (بعد عدة أيام من النقع في الماء).

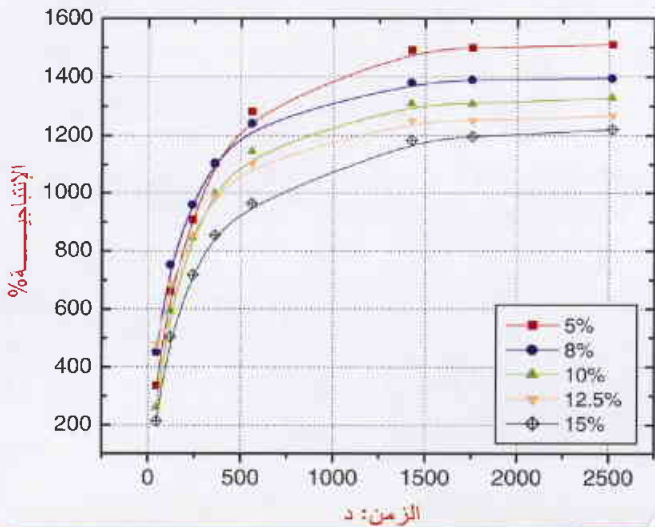
W_E الوزن النهائي الجاف.

يوضح الشكل (4) الانتاجية العظمى للضمادات الرطبة بتابعية تركيز الـ PEG وقد شععت العينات عند جرعة قدرها 25 ك. غراي. تزداد الانتاجية العظمى مع ازدياد تركيز الـ PEG والذي يمكن توضيحه بانخفاض الكثافة التصالبيه بسبب الـ PEG. من المعروف أنه عند تشيع محاليل من الـ PVP لجرعات مختلفة فإن الكثافة التصالبيه تزداد مع ازدياد الجرعة التشيعيه وبالتالي فإن الانتاجية العظمى تنخفض.



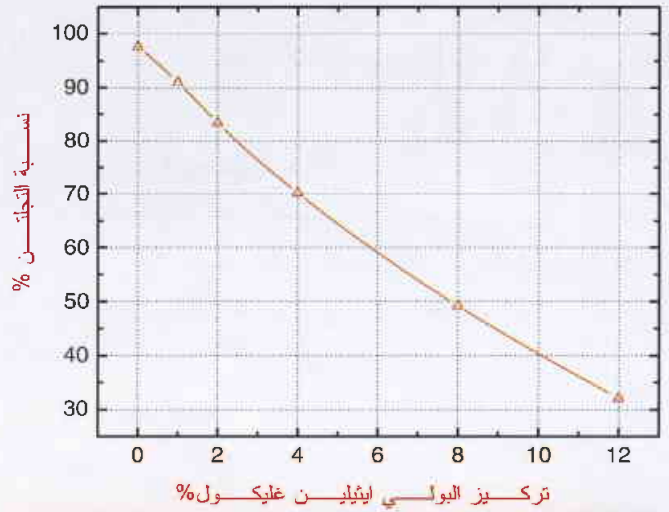
الشكل 4 الإنتاجية العظمى للضمادات الرطبة بتابعية تركيز البوليمر إيثلين غليكول، العينات مشععة عند 25 ك. غراي

يمثل الشكل (5) الانتاجية المثوية للضمادات الرطبة مع الزمن وذلك لتراكيز مختلفة من الـ PVP والعينات مشععة عند جرعة قدرها 25 ك. غراي. يلاحظ أن كل الهلامات تصل إلى حد التوازن الانتاجي بعد يوم واحد من النقع. في المرحلة الأولى من المنحنى يكون معدل الانتاجية عالياً جداً ويستطيع الماء الدخول بسهولة



الشكل 5 حركية الانتاجية للضمادات الرطبة مع الزمن (تراكيز مختلفة من البوليمر فينيل بيروليدون وجرعة قدرها 25 ك. غراي)

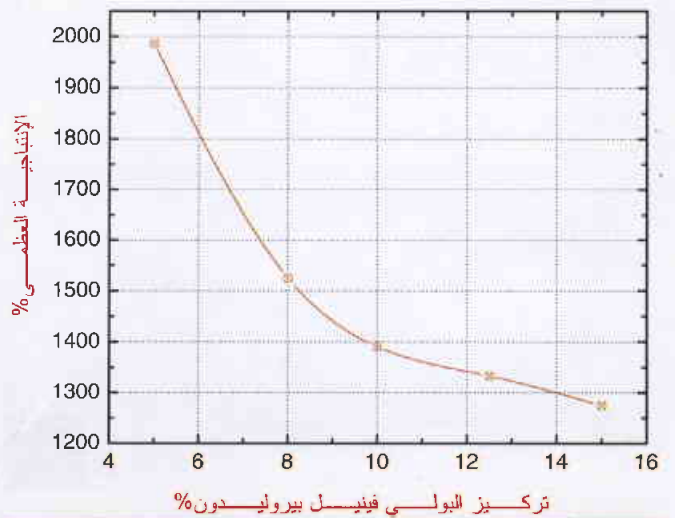
عالية جداً حوالي 97% والـ PVP متصلب (متجلت) تقريباً بشكل كامل. تنخفض هذه النسبة مع ارتفاع تركيز الـ PEG حتى تصل إلى 32% عندما يصبح تركيز الـ PEG 12%. إن الـ PEG لا يعمل فقط كمادة ملدنة ولكنه يخفض تفاعل التشابك وبالتالي عملية التجلت. يمكن للـ PEG بصفته كحولاً أن يعمل ككاسح للجذور ويمكن استعمال هذا التأثير لضبط (رفع أو خفض) نسبة التجلت للهلام المحضّر تبعاً للجرعة التشيعيه [3].



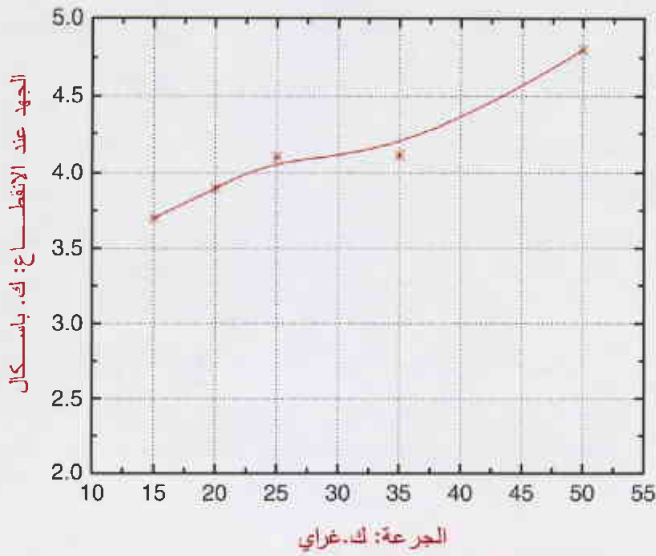
الشكل 2 نسبة التجلت % للضمادات بتابعية تركيز البوليمر إيثلين غليكول في المحلول (الجرعة التشيعيه = 25 ك. غراي)

الانتاجية

يمثل الشكل (3) الانتاجية العظمى للضمادات الرطبة بتابعية تركيز الـ PVP والمشععة عند 25 ك. غراي يمكن ملاحظة أن الانتاجية العظمى تنخفض مع ازدياد تركيز الـ PVP وهذا يعود إلى ازدياد الكثافة التصالبيه المتعلقة بارتفاع تركيز البوليمر.



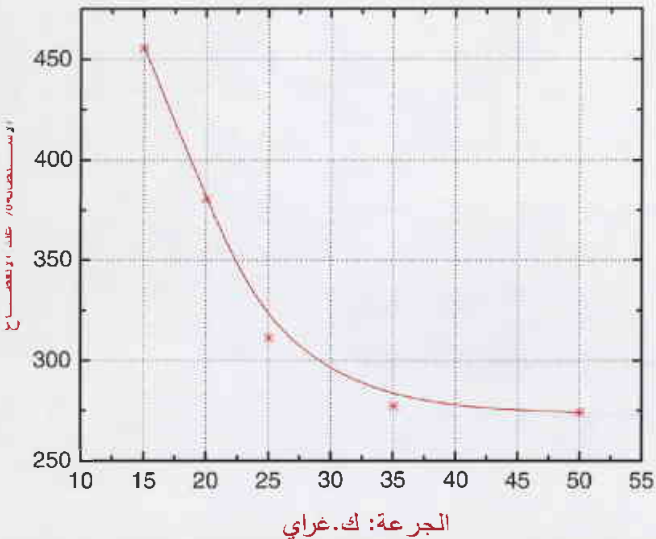
الشكل 3 الإنتاجية العظمى للضمادات الرطبة بتابعية تركيز البوليمر فينيل بيروليدون مشععة عند 25 ك. غراي



الشكل 7 الجهد عند الانقطاع للضمادات الرطبة بدلالة الجرعة الإشعاعية

اختبار الإقتراق الميكروبي

استُخدمت بكتريا إيجابية وسلبية الغرام لإجراء اختبار الإقتراق الميكروبي (إشريكيات كولونية (E.coli)، مكورات عنقودية (Strepto). لوث السطح العلوي من الضمادات بمحلول ميكروبي وحُضنت العينات عند درجة حرارة 37 درجة مئوية لمدة 24 ساعة. بين الاختبار أن كلا الميكروبين لم يعبرا خلال الضماد الرطب. بناءً على ذلك يمكن اعتبار الضمادات الرطبة حاجزاً جيداً ضد الميكروبات. هذه الخاصية هامة للضماد الرطب وخاصة في حماية الجرح من تلوث إضافي بحيث يمكن تسريع عملية الشفاء للجرح.

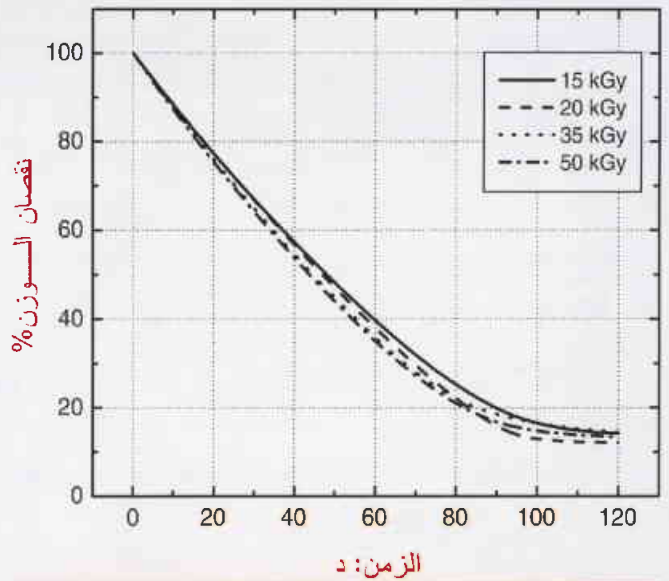


الشكل 8 الاستطالة % عند الانقطاع للضمادات الرطبة بدلالة الجرعة الإشعاعية

إلى داخل الشبكة البوليميرية حيث أن معدل الانتاجية متشابه تقريباً لكل تراكيز الـ PVP بغض النظر عن تركيز البوليمير وهذه النتائج مشابهة لمعطيات الضمادات البرازيلية [4]. الانتاجية المئوية للضمادات السورية بعد يوم من النقع أعلى بكثير من الضمادات البرازيلية وقد يعود ذلك إلى اختلاف المواد الأولية المستخدمة.

التجفاف عند درجة حرارة ثابتة

أُجريت تجارب التجفاف عند درجة حرارة 37 درجة مئوية لنحاكي استخدام الضماد على جلد مجروح (محروق). يعرض الشكل (6) نقصان الوزن النسبي لضمادات رطبة مع الزمن وذلك لجرعات تشعيعية مختلفة. يُلاحظ أن سلوك التجفاف لا يتعلق بالجرعة الإشعاعية وذلك بالتوافق مع نتائج الضمادات البرازيلية [3].



الشكل 6 تجفاف الضمادات الرطبة بتأثير الزمن لجرعات تشعيعية مختلفة

الخواص الميكانيكية

قيست مقاومة الشد والاستطالة عند الانقطاع للضمادات الرطبة والنتائج مبينة في الشكلين (7) و(8) بتأثير الجرعة الإشعاعية. يزداد الجهد عند الانقطاع مع ارتفاع الجرعة الإشعاعية. يُعتقد أن الارتفاع في مقاومة الشد يعود إلى ازدياد الكثافة التصالبية [4]. تنخفض الاستطالة المئوية عند الانقطاع مع ارتفاع الجرعة الإشعاعية. يُمكن توضيح ذلك بكثافة تصالبية أعلى وهي تخفض من حركية السلاسل وبالتالي تنخفض الاستطالة. إن قيم الجهد والاستطالة عند جرعة 25 ك. غراي كافية لتفي بالخواص الميكانيكية المطلوبة من ضماد طبي.

ازدياد تركيز الـ PEG الذي لا يعمل فقط كمادة ملدنة ولكنه يعمل على تعديل نسبة التجلت وفقاً للجرعة الإشعاعية. إن الخواص الميكانيكية للضمادات المحضرة جيدة بشكل كافٍ لتستخدم كضمادات رطبة. ويمكن اعتبار الضمادات الرطبة المحضرة حاجزاً جيداً ضد الميكروبات.

حُضرت ضمادات طبية رطبة من الـ PVP والـ PEG والأغار. تُرست متحولات عملية التصنيع للحصول على خواص الضماد المطلوبة. وُجد أن الهلامات المحضرة تلبّي المتطلبات لضماد طبي رطب. تزداد نسبة التجلت مع ازدياد تركيز الـ PVP وتنخفض مع

References

المراجع

- [1] J. M., Rosiak A., Rucinska-Reybas W. Pekala U.S. Patent No. 4, 81, 490, Method of Manufacturing of Hydrogel Dressings (1989).
- [2] J. M. Rosiak Hydrogel dressing, radiation effects on polymers. In: R. L., Clough S. W. Shalaby (Eds.), ACS Book Series, Washington, DC, (1991) p. 475.
- [3] A. B., Lugao L. D. B., Machado L. F., Mirandal M. R., Alvarez J. M. Rosiak Study of wound dressing structure and hydration/ dehydration properties, Radiation Physics and Chemistry, Vol. 52, Nos. 1-6, pp. 319-322 (1998).
- [4] M. T., Razzak D., Darmawan, Sukirno Zainuddin Irradiation of polyvinyl alcohol and polyvinyl pyrrolidone blended hydrogel for wound dressing, Radiation Physics and Chemistry, Vol. 62, pp. 107-113 (2001).
- [5] P. H., Corkhill C.J., Hamilton B.J. Tighe Synthetic hydrogel VI, hydrogel composition as wound dressing and implant materials. Biomaterials, 10, 3-10 (1989).
- [6] J. I. Kroschwitz Polymers Biomaterials and Medical Applications, Encyclopedia Reprint Series, Wiley, New York (1992).
- [7] N. A. Peppas, (Ed.), Hydrogel in Medicine and Pharmacy II and III, CRC Press, Boca Raton F. L (1987).
- [8] N., Hilmy D., Darwis L. Hardiningsih Poly (N-vinyl pyrrolidone) hydrogel: hydrogel composition as wound dressing for tropical environment, Radiation Physics Chemistry, Vol. 42, Nos. 4-6, 911-914,(1993).

نشرت ورقة البحث هذه في مجلة

Nuclear instruments and methods in physics research 2005

تحديد الاندخال الإشعاعي والجرعة الإشعاعية الداخلية للعاملين المعرضين لليود-131

د. محمد حسان خريطة، ميسون المغربي، عبد القادر سعديّة

قسم الوقاية والأمان - هيئة الطاقة الذريّة - ص.ب. 6091 - دمشق - سورية

ملخص

يتعرض الأفراد المهنيون الذين يقومون بتحضير وحقن جرعات اليود المشع 131 للمرضى في المراكز الطبية الموجودة في القطر العربي السوري إلى احتمال حدوث اندخال إشعاعي عن طريق الاستنشاق أو الابتلاع أثناء عملية تحضير أو حقن مادة اليود المشع 131. وتختلف كمية الاندخال الإشعاعي وفقاً لـ:

1 الكمية التي يتم تحررها من اليود المشع أثناء عملية التحضير أو الحقن.

2 الظروف التي يتم العمل فيها وكيفية اتخاذ أساليب الوقاية الإشعاعية.

وينجم عن هذا الاندخال الإشعاعي تعرض الغدة الدرقية لكميات من اليود المشع، مما قد يؤثر سلباً على صحة العاملين المهنيين، وهذا يتطلب إجراء مراقبة دائمة روتينية لكل العاملين المعرضين مهنيّاً والذين يتلقون خلال سنة واحدة اندخالا إشعاعياً يتجاوز 10% من حد الاندخال السنوي والذي يساوي في حالة اليود I^{131} $2 \times 10^6 \text{Bq}$.

ويتطلب إجراء هذه المراقبة إما استخدام عداد الغدة الدرقية لمعرفة كمية النشاط الإشعاعي المركز في الغدة الدرقية أو تحليل (عينة 24 ساعة) من البول للعامل المعرض مهنيّاً لمعرفة كمية النشاط الإشعاعي التي تم طرحها باستخدام مطيافية غاما أو إجراء العمليتين في نفس الوقت. ونظراً لعدم توفر عداد الغدة الدرقية، تم الاعتماد على تحاليل عينة 24 ساعة من البول لمعرفة النشاط الإشعاعي الموجود فيها ومن ثم تحديد الاندخال الإشعاعي والجرعة الإشعاعية الداخلية. وبينت نتائج تطبيق هذه الطريقة أن بعض العاملين باليود المشع 131 يعملون في ظروف آمنة من وجهة نظر الوقاية الإشعاعية ولا حاجة لإجراء مراقبة روتينية دورية لهم، والبعض الآخر يتلقى اندخالا إشعاعياً سنوياً يتجاوز 10% من الحد السنوي للاندخال، وهذا يتطلب إجراء مراقبة روتينية دورية لهؤلاء العاملين بالإضافة إلى ضرورة وجود قواعد ونظم لتحقيق متطلبات الوقاية الإشعاعية أثناء التعامل مع اليود 131، ويجب أن توضح هذه القواعد المتطلبات الأساسية للوقاية الإشعاعية الواجب توفرها في المخابر التي تتعامل مع اليود 131 سواء للعلاج أو للتشخيص.

الكلمات المفتاحية: اليود 131، الاندخال الإشعاعي، الجرعة الإشعاعية.

● تقرير مختصر عن دراسة علمية مخبرية أُنجزت في قسم الوقاية والأمان - هيئة الطاقة الذرية السورية.

برنامج حاسوبي لإجراء عمليات الملائمة غير الخطية لمعطيات إحصائية باستخدام خوارزميات احتمالية عشوائية

د. محمد طلاس، هشام كرمه

قسم الخدمات العلمية - هيئة الطاقة الذرية - ص.ب. 6091 - دمشق - سورية.

ملخص

تم في هذا العمل إعداد برنامج حاسوبي إحصائي بلغة ++C المرئية، يقوم بعمليات الملائمة غير الخطية لمعطيات تجريبية أو مقيسة باستخدام طرق أمثلة مختلفة المناحي منها:

① طرق عشوائية (stochastic or random methods): إن هذه الطرق تعتمد على مفهوم العشوائية والاحتمالية من أجل إيجاد الحلول المثلى للنماذج الرياضية الواصفة للظاهرة المدروسة أو تسمى أيضاً بالطرق غير المحددة (indeterministic methods). من أهم هذه الطرق: The simulated annealing algorithm و The adaptive simulated annealing algorithm.

② طرق محددة (deterministic methods): حيث يوجد هناك نوعان من هذه الطرق. النوع الأول ويسمى بطرق البحث المباشر (direct search method)، ويعتمد هذا النوع من الطرق بشكل أساسي على قيم التابع المؤمئل (تابع الهدف) من أجل الوصول إلى الحلول المثلى للنماذج الرياضية المطلوبة، ومن هذه الطرق The Hooke and Jeeves algorithm. أما النوع الثاني ويسمى بطرق متجهة التدرج (gradient methods)، حيث إن هذا النوع من الطرق يعتمد بشكل مطلق وأساسي على مفهوم متجهة التدرج (متجهة المشتقات الأولى) من أجل الوصول إلى الحلول المثلى للنماذج الرياضية المطلوبة، ومن هذه الطرق: The steepest descent (ascent) algorithm و The Fletcher and Reeves algorithm. يوجد الكثير من الطرق الأخرى والتي تعتمد على مفاهيم أخرى كمصفوفة المشتقات الثانية (Hessian matrix) وغيرها لكن لم يتم التطرق إليها في هذا العمل.

الكلمات المفتاحية: خوارزميات عشوائية، خوارزميات البحث المباشر، خوارزميات متجهة التدرج.

● تقرير مختصر عن دراسة علمية حاسوبية أنجزت في قسم الخدمات العلمية - هيئة الطاقة الذرية السورية.

نمذجة المعالجة الأولية للمياه الداخلة إلى محطات التحلية

د. سهيل سليمان، فادي كروما

قسم الهندسة النووية - هيئة الطاقة الذرية - ص.ب. 6091 - دمشق - سورية.

ملخص

يتضمن هذا العمل دراسة لعدد من أنواع المشاكل التي تسببها الترسبات الناجمة عن المياه الداخلة إلى محطة التحلية على أجزاء وتجهيزات محطات التحلية، وكذلك يحتوي على دراسة طرق حل هذه المشاكل من خلال استخدام طرق كيميائية وميكانيكية لإزالة هذه الترسبات لمعالجة المياه الداخلة إلى محطة التحلية معالجة أولية وجعلها ذات مواصفات تحقق متطلبات محطات التحلية. إضافة إلى ذلك، تمّت برمجة طرق المعالجة هذه باستخدام لغة Visual Basic، وأعدت وأجهت من أجل تيسير استخدام برنامج المعالجة. كذلك تمّ استخدام البرنامج من أجل تصميم محطة معالجة أولية لمياه دير الحجر وأجريت بعض المقارنات.

الكلمات المفتاحية: المعالجة الأولية، التلكس، الترسب.

● تقرير مختصر عن دراسة علمية حاسوبية أنجزت في قسم الهندسة النووية - هيئة الطاقة الذرية السورية.

العوامل المؤثرة على العلاقة التي تربط النسبة $^{95}\text{Nb}/^{95}\text{Zr}$ والنسبة $^{140}\text{La}/^{95}\text{Zr}$ بزمن التبريد

د. خالد حداد

قسم الهندسة النووية - هيئة الطاقة الذرية - ص ب 6091 - دمشق - سورية.

ملخص

درست في هذا العمل العوامل المؤثرة على ارتباط النسبتين $^{95}\text{Nb}/^{95}\text{Zr}$ و $^{140}\text{La}/^{95}\text{Zr}$ مع زمن التبريد عن طريق تحليل نتائج مسح غاما لمجمعات وقود مفاعل البحث IRT. تبين أن النسبتين مستقرتان عملياً على طول مجمعة الوقود، وأن تطابق تاريخ التشعيع وشروطه خلال التشعيع الأخير هو شرط أساسي لارتباط نسبة ناتج الانشطار بزمن التبريد. كما تبين أن الخلفية تسبب خطأ متكرراً في حين تسبب حركة قضبان التحكم خطأ عشوائياً عالياً في القيمة المقاسة لزمن التبريد.

الكلمات المفتاحية: المسح غاما، $^{95}\text{Nb}/^{95}\text{Zr}$ ، $^{140}\text{La}/^{95}\text{Zr}$ زمن التبريد، تاريخ التشعيع.

● تقرير مختصر عن بحث علمي أنجز في قسم الهندسة النووية - هيئة الطاقة الذرية السورية.

دراسة التأثير التعاوني للمركبات الكحولية على استخلاص حمض الفسفور من حمض الفسفور السوري بواسطة الـ TBP

د. محمد خالد عبد الباقي، عمر شنو، عبد الرحمن وعود

مكتب التعدين المائي - هيئة الطاقة الذرية - ص.ب 6091 - دمشق - سورية.

ملخص

تدرس هذه الورقة التأثير التعاوني للمركبات الكحولية بدءاً من البناتول وحتى الهبتانول على استخلاص حمض الفسفور من حمض الفسفور السوري بواسطة الـ TBP، كما تدرس إمكانية استخدام هذه المركبات الكحولية كمحل بديلاً عن الكيروسين. تبين النتائج أن للمركبات الكحولية تأثيراً إيجابياً لرفع مردود استخلاص حمض الفسفور بواسطة الـ TBP وتسريع زمن فصل الأطوار مقارنة مع الكيروسين.

وُدرست تعرية المذيب بواسطة الماء المقطر ووجد أن هذه التعرية جيدة. وُدرست استخلاص اليورانيوم والمعادن الثقيلة من حمض الفسفور ووجد أن استخلاص اليورانيوم والمعادن الثقيلة يكاد يكون مهماً في حين أن استخلاص الفلور والكبريتات والزرنيخ صغير نسبياً مقارنة مع المذيب TBP/ker.

الكلمات المفتاحية: استخلاص، غول، حمض فسفور، ثلاثي بوتيل الفسفات.

● تقرير مختصر عن بحث علمي أنجز في مكتب التعدين المائي - هيئة الطاقة الذرية السورية.

تأثير معدلات مختلفة من السماد البوتاسي على كفاءة استخدام النتروجين وإنتاج محصول القطن باستخدام تقانة التخفيف النظيري بالنتروجين-15

د. خلف خليفة، محمد الشماع، فريد العين

قسم الزراعة - هيئة الطاقة الذرية - ص ب 6091 - دمشق - سورية.

ملخص

أجري هذا البحث بهدف معرفة وتحديد تأثير إضافة السماد البوتاسي على كفاءة استخدام النتروجين وإنتاج القطن. استخدم في تنفيذ هذه التجربة تصميم القطع المنشقة Split plot design باستخدام ثلاثة معدلات من النتروجين 120، 180، 240 كغ/هـ وأربع سويات من البوتاسيوم 0، 50، 100، 150 كغ K_2O /هـ وبأربعة مكررات. بينت النتائج: (1) ازداد إنتاج القطن المحبب بزيادة البوتاسيوم المضاف عند استخدام معدلي النتروجين (180 و 240 كغ/هـ). (2) زادت كفاءة استخدام النتروجين بازدياد إضافة البوتاسيوم بعمر 180 أيام. (3) بلغت أعلى كفاءة لاستخدام البوتاسيوم في كامل نبات القطن 42% وتناقصت هذه الكفاءة بزيادة البوتاسيوم المضاف وتزايدت بزيادة النتروجين المضاف. (4) بلغ أعلى إنتاج للقطن المحبب للمعاملة المشتركة N240 K50 (6442 كغ/هـ).

الكلمات المفتاحية: قطن، تسميد، إنتاج القطن، بوتاسيوم، نتروجين.

● تقرير مختصر عن تجربة استطلاعية حقلية أنجزت في قسم الزراعة - هيئة الطاقة الذرية السورية.

تعيين مستويات الفلوريد المنطلق من معمل السماد الفسفاتي في مكونات النظام البيئي

د. رفعت المرعي

قسم الكيمياء - هيئة الطاقة الذرية - ص.ب 6091 - دمشق - سورية.

د. محمد العودات

قسم الوقاية والأمان - هيئة الطاقة الذرية - ص.ب 6091 - دمشق - سورية.

ملخص

جرى تعيين تراكيز الفلور في مكونات النظام البيئي (التربة، والنباتات، والهواء، والمياه السطحية والجوفية)، في 16 موقعاً تحيط بمعمل السماد الفسفاتي، وعلى مسافات تراوحت بين 500 و 4000 م عن المعمل، وجرت القياسات في فترتين من العام، الفترة الرطبة (شهر آذار)، والفترة الجافة (شهر أيلول)، وذلك للوقوف على تأثير إطلاقات معمل السماد الفسفاتي من الفلور في مكونات النظام البيئي في المنطقة المحيطة بالمعمل. أوضحت النتائج أن إطلاقات معمل السماد الفسفاتي أدت إلى زيادة كبيرة في تراكيز الفلور وبخاصة في المواقع القريبة من المعمل، وتراوح تركيز الفلور في التربة، وللمواقع المدروسة كافة (في الفترة الرطبة)، بين 49 و 850 مغ/كغ وزن جاف، وتفق هذه التراكيز ما وجد في منطقة الشاهد (27 مغ/كغ وزن جاف)، بمعدل تراوح بين 1.8 و 15 مرة، كما كانت تراكيز الفلور مرتفعة أيضاً في النباتات (الزراعية والرعية والطبيعية)، وتراوحت في حبوب القمح بين 10 و 29 مغ/كغ (ووصلت في أحد المواقع المجاورة للمعمل إلى 65 مغ/كغ وبين 38 و 332 مغ/كغ في كامل السنابل، وبين 30 و 510 مغ/كغ في المجموع الخضري، وأكثر من ذلك في القش عند الحصاد، والأمر كان نفسه في النباتات الأخرى الزراعية والرعية والطبية، وتفق هذه التراكيز كثيراً الحدود المسموح بها (30 مغ/كغ وزن جاف)، وأوضحت الدراسة أن نحو 66% من محتوى النباتات من الفلور كان نتيجة لترسب

الغبار على سطح النباتات. بلغت تراكيز الفلور المرتبط مع العوالق الهوائية معدلات تراوحت بين 1.8 و 4.4 ميكروغرام/م³ في الفترة الرطبة، وبين 2.7 و 16.3 ميكروغرام/م³ في الفترة الجافة، والأمر نفسه كان بالنسبة للفلور الغازي الذي تراوحت تراكيزه في المنطقة إلى الشرق من المعمل بين 1.8 و 5.54 ميكروغرام/م³ في الفترة الرطبة وبين 1.66 و 6.89 ميكروغرام/م³ في الفترة الجافة، أما في المياه الجوفية والسطحية (النتيجة من تجمع الأمطار) فكان تركيز الفلور فيها ضمن الحدود المسموح بها، باستثناء منطقة بحيرة قطينة المجاورة للمعمل والتي تراوح تركيز الفلور في مياهها بين 1.6 و 3.3 مغ/لتر.

الكلمات المفتاحية: فلوريد، الإلكتروود الانتقائي الأيوني، النظام البيئي، تلوث.

● تقرير مختصر عن بحث علمي أنجز في قسم الوقاية والأمان - هيئة الطاقة الذرية السورية.

تأثير درجة الحرارة على مميزات كثافة التيار - الجهد في الخلايا الشمسية ZnO/CdS/CuGaSe₂ المبنية على أساس CuGaSe₂ وحيد البلورة

د. معين سعد، د. عمار قسيس

قسم الفيزياء - هيئة الطاقة الذرية - ص.ب 6091 - دمشق - سورية.

ملخص

جرى تحليل مميزات كثافة التيار- الجهد للخلايا الشمسية ZnO/CdS/CuGaSe₂ أحادية البلورة التي خضعت لمعالجة حرارية متكررة، تحت شدات إضاءة ودرجات حرارة مختلفة باستخدام معادلة الديودين. ونتج عن التحليل وجود آليتين متنافستين لنقل التيار: آلية إعادة اتحاد الشحنات على السطح البيئي وآلية إعادة اتحاد الشحنات على السطح البيئي المعززة بالعبور النفقي. حسبت طاقة تحفيز تيار الإشباع لكل من الآليتين وتبين أنها تتبع لدرجة الحرارة وشدة الإضاءة! فسر سلوك الوسائط الفوتوفولطية بالاعتماد على نتائج التحليل.

الكلمات المفتاحية: خلايا شمسية، CuGaSe₂، إعادة اتحاد الشحنات على السطح البيئي، العبور النفقي.

● تقرير مختصر عن بحث علمي أنجز في قسم الفيزياء - هيئة الطاقة الذرية السورية.

أسرار الكائن الحي - ضد الفكر الأوحدي في البيولوجيا

تأليف : ميشيك مورانج
عرض وتحليل : لوك مونتانييه

1

لماذا) يحدث السرطان، وجينة اللغة Fox P2 التي يفترض أنها مفتاح الأنسنة وكذلك "جينات الشيخوخة" vieillissement.

وأما التصور الثاني فهو المتعلق بالاصطفاء الدارويني الذي يستغله جيداً المختصون بعلم الوراثة لدى المجتمعات، ولا يستفيد منه البيولوجيون الجزئيون إلا قليلاً.

وأخيراً يتعلق التصور الثالث، بقوانين المادة التي يتكون منها الكائن الحي. فهذه القوانين هي أيضاً عامل اصطفاء يحد من "عبء الممكن". ولكن البيولوجيين لا يملكون سوى معرفة سطحية جداً بقوانين الفيزياء ولا يهتمون إلا قليلاً بكل ما هو "تحت الحزام" الجزئي. ويخلص المؤلف إلى أن حواراً جديداً يجب أن يجري بين المختصين في مختلف الفروع العلمية وعلى الأخص بين البيولوجيين والفيزيائيين كيما يسطع نور جديد. وهذا اقتراح منطقي جداً ولكنه في نهاية المطاف ليس جديداً، ونسألك هنا هل سيكفي ذلك لحل المسائل المعاصرة؟ ألا تلزم كذلك مقاربات جديدة يمكن اعتبارها ابتكارات كبيرة؟

لكن هناك شرحاً عميقاً يتعمق بين العلم والمجتمع، وهو مقلق جداً. ألم يرق عمدة مدينة كبيرة بإطلاق اسم "ساحة البروفسور تورنيسول (Dوار الشمس)" على إحدى ساحات المدينة؟ مع العلم بأن بطل القصص المصورة هذا يتمتع بشعبية لكونه شخصية تتفق مع الصورة التي لا تزال شائعة لدى الجمهور، صورة العالم الساذج الذاهل الذي تنتهي تجاربه بكارث، فيا لها من سخرية!. لكن المؤكد أنه ما يزال لدى البيولوجيين الكثير مما يجب عليهم عمله.

إلى أين تسير البيولوجيا؟ أو بالأحرى، إلى أين تسير البحوث في البيولوجيا؟ ذلك أنه على الرغم من التقدم المذهل الذي أحرز في السنوات الأخيرة التي تلت اكتشاف الكود الجيني وانتقاله وتطبيقاته الطبية والتقانية العديدة، لا تزال هناك أغاز ينبغي حلها: أصل الحياة والتشكل الجنيني وعمل الدماغ والتطور الذي أوصل إلى نشوء الإنسان وأمراض كثيرة لا بد من تفسيرها والتغلب عليها.

يظن البعض أن ما يسمى بالبيولوجيا الجزيئية هي المفتاح الذي يفتح كل هذه الأبواب. لكنها بالنسبة إلى آخرين، بلغت أقصى حدودها من حيث المفاهيم والتقنيات.

ينتمي ميشيل مورانج إلى هذه الفئة الأخيرة ويحمل كتابه نظرة علمية نقدية فيما يخص مجال العلم الذي كرس نفسه له. وتتمثل الفكرة الرئيسية في هذا المؤلف الموثق جيداً، في ضرورة استخدام ثلاثة تصورات للتفسير (حسب المفهوم الكائني للمصطلح) هذه المسائل المعقدة المتعلقة بالكائن يحتوي كل منها على جزء من الحقيقة على طريق مقارنة المسائل المعقدة للكائن الحي، بيد أن هذه التصورات لا بد أن تتعاقد فيما بينها للوصول إلى فهم أفضل للواقع.

أما التصور الأول فهو، بالطبع، المفهوم الميكانيكي الجزئي الذي يطور حالياً شبكات التأثير بين الجينات، أو على الأصح، بين منتجاتها من البروتينات. ففي هذا "العصر ما بعد الجينومي" يبرع المؤلف في بيان عدم كفاية هذه المقاربة بالعديد من الأمثلة التي منها الجينات الورمية oncogenes التي تصف كيف (ولكن ليس

مستقبل الكهرباء المولدة نووياً

النهضة النووية: تقانات وسياسات لصالح مستقبل توليد الكهرباء نووياً

تأليف : وليام نوتاك

عرض وتحليل : جيم سكيا

2

حول الانشطار النووي والاندماج النووي، يبدو أنهما يستهدفان قراء مختلفين كلياً. فهذان الجزآن على الخصوص سيفيدان الطلاب الذين لديهم بعض التدريب العلمي في فهم كيف تعمل أنواع معينة من التقانة النووية بتفصيل أكبر. فإذا كنت ترغب في معرفة الفرق بين مفاعل الشركة وستنغهاوس المتقدم السليبي Westinghouse Advanced Pressurised Reactor والمفاعل الأوربي ذي الماء المضغوط Water Reactor أو - تعرف مواصفات المفاعل الكندي CANADU أو مفاعل جنوب أفريقيا South African pebblebed modular reactor - فهذا شأنك. أما مؤلف الكتاب فإنه يبين الميزات والسلبيات في كل نوع من أنواع المفاعلات من حيث الأمان والاقتصاد والمرونة في التشغيل وأخطار الانتشار وغير ذلك.

يناقش المؤلف كذلك ما يسمى بتقانات الجيل الرابع (IV) - وهي تصاميم مفاعلات متقدمة يعتقد المؤلف أنها سوف تدخل حيز التطبيق بدءاً من العام 2030، والتسمية مأخوذة من مبادرة دولية تقودها الولايات المتحدة لتطوير خرائط طريق واستراتيجيات للتطور التقني الطويل الأمد لتوليد الكهرباء نووياً. ويشرح نوتاك الخطوط العريضة لهذه المبادرة ويفحص باختصار تصاميم المفاعلات المتقدمة بما في ذلك تلك التي يمكن أن تستخدم لإنتاج الهيدروجين وليس الكهرباء.

ومع أن محطات توليد الكهرباء التجارية العاملة بالاندماج النووي لا تزال بالتأكيد بعيدة المنال، فإن الجزء الختامي من الكتاب يغطي العلم المتعلق بهذا الشكل من أشكال الطاقة؛ فهو يصف كيف ستستخدم مفاعلات مثل ITER الحقول المغنطيسية لاستغلال الاندماج وكيف ستستخدم منشأة الإشعاع الوطنية National

حين أعلن في حزيران الماضي أن فرنسا تغلبت على اليابان في السباق لاستضافة مخبر الاندماج الدولي الكبير، تصدر النبا الصحف في أنحاء العالم. فقد ذكرت وسائل الإعلام بلهجة إيجابية كيف أن المفاعل التجريبي النووي الحراري (ITER) الذي سيكلف 10 مليارات يورو، سيكون الخطوة التالية في الطريق نحو مفاعل اندماج نووي قابل للتطبيق تجارياً (مجلة Physics World، شهر آب، الصفحة 5). وكانت التغطية إشارة واضحة إلى الجدل المتنامي الذي يكتنف مستقبل توليد الكهرباء نووياً.

ويُعدُّ كتاب "النهضة النووية Nuclear Renaissance" مساهمة مرحباً بها في هذا الجدل. فهو يعلن نفسه "كنظرة شاملة نصف تقنية حول التقانات المعاصرة"، الأمر الذي ربما يكون أقل من المستوى الذي حققه المؤلف. فهو يراجع التقانات النووية الماضية والحاضرة والمنتظرة ويربطها ربطاً واضحاً بمسائل أوسع تتعلق بسياسة الطاقة وتغير المناخ وإمدادات الطاقة.

وعلاوة على كون الكتاب "نصف تقني" فهو أيضاً "نصف بريطاني". ومع أن تلك الأقسام المتعلقة بالتقانة وسعياً عالمياً، فإن الجزء الأول المطول، المكرس "للمشهد السياسي"، هو حتماً بريطاني في منظوره. إنه يقدم وصفاً أساسياً لتوليد الطاقة نووياً واقتصاد التوليد النووي وكيف يمكن للطاقة النووية أن تتغلب على تغير المناخ. ويناقش كذلك مساهمة توليد الكهرباء نووياً في إمداد الطاقة المتوازن وعلاقتها بانتشار الأسلحة. وينتهي هذا الجزء الافتتاحي بفصل حول إدارة النفايات.

وفي حين يمكن أن يكون الجزء الأول من الكتاب مقدمة مستقلة حول توليد الكهرباء نووياً للقارئ العادي فإن الجزأين الثاني والثالث،

معظم نقاش السياسات.

هل بقي شيء في الكتاب أريد تناوله؟ ثمة مخاتلة تتمثل في أنه بتقسيم المادة إلى ثلاثة أجزاء منفصلة تقريباً، دون أي ربط جوهري، يكون الكتاب أقل تكاملاً مما يمكن أن يكون عليه. وكان بودي كذلك لو كان فيه ملخص بسيط و/أو مخطط يوطر السلالات الأساسية للتقانة النووية. وكما يتبين فإن القسم المتعلق بالانشطار يفوص مباشرة في وصف أنماط مخصصة من المفاعلات، ولهذا فإنك إن لم تكن تفرّق المفاعلات PWR وBWR عن المفاعلات LWR وHTGR فلن يكون تصفح أجزاء متفرقة من الكتاب أمراً سهلاً. وقد وددت كذلك وجود بعض الإحصائيات الأساسية حول انتشار الأنماط المختلفة من المحطات النووية في العالم.

وبالإجمال فإن كتاب "النهضة النووية" مفيد ويفيد القارئ في إحاطة سريعة بالتقانة النووية. ومع أن الجزأين الأكثر تقنية يناسبان أولئك الذين لديهم بعض التدريب العلمي فإن الجزء الأول ينبغي أن يكون في متناول شريحة واسعة من القراء.

Ignition Facility في الولايات المتحدة اللباز المهمة بدلاً من ذلك. ومع أن الحكمة التقليدية تقول إن توليد الكهرباء بالاندماج بعيد عنا بمقدار 50 عاماً، وكان دائماً يبعد عنا 50 عاماً ونسبياً يبعد 50 عاماً، فإن نوتال يصف "طريقاً سريعاً" يمكن أن تجعل الاندماج قابلاً للتطبيق في غضون 30 عاماً. وهو يعتقد أن أتباع مثل هذا الطريق يمثل إلزاماً سياسياً.

وباعتبار أن للكتاب صبغة سياسية واضحة فأين يقف المؤلف من الكهرباء النووية؟ الانطباع هو أنه مؤيد لهذا الشكل من الطاقة الذي يجهد في كل الأوقات لأن يبقى غير متحيز. وينتهي نوتال، في خاتمة مستغربة، إلى أن الكهرباء النووية "تقانة مفيدة لكنها ليست أساسية". ويناقد بشيء من الإطالة، الافتراض القائل أن الكهرباء النووية كانت، فيما مضى، سبباً للمشاكل المعقدة بالنسبة للإنسانية، وذلك قبل أن يختتم في النهاية بقوله إنه ربما يبدو أن من الحكمة بالنسبة إلى العالم المتطور أن يحافظ على صناعة كهرباء نووية مدنية في مقياسها الحالي على الأقل" ويعكس هذا الموقف المتحفظ طابع

ABSTRACT

Fluoride (F⁻) concentrations in echo system components (soil, plants, air and ground and surface water) have been measured in 16 locations surrounding a phosphate fertilizers plant at distances ranging between 500 and 4000 meters from the plant. Measurements were done in two periods: the wet period (in March) and the dry period (in September) in order to detect the effects of fluoride emission from the plant into the echo system in the surrounding area. Results revealed that the gases emitted from the factory have lead to a huge increase in fluoride concentration in the nearby area. The concentrations in soil in all studied locations during the wet period ranged between 49 and 850mg/kg of dry weight. These concentrations exceed the blank area (27 mg/kg) by 1.8 to 15 times.

Fluoride concentrations were also high in plants (agricultural, forage and wild), reaching 10-29/mg/kg in wheat (in one nearby location, it reached 65mg/kg in wheat grains and between 38 and 332 in spike and between 30 & 510 in the green part of the wheat plant). This percentage is even higher in the hay at harvest time. This equally applied to the other agricultural forage and medicinal plants. These concentration levels exceed the allowed limits by 3mg/kg of dry weight.

The study has also revealed that 66% of the plants content of fluoride is a result of dust precipitation on the surface of the plant. Fluoride concentrations bound with air particulates in percentages ranging between 1.8 and 4.4 µg/m³ in the wet period and 2.7µg -16.3 µg in the dry period. The same applies to gas fluoride concentrations in the area east to the plant (1.8 & 5.54µg/m³ in the wet period and 1.66-6.89µg/m³ in the dry period). While fluoride concentrations in the ground and surface water, resulting from rain accumulation, were found to be within the acceptable limits except for the Qatineh Lake area near the plant, in which fluoride concentrations in water reached 1.6 to 3.3mg/ L.

Key Words

Fluoride, ion selective electrode, echo system, contamination.

* A short report on a scientific research achieved in the *Department of Safety and Protection*, Atomic Energy Commission of Syria.

EFFECT OF TEMPERATURE ON CURRENT VOLTAGE CHARACTERISTICS IN ZnO/CdS/CuGaSe₂ SINGLE CRYSTAL SOLAR CELLS

M. SAAD, A. KASSIS

Department of Physics, Atomic Energy Commission, P. O. Box 6091, Damascus, Syria

ABSTRACT

j-V curves of ZnO/CdS/CuGaSe₂ single crystal solar cells, repetitively annealed and measured at different values of temperature and illumination, were analyzed using the two-diode equation. Two competing transport mechanisms were found: interface recombination and tunneling enhanced interface recombination. Activation energy of both mechanisms was calculated and found dependent on temperature and illumination! The behavior of the photovoltaic parameters could be explained.

Key Words

Solar cells, CuGaSe₂, interface recombination, tunneling

* A short report on a scientific study achieved in the *Department of Physics*, Atomic Energy Commission of Syria.

ABSTRACT

This paper studies the synergistic effect of alcoholic compound such as isoamil alcohol, pentanol, hexanol and heptanol on the Extraction of H_3PO_4 from syrian phosphoric acid by (TBP). The possibility to use these alcoholic compounds as a diluent instead of kerosene was also studied. The result showed that the alcoholic compounds have bigger Extraction yield than (TBP) diluted in kerosene. The alcoholic compounds have an important synergistic effect, when they are used as diluents instead of kerosene on the extraction of H_3PO_4 by (TBP) and they have a bigger extraction yield and the quicker phase separation coming with kerosene. Extraction of uranium, fluoridum sulfate and heavy metals are relatively small.

Key Words

Extraction, alcohol, phosphoric acid, tributylphosphate.

* A short report on a laboratory scientific study achieved in the *Hydrometallurgy Office*, Atomic Energy Commission of Syria.

EFFECT OF DIFFERENT RATES OF POTASSIUM FERTILIZER ON NITROGEN USE EFFICIENCY AND COTTON YIELD USING AN ^{15}N ISOTOPIC DILUTION TECHNIQUE*

KH. KHALIFA, M. AL- CHAMMA'A, F. AL-AIN

Department of Agriculture, Atomic Energy Commission, P.O. Box 6091, Damascus, Syria

ABSTRACT

A field study was conducted to evaluate the effect of K fertilizer on nitrogen use efficiency and cotton yield. The experimental design was a split-plot randomized complete block with four replications, the main plots representing N rates (120, 180, 240 kg N/ha) and the sub-plots representing K rates (0, 50, 100, 150 kg K_2O /ha). The results showed that seed cotton yield increased with increasing K levels applied under each rate of N (except N120). The highest seed cotton yield was obtained with the combined treatment N240K50 (6442 kg/ha). This treatment gave also the optimum potassium use efficiency (42%). The potassium use efficiency decreased and the nitrogen use efficiency (at 180 days of harvest) increased with the increasing rate of K applied.

Key Words

Cotton, fertilization, cotton yield, K, N.

* A short report on an exploratory field experiment achieved in the *Department of Agriculture*, Atomic Energy Commission of Syria.

MEASURING FLUORIDE LEVEL EMITTED FROM PHOSPHATE FERTILIZER PLANT IN ENVIRONMENTAL COMPONENTS*

R. AL-MEREY

Department of Chemistry, Atomic Energy Commission, P. O. Box 6091, Damascus, Syria

M. AL-ODAT

Department of safety and protection, Atomic Energy Commission, P. O. Box 6091, Damascus, Syria

Key Words

Stochastic algorithm, direct search methods, gradient methods, steepest descent algorithm.

* A short report on an scientific computer study achieved in the *Department of Scientific Services*, Atomic Energy Commission of Syria.

MODELING OF FEED WATER PRETREATMENT IN DESALINATION PLANTS★

S. SULEIMAN, F. KROMA

Department of Nuclear Engineering, Atomic Energy Commission, P. O. Box 6091, Damascus, Syria

ABSTRACT

Many kinds of problems of the precipitation and scaling “as result of feed water quality” which cause harm to the desalination plant and its components were studied. In addition, the treatment of the feed water was studied using chemical and mechanical way in order to avoid these problems and make the feed water suitable to enter the desalination plants. Computer software on some types of feed water were performed.

Key Words

Pretreatment, scaling, precipitation.

* A short report on a scientific computer study achieved in the *Department of Nuclear Engineering*, Atomic Energy Commission of Syria.

THE FACTORS AFFECTING THE $^{95}\text{Nb}/^{95}\text{Zr}$ AND $^{140}\text{La}/^{95}\text{Zr}$ COOLING TIME CORRELATIONS★

KH. HADDAD

Department of Nuclear Engineering, Atomic Energy Commission, P. O. Box 6091, Damascus, Syria

ABSTRACT

The factors affecting the $^{95}\text{Nb}/^{95}\text{Zr}$ and $^{140}\text{La}/^{95}\text{Zr}$ – cooling time correlations were studied by analysing the gamma scanning IRT fuel assemblies. The results showed that these ratios are stable along the fuel assembly, the identical conditions during the last irradiation is inevitable for fission product ratio-cooling time correlation. The background cause systematic error, whereas control rods cause arbitrary error in the measured values.

Key Words

Gamma scanning, $^{95}\text{Nb}/^{95}\text{Zr}$, $^{140}\text{La}/^{95}\text{Zr}$, cooling time, irradiation history.

* A short report on a scientific research achieved in the *Department of Nuclear Engineering*, Atomic Energy Commission of Syria.

INVESTIGATION OF THE SYNERGISTIC EFFECT OF ALCOHOLIC COMPOUNDS ON THE EXTRACTION OF H_3PO_4 FROM SYRIAN WET PHOSPHORIC ACID BY TBP★

M. K. ABDULBAKE, O. SHINOM A. WAHOUD

Hydrometallurgy Office, Atomic Energy Commission, P. O. Box 6091, Damascus, Syria

REPORTS

DETERMINATION OF INTAKE AND INTERNAL RADIATION DOSE FOR OCCUPATIONALLY EXPOSED WORKERS TO IODINE-131[★]

M.H. KHARITA, M. MAGHRABI, A. SADIYYA

Department of Protection and Safety, Atomic Energy Commission, P. O. Box 6091, Damascus, Syria

ABSTRACT

Workers who prepare and inject radioactive Iodine I¹³¹ doses at the medical centers in Syria are potentially exposed to the radioactive intake by ingestion or inhalation during preparation or injection processes. The received amount of the radioactive intake differs according to:

First: the amount of the I¹³¹ released during the preparation or injection processes.

Second: the work conditions and the applying ways of the radiation protection principles. Because of this radioactive intake the thyroid gland may expose to amounts of I¹³¹ which may negatively affect the health of the workers, so it's necessary to make routine monitoring for all workers who receive an intake of more than 10% of the annual intake limit which is (2×10^6 Bq) for I¹³¹. To make this monitoring process it is necessary to use either the thyroid gland counter in order to know the concentrated amount of the radioactivity in the gland, or the analysis of a 24 hours urine sample of the exposed workers to determine the eliminated amount of the radioactivity using gama spectrometry. Also the two processes can be applied at the same time. Since the thyroid gland counter is not available, the analysis of urine sample was done to determine the concentrated amount of the radioactivity in urine then to estimate the radioactive intake and the internal radiation dose. The results of applying this method dictated that some workers work in safe conditions according to the radiation protection and there is no need for them to make routine monitoring. But the other workers receive a radioactive intake about 10% yearly of the annual intake limit and that requires a routine periodical monitoring for those workers in addition to the necessity of applying the principles of the radiation protection during the work with I¹³¹. These principles and systems should indicate the basic requirement of the radiation protection that must be available in the laboratories that deal with I¹³¹ either for therapy or for diagnosis.

Key Words

Iodine-131, radioactive intake, radioactive dose.

[★] A short report on a scientific study achieved in the *Department of Protection and Safety, Atomic Energy Commission of Syria.*

A FITTING STATISTICAL COMPUTER PROGRAM FOR NONLINEAR CURVES USING STOCHASTIC ALGORITHMS[★]

M. TLAS, H. KARMEH

Department of Scientific Services, Atomic Energy Commission, P.O. Box 6091, Damascus, Syria

ABSTRACT

A computer program has been developed for nonlinear curves fitting using mathematical algorithms for solving constrained or unconstrained nonlinear optimization models in order to evaluate the concerning and the desired parameters. Two kinds of mathematical algorithms have been used in this work: the first kind is random and stochastic mathematical methods (indeterministic methods) as the classical simulated annealing and the adaptive simulated annealing. The second kind of algorithms is the direct search methods (deterministic methods) as the Hooke and Jeeves algorithm and the Fletcher and Reeves algorithm.

PAPERS

EVALUATION OF BARLEY DOUBLED HAPLOID AND MUTANT LINES FOR AGRONOMIC TRAITS AND SCALD RESISTANCE*

M. I. E. ARABI, M. JAWHAR

*Department of molecular biology and biotechnology, Atomic Energy Commission, P. O. Box 6091, Damascus, Syria***ABSTRACT**

Barley (*Hordeum Vulgare* L.) is a major field crop grown worldwide. Field research was undertaken at ICARDA's (International Center for Agriculture Research in Dry Area) main station in Northwest Syria to evaluate barley doubled haploid (DH) and mutants lines for agronomic traits (grain yield, plant height and days to heading) and resistance to scald (*Rhynchosporium secalis*) under natural infection conditions for two consecutive years. Significant differences were found among lines in the percentage of infected leaf area. However, they exhibited a continuous range of response from very susceptible to resistant. Seven lines had significantly lower percentage of infected leaf area with disease than did the other lines, which are associated with potential for grain yield and earliness. These lines could be considered as possible donors in further barley breeding programs.

Key Words*Hordeum vulgare* L, *Rhynchosporium secalis*, doubled haploids, mutants, resistance.* This paper appeared in *Cereal Research Communications Proofs* XXX, (2005).**PRODUCTION OF HYDROGEL WOUND DRESSINGS USING GAMMA RADIATION***Z. AJJI¹, I. OTHMAN¹, J. M. ROSIAK²¹*Department of Radiation Technology, Atomic Energy Commission, P. O. Box 6091, Damascus, Syria.*²*Institute of Applied Radiation Chemistry, Wroblewskiego Str. 15, 93-590, Lodz, Poland***ABSTRACT**

Hydrogel wound dressings have been prepared using the gamma rays irradiation technique. The dressings are composed of poly (vinyl pyrrolidone) (PVP), poly (ethylene glycol) (PEG), and agar. The influence of some process parameters on the properties of the dressings has been investigated as: the gel fraction, maximum swelling, swelling kinetics, and mechanical properties. The gel fraction increases with increasing PVP concentration due to increased crosslink density, and decreases with increasing the PEG concentration. PEG seems to act not only as plasticizer but also to modify the gel properties as gelation% and maximum swelling. The prepared hydrogels dressings could be considered as a good barrier against microbes.

Key Words

Hydrogel, radiation, poly (vinyl pyrrolidone), poly (ethylene glycol), agar.

* This paper appeared in *Nuclear Instruments and Methods in Physics Research B* 229, (2005).

STRANGE EVENTS IN THE PROTON★

K. KUMAR

Member of the HAPPEX collaboration, based at the University of Massachusetts, Amherst, US.

ABSTRACT

Precision measurements of the weak force suggest that strange quarks have an influence on the magnetic moment of the proton.

Key Words

Electroweak, strange quark, spin.

★ This article appeared in *Physics World*, September 2005. It is translated into Arabic at the Atomic Energy Commission of Syria.

WILLIAM ROWAN HAMILTON: MATHEMATICAL GENIUS★

D. R. WILKINS

Lecturer in mathematics at Trinity College, Dublin, Ireland

ABSTRACT

This year Ireland celebrates the bicentenary of the mathematician William Rowan Hamilton, best remembered for “quaternions” and for his pioneering work on optics and dynamics.

★ This article appeared in *Physics World*, August 2005. It is translated into Arabic at the Atomic Energy Commission of Syria.

BIOGEOCHEMICAL CYCLING OF IRON ISOTOPES★

C. M. JOHNSON, B. L. BEARD

Department of Geology and Geophysics, University of Wisconsin-Madison, USA.

ABSTRACT

This article is dealing with exploration of the environments and processes involved in redox cycling of iron isotope geometry. This new field of geochemistry is developing rapidly. It seems likely that debate and discussion will continue, reflecting the importance of the issues that are being addressed, such as the origin and evolution of life and changes in the habitable zone on Earth over the past 4 billion years.

Key Words

Biochemical recycling, geochemistry, iron, redox, transition elements, weathering, hydrothermally fluids.

★ This article appeared in *Science*, August 2005. It is translated into Arabic at the Atomic Energy Commission of Syria.

ARTICLES

ABANDONING THE IDEAS OF LENGTH CONTRACTION AND TIME DILATION★

N. HAMDAN

Department of Physics, University of Aleppo, P. O. Box 8101, Aleppo, Syria

ABSTRACT

This paper demonstrates that including the 3-vector Lorentz force law within the framework of Special Relativity Theory allows derivation of the fundamental relativistic equations pertaining to a charged particle without using Lorentz transformation, and hence without using its kinematic effects; i.e. length contraction and time dilation. Besides that, the invariance of light speed can be interpreted in a way that does not depend on the properties of space-time.

Key Words

Lorentz, force law, special relativity, length contraction, time dilation.

★ This article appeared in *Galilean Electrodynamics*, September/October 2003. It is translated into Arabic by N. Hamdan.

THE ROAD TO MINIATURIZATION★

H. IWAI, H. WONG

ABSTRACT

Silicon microelectronics has revolutionized the way we live, but how long can the relentless downsizing of devices continue? **Hei Wong** and **Hiroshi Iwai** describe the challenges facing the semiconductor industry today.

Key Words

Moore's law, miniaturization, MOS transistor, integrated circuit, microelectronics.

★ This article appeared in *Physics World*, September 2005. It is translated into Arabic at the Atomic Energy Commission of Syria.

METROLOGY AT THE NANO SCALE★

B. SHERIDAN, P. CUMPSON, M. BAILEY

ABSTRACT

Progress in nanotechnology relies on ever more accurate measurements of quantities such as distance, force and current.

Key Words

Nanometrology, metrological biology, atomic force microscope (AFM), microelectromechanical systems, nanotechnology.

★ This article appeared in *Physics World*, August 2005. It is translated into Arabic at the Atomic Energy Commission of Syria.



30



35



35

42 ■ BEYOND NUCLEAR WEAPONS

43 ■ EMBRYO-FREE TECHNIQUES GAIN MOMENTUM

Ethical concerns about research involving embryos have been driving the search for other ways to derive stem cells, and results may soon be on the horizon.

45 ■ HYDROGEN RESULTS CAUSE CONTROVERSY

46 ■ EUROPE PLANS LASER-FUSION FACILITY

48 ■ THE QUANTUM PHILOSOPHER

49 ■ CHLORINE

64 ■ MODELING OF FEED WATER PRETREATMENT IN DESALINATION PLANTS

65 ■ THE FACTORS AFFECTING THE $^{95}\text{Nb}/^{95}\text{Zr}$ AND $^{140}\text{La}/^{95}\text{Zr}$ - COOLING TIME CORRELATIONS

65 ■ INVESTIGATION OF THE SYNERGISTIC EFFECT OF ALCOHOLIC COMPOUNDS ON THE EXTRACTION OF H_2PO_4 FROM SYRIAN WET PHOSPHORIC ACID BY TBP

66 ■ EFFECT OF DIFFERENT RATES OF POTASSIUM FERTILIZER ON NITROGEN USE EFFICIENCY AND COTTON YIELD USING AN ^{15}N ISOTOPIC DILUTION TECHNIQUE

66 ■ MEASURING FLUORIDE LEVEL EMITTED FROM PHOSPHATE FERTILIZER PLANT IN ENVIRONMENTAL COMPONENTS

67 ■ EFFECT OF TEMPERATURE ON CURRENT VOLTAGE CHARACTERISTICS IN $\text{ZnO}/\text{CdS}/\text{CuGaSe}_2$ SINGLE CRYSTAL SOLAR CELLS

PAPERS

53 ■ EVALUATION OF BARLEY DOUBLED HAPLID AND MUTANT LINES FOR AGRONOMIC TRAITS AND SCALD RESISTANCE

58 ■ PRODUCTION OF HYDROGEL WOUND DRESSINGS USING GAMMA RADIATION

REPORTS

63 ■ DETERMINATION OF INTAKE AND INTERNAL RADIATION DOSE FOR OCCUPATIONALLY EXPOSED WORKERS TO IODINE-131

64 ■ A FITTING STATISTICAL COMPUTER PROGRAM FOR NONLINEAR CURVES USING STOCHASTIC ALGORITHMS

NEW BOOKS

68 ■ LES SECRETS DU VIVANT - CONTRE LA PENSÉE UNIQUE EN BIOLOGIE

BY: M. MORANGE

OVERVIEW & ANALYSIS: L. MONTAGNIER

69 ■ THE FUTURE OF NUCLEAR POWER

BY: W. J. NUTTALL

OVERVIEW & ANALYSIS: J. SKEA

77 ■ ABSTRACTS OF THE ITEMS PUBLISHED IN THIS ISSUE IN ENGLISH

CONTENTS



11



17



20



25

ARTICLES

5 ABANDONING THE IDEAS OF LENGTH CONTRACTION AND TIME DILATION

The invariance of light speed can be interpreted in a way that does not depend on the properties of space-time.

N. HAMDAN

11 THE ROAD TO MINIATURIZATION

Describe the challenges facing the semiconductor industry today.

H. IWAI, H. WONG

17 METROLOGY AT THE NANO SCALE

Progress in nanotechnology relies on ever more accurate measurements of quantities such as distance, force and current.

B. SHERIDAN, P. CUMPSON, M. BAILEY

22 STRANGE EVENTS IN THE PROTON

Precision measurements of the weak force suggest that strange quarks have an influence on the magnetic moment of the proton.

K. KUMAR

25 WILLIAM ROWAN HAMILTON: MATHEMATICAL GENIUS

This year Ireland celebrates the bicentenary of

the mathematician William Rowan Hamilton, best remembered for "quaternions" and for his pioneering work on optics and dynamics.

D. R. WILKINS

30 BIOGEOCHEMICAL CYCLING OF IRON ISOTOPES

This article is dealing with exploration of the environments and processes involved in redox cycling of iron isotope geometry.

K. M. GOHNSON, B. L. BEARD

NEWS

35 ■ AVIAN INFLUENZA

Potentially more lethal variant hits migratory birds in China.

36 ■ HOW DOES A REWRITABLE CD WORK?

Simple compact disc, on which music or data are recorded, does not permit to be deleted or rewritten again like a magnetic tape. The process of writing on a CD should have been radically modified in order to make CD-ROM and CD-RW.

39 ■ US SET TO ENDORSE HUMAN PESTICIDE TESTING

41 ■ RADIATION DANGEROUS EVEN AT LOWEST DOSES

AALAM AL-THARRA

JOURNAL OF THE ATOMIC ENERGY COMMISSION OF SYRIA



A journal published in Arabic six times a year,
by the Atomic Energy Commission of Syria.
It aims to disseminate Knowledge of nuclear and
atomic sciences and of the different applications
of Atomic energy.

Managing Editor

Dr. Ibrahim Othman

Director General of A.E.C.S

Editorial Board

Dr. Adel Harfoush

Dr. Ziad Qutob



NO.101

Numeral 101 (January/February) 2006